

Μέθοδοι Πεπερασμένων  
Στοιχείων για την Κυματική  
Εξίσωση σε δύο χωρικές  
διαστάσεις



Δασκαλάκης Εμμανουήλ  
Τμήμα Μαθηματικών  
Πανεπιστήμιο Αθηνών

Διπλωματική Εργασία Ειδίκευσης στα  
*Εφαρμοσμένα Μαθηματικά*  
Αθήνα, Σεπτέμβριος 2012

---

---

Τριμελής Επιτροπή:

1. Δουγαλής Βασίλειος

2. Δρακόπουλος Μιχάλης

3. Νοτάρης Σωτήριος

Ημερομηνία Παρουσίασης:

Τριμελής Επιτροπή:

## Περίληψη

Στην εργασία αυτή μελετάμε μεθόδους Πεπερασμένων Στοιχείων για την Κυματική Εξίσωση σε δύο χωρικές μεταβλητές. Παρουσιάζουμε αποτελέσματα για την τάξη ακρίβειας σε διάφορα προβλήματα αρχικών/συνοριακών τιμών με την χρήση τριγωνικών και διγραμικών πεπερασμένων στοιχείων.

## Abstract

In the present work we are studying Finite Element Methods for the two dimensional Wave Equation. We are presenting results about the order of accuracy for a number of initial/boundary value problems using triangular and bilinear (or quadrangular) finite elements spaces.

Στην οικογένειά μου και σε ΌΛΑ τα ανίψια μου.

”As far as the laws of mathematics refer to reality, they are not certain;  
and as far as they are certain, they do not refer to reality.”

*Albert Einstein, "Geometry and Experience", January 27, 1921*

## Ευχαριστίες

Για την ολοκλήρωση αυτής της διπλωματικής εργασίας θα ήθελα να ευχαριστήσω βαθύτατα τον επιβλέποντα Καθηγητή κ. Βασίλειο Δουγαλή για την βοήθεια και καθοδήγησή του σε κάθε στάδιο μέχρι την ολοκλήρωση της εργασίας αλλά και για την συμβολή του ώστε να γίνω πιο ώριμος ως Μαθηματικός και ως Άνθρωπος. Επίσης θα ήθελα να ευχαριστήσω

- Τους κυρίους Δρακόπουλο Μιχάλη και Νοτάρη Σωτήριο για την τιμή που μου κάνουν με την συμμετοχή τους στην τριμελή εξεταστική επιτροπή αλλά και για την συνεργασία που είχαμε κατά την διάρκεια του Ακαδημαϊκού έτους 2011-2012.
- Τον Κουνάδη Γρηγόριο για την πολύτιμη βοήθειά του.
- Τους συναδέλφους συμφοιτητές μου για την συμπαράσταση τους τα δύο τελευταία χρόνια.

Θα ήθελα βεβαίως να ευχαριστήσω όλους τους Καθηγητές μου στο Τμήμα Εφαρμοσμένων Μαθηματικών του Πανεπιστημίου Κρήτης και του Τμήματος Μαθηματικών του Πανεπιστημίου Αθηνών για τις γνώσεις που μου προσέφεραν σε όλα τα χρόνια των σπουδών μου.

Ιδιαίτερα θα ήθελα να ευχαριστήσω τους κυρίους Ζουράρη Γεώργιο, Λουλάκη Μιχάλη, Μητσούδη Δημήτριο και Σμυρνελή Μανώλη για τις συμβουλές τους και την ενθάρρυνση τους.

---



# Περιεχόμενα

|          |  |          |
|----------|--|----------|
| <b>1</b> | <b>Εισαγωγή</b>  | <b>1</b> |
| <b>2</b> | <b>Η κυματική εξίσωση 2ης τάξης</b>  | <b>3</b> |
| 2.1      | Προβλήματα αρχικών-συνοριακών τιμών . . . . .                                      | 3        |
| 2.1.1    | Το χωρίο $\Omega$ . . . . .  | 3        |
| 2.1.2    | Τέσσερα πρόβληματα αρχικών/συνοριακών τιμών . . . . .                              | 4        |
| 2.1.2.1  | Πρόβλημα αρχικών/συνοριακών τιμών με ομογενείς σ.σ. Dirichlet . . . . .            | 4        |
| 2.1.2.2  | Πρόβλημα αρχικών/συνοριακών τιμών με ομογενείς σ.σ. Neumann . . . . .              | 5        |
| 2.1.2.3  | Πρόβλημα αρχικών/συνοριακών τιμών με μικτές συνοριακές συνθήκες . . . . .          | 5        |
| 2.1.2.4  | Πρόβλημα αρχικών/συνοριακών τιμών με περιοδικές συνοριακές συνθήκες . . . . .      | 6        |
| 2.2      | Η μέθοδος Πεπερασμένων Στοιχείων για προβλήματα αρχικών/συνοριακών τιμών . . . . . | 7        |
| 2.2.1    | Πρόβλημα με ομογενείς σ.σ. Dirichlet . . . . .                                     | 8        |
| 2.2.2    | Πρόβλημα με ομογενείς σ.σ. Neumann . . . . .                                       | 9        |
| 2.2.3    | Πρόβλημα με μικτές συνοριακές συνθήκες . . . . .                                   | 9        |
| 2.2.4    | Πρόβλημα με περιοδικές συνοριακές συνθήκες . . . . .                               | 10       |
| 2.3      | Εκτιμήσεις σφάλματος για το πρόβλημα με ομογενείς σ.σ. Neumann . . . . .           | 11       |
| 2.3.1    | Ελλειπτική προβολή και προσεγγιστικές ιδιότητές του $S_h$ . . . . .                | 13       |
| 2.3.2    | Εκτίμηση σφάλματος . . . . .   | 14       |
| 2.4      | Ένα πλήρως διακριτό σχήμα. Υλοποίηση και αριθμητικά πειράματα . . . . .            | 17       |
| 2.4.1    | Διακριτοποίηση ως προς τον χρόνο . . . . .   | 17       |
| 2.4.2    | Διγραμμικά Πεπερασμένα Στοιχεία . . . . .  | 19       |
| 2.4.3    | Τριγωνικά Πεπερασμένα Στοιχεία . . . . .   | 20       |

## ΠΕΡΙΕΧΟΜΕΝΑ

---

|          |   |           |
|----------|---|-----------|
| 2.4.4    | Αριθμητικά Παραδείγματα . . . . .   | 21        |
| 2.5      | Τάξη σύγκλισης . . . . .  | 30        |
| 2.5.1    | Τάξη σύγκλισης με διγραμμικά πεπερασμένα στοιχεία. . . . .                        | 30        |
| 2.5.1.1  | Πρόβλημα με ομογενείς σ.σ.Dirichlet . . . . .                                     | 31        |
| 2.5.1.2  | Πρόβλημα με ομογενείς σ.σ.Neumann . . . . .                                       | 32        |
| 2.5.1.3  | Πρόβλημα με μικτές συνοριακές συνθήκες . . . . .                                  | 33        |
| 2.5.1.4  | Πρόβλημα με περιοδικές συνοριακές συνθήκες . . . . .                              | 38        |
| 2.5.2    | Τάξη σύγκλισης με τριγωνικά πεπερασμένα στοιχεία. . . . .                         | 39        |
| 2.5.2.1  | Πρόβλημα με ομογενείς σ.σ.Dirichlet . . . . .                                     | 40        |
| 2.5.2.2  | Πρόβλημα με ομογενείς σ.σ.Neumann . . . . .                                       | 41        |
| 2.5.2.3  | Πρόβλημα με μικτές συνοριακές συνθήκες . . . . .                                  | 42        |
| <b>3</b> | <b>Η κυματική εξίσωση ως υπερβολικό σύστημα 1ης τάξης</b>                         | <b>43</b> |
| 3.1      | Το πρόβλημα . . . . .   | 43        |
| 3.1.1    | Αρχικές και συνοριακές συνθήκες . . . . .   | 44        |
| 3.1.1.1  | Αρχικές συνθήκες . . . . .  | 44        |
| 3.1.1.2  | Συνοριακές Συνθήκες . . . . .   | 44        |
| 3.1.2    | Διατήρηση της ενέργειας . . . . .   | 45        |
| 3.2      | Μέθοδος Πεπερασμένων Στοιχείων και πειραματική τάξη σύγκλισης . . . . .           | 47        |
| 3.2.1    | Πρόβλημα αρχικών/συνοριακών τιμών με συνοριακές συνθήκες τύπου<br>(I) . . . . .   | 47        |
| 3.2.1.1  | Μέθοδος Shu-Osher . . . . .   | 49        |
| 3.2.1.2  | Πειράματα για την τάξη σύγκλισης . . . . .  | 49        |
| 3.2.2    | Πρόβλημα αρχικών/συνοριακών τιμών με συνοριακές συνθήκες τύπου<br>(II) . . . . .  | 59        |
| 3.2.2.1  | Πειράματα για την τάξη σύγκλισης . . . . .  | 61        |
| 3.2.3    | Πρόβλημα αρχικών/συνοριακών τιμών με συνοριακές συνθήκες τύπου<br>(III) . . . . . | 67        |
| 3.2.3.1  | Πειράματα για την τάξη σύγκλισης . . . . .  | 70        |
| 3.2.4    | Πρόβλημα αρχικών/συνοριακών τιμών με συνοριακές συνθήκες τύπου<br>(IV) . . . . .  | 76        |
| 3.2.4.1  | Πειράματα για την τάξη σύγκλισης . . . . .  | 78        |
|          | <b>Βιβλιογραφία</b>   | <b>83</b> |

# Κεφάλαιο 1

## Εισαγωγή

Στην παρούσα εργασία θα μελετήσουμε μεθόδους Galerkin-Πεπερασμένων στοιχείων για προβλήματα αρχικών-συνοριακών τιμών της κυματικής εξίσωσης.

Θα συγκρίνουμε την τάξη σύγκλισης των μεθόδων για την κυματική εξίσωση όταν αυτή είναι γραμμένη ως 2ης τάξης Μ.Δ.Ε. δύο χωρικών μεταβλητών.

$$p_{tt} = \Delta p$$

και όταν είναι γραμμένη σε μορφή υπερβολικού συστήματος 1ης τάξης

$$\begin{cases} p_t + u_x + v_y = 0 \\ u_t + p_x = 0 \\ v_t + p_y = 0 \end{cases}$$

Στην αρχή του δεύτερου κεφαλαίου θα μελετήσουμε μεθόδους πεπερασμένων στοιχείων για διάφορα προβλήματα αρχικών-συνοριακών τιμών της κυματικής εξίσωσης δεύτερης τάξης ενώ στην συνέχεια θα επικεντρωθούμε στο πρόβλημα συνοριακών συνθηκών Neumann όπου και θα κάνουμε θεωρητική εκτίμηση του σφάλματος. Στο τέλος του κεφαλαίου θα επιβεβαιώσουμε πειραματικά την τάξη σύγκλισης.

Στο τρίτο κεφάλαιο θα μελετήσουμε μεθόδους πεπερασμένων στοιχείων για την κυματική εξίσωση ως υπερβολικό σύστημα 1ης τάξης. Αρχικά θα δούμε την σχέση του υπερβολικού συστήματος με την δευτεροβάθμια κυματική εξίσωση και θα διατυπώσουμε διάφορες περιπτώσεις συνοριακών συνθηκών για τις οποίες το σύστημα είναι καλώς τοποθετημένο. Στην συνέχεια για κάθε μία από αυτές τις περιπτώσεις θα κατασκευάσουμε μεθόδους πεπερασμένων στοιχείων και θα βρούμε πειραματικά την τάξη σύγκλισης.

## 1. ΕΙΣΑΓΩΓΗ

---

## Κεφάλαιο 2

# Η κυματική εξίσωση 2ης τάξης

Στο κεφάλαιο αυτό θα μελετήσουμε μεθόδους πεπερασμένων στοιχείων για την 2ης τάξης κυματική εξίσωση

$$p_{tt}(x, t) = \Delta p(x, t) + f(x, t), \quad x \in \Omega \subset \mathbb{R}^2, \quad t > 0 \quad (2.1)$$

όπου  $\Delta$  είναι ο Λαπλασιανός διαφορικός τελεστής.

Θα δούμε διάφορα προβλήματα αρχικών-συνοριακών τιμών, θα αναλύσουμε πρόβλημα με σ.σ. Neumann, και θα πραγματοποιήσουμε σειρά αριθμητικών πειραμάτων για την τάξη σύγκλισης των μεθόδων που θα αναπτύξουμε.

### 2.1 Προβλήματα αρχικών-συνοριακών τιμών

Για να μπορέσουμε να λύσουμε την εξίσωση (2.1) σε ένα πεπερασμένο χωρίο  $\Omega$  πρέπει να επιλέξουμε κατάλληλες αρχικές και συνοριακές συνθήκες για την λύση.

#### 2.1.1 Το χωρίο $\Omega$

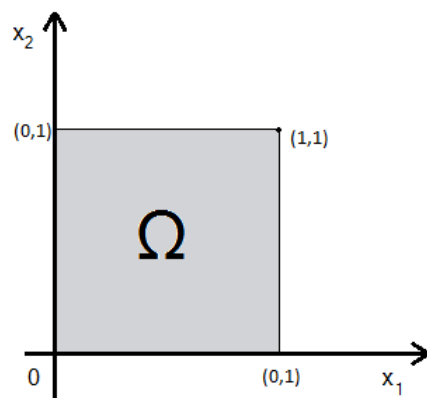
Από την θεωρία των Μερικών Διαφορικών Εξισώσεων (Μ.Δ.Ε.) γνωρίζουμε ότι για την κυματική εξίσωση μπορούμε με κατάλληλες αρχικές και συνοριακές συνθήκες να βρούμε την λύση με χωρισμό μεταβλητών σε κλειστή μορφή όταν παραδείγματος χάριν το χωρίο  $\Omega$  είναι ορθογώνιο ή κυκλικό ενώ σε γενικότερο χωρίο αυτό δεν είναι εφικτό γενικά.

Για να μπορέσουμε να υπολογίσουμε πειραματικά την τάξη σύγκλισης για τις μεθόδους πεπερασμένων στοιχείων που θα αναπτύξουμε θα χρειαστεί να υπολογίσουμε το σφάλμα της προσεγγιστικής λύσης. Αυτό μας οδηγεί στο να επιλέξουμε δεδομένα και ένα χωρίο

## 2. Η ΚΥΜΑΤΙΚΉ ΕΞΊΣΩΣΗ 2ΗΣ ΤΆΞΗΣ

---

για τα οποία γνωρίζουμε εκ των προτέρων την ακριβή λύση. Για να απλοποιήσουμε το πρόβλημα επιλέγουμε ως χωρίο το τετράγωνο  $\Omega = [0, 1] \times [0, 1] \subset \mathbb{R}^2$  στο σχήμα 2.1.



Σχήμα 2.1: Το χωρίο  $\Omega$

### 2.1.2 Τέσσερα πρόβληματα αρχικών/συνοριακών τιμών

Σε πρώτη φάση λοιπόν ορίζουμε τέσσερα προβλήματα αρχικών/συνοριακών τιμών τα οποία και θα μελετήσουμε.

#### 2.1.2.1 Πρόβλημα αρχικών/συνοριακών τιμών με ομογενείς σ.σ. Dirichlet

Θεωρούμε το πρόβλημα αρχικών/συνοριακών τιμών με ομογενείς σ.σ. Dirichlet:

$$\begin{cases} p_{tt} = \Delta p + f & \text{στο } \Omega, \quad 0 \leq t \leq T, \\ p = 0 & \text{στο } \partial\Omega, \quad 0 \leq t \leq T, \\ p(x, 0) = p^0(x) & \text{στο } \Omega, \quad t = 0, \\ p_t(x, 0) = p_t^0(x) & \text{στο } \Omega, \quad t = 0, \end{cases} \quad (2.2)$$

όπου  $\Omega$  είναι το τετράγωνο  $[0, 1] \times [0, 1]$  όπως το ορίσαμε στην ενότητα 2.1.1, και  $x = (x_1, x_2)$

Το παραπάνω πρόβλημα αποτελεί για παράδειγμα το μαθηματικό μοντέλο του φυσικού προβλήματος μίας τετράγωνης παλλόμενης μεμβράνης η οποία είναι στερεωμένη στο σύνορο του  $\Omega$ . Η  $p = p(x, t)$  είναι η κατακόρυφη μετατόπιση της μεμβράνης και η μετατόπιση στο σύνορο του  $\Omega$  είναι μηδέν. Αποτελεί επίσης μοντέλο για το πρόβλημα ακουστικής διάδοσης στο  $\Omega$  όπου η ακουστική πίεση  $p$  είναι δεδομένη και ίση με μηδέν στο  $\partial\Omega$ .

2.1.2.2 Πρόβλημα αρχικών/συνοριακών τιμών με ομογενείς σ.σ. Neumann

Θεωρούμε το πρόβλημα αρχικών/συνοριακών τιμών με ομογενείς σ.σ. Neumann:

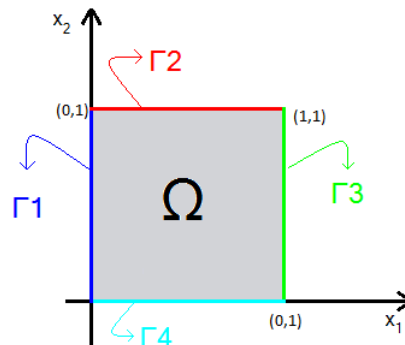
$$\begin{cases} p_{tt} = \Delta p + f & \text{στο } \Omega, 0 \leq t \leq T, \\ \frac{\partial p}{\partial n} = 0 & \text{στο } \partial\Omega, 0 \leq t \leq T, \\ p(x, 0) = p^0(x) & \text{στο } \Omega, t = 0, \\ p_t(x, 0) = p_t^0(x) & \text{στο } \Omega, t = 0, \end{cases} \quad (2.3)$$

όπου  $\Omega$  είναι το τετράγωνο  $[0, 1] \times [0, 1]$  όπως το ορίσαμε στην ενότητα 2.1.1 και  $n$  το μοναδιαίο εξωτερικό κάθετο διάνυσμα στο σύνορο  $\partial\Omega$ .

Το πρόβλημα αυτό αποτελεί π.χ. το μαθηματικό μοντέλο του φυσικού προβλήματος της ακουστικής πίεσης στο  $\Omega$  στο σύνορο του οποίου υπάρχει σταθερό εμπόδιο (τοίχος).

2.1.2.3 Πρόβλημα αρχικών/συνοριακών τιμών με μικτές συνοριακές συνθήκες

Χωρίζουμε το σύνορο του  $\Omega$  σε τέσσερα τμήματα  $\Gamma_1, \Gamma_2, \Gamma_3, \Gamma_4$  όπως φαίνεται στο Σχήμα 2.2.



Σχήμα 2.2: Το χωρίο  $\Omega$  με το σύνορο χωρισμένο σε τέσσερις καμπύλες

## 2. Η ΚΥΜΑΤΙΚΉ ΕΞΊΣΩΣΗ 2ΗΣ ΤΆΞΗΣ

---

Έστω τώρα το πρόβλημα αρχικών/συνοριακών τιμών με μικτές συνθήκες στο σύνορο:

$$\left\{ \begin{array}{ll} p_{tt} = \Delta p + f & \text{στο } \Omega, \quad 0 \leq t \leq T, \\ p = 0 & \text{στο } \Gamma_1 \cup \Gamma_3, \quad 0 \leq t \leq T, \\ \frac{\partial p}{\partial n} = 0 & \text{στο } \Gamma_2 \cup \Gamma_4, \quad 0 \leq t \leq T, \\ p(x, 0) = p^0(x) & \text{στο } \Omega, \quad t = 0, \\ p_t(x, 0) = p_t^0(x) & \text{στο } \Omega, \quad t = 0, \end{array} \right. \quad (2.4)$$

όπου  $\Omega$  είναι το τετράγωνο  $[0, 1] \times [0, 1]$  όπως το ορίσαμε στην ενότητα 2.1.1 και  $n$  το μοναδιαίο εξωτερικό κάθετο διάνυσμα στο σύνορο  $\partial\Omega$ .

### 2.1.2.4 Πρόβλημα αρχικών/συνοριακών τιμών με περιοδικές συνοριακές συνθήκες

Με βάση το διαχωρισμό του συνόρου του  $\Omega$  όπως αυτός φαίνεται στο Σχήμα 2.2 ορίζουμε το εξής πρόβλημα με περιοδικές συνθήκες ως προς  $x_1$  και  $x_2$  ξεχωριστά στο σύνορο του  $\Omega$ :

$$\left\{ \begin{array}{ll} p_{tt} = \Delta p + f & \text{στο } \Omega, \quad 0 \leq t \leq T, \\ p|_{\Gamma_1} = p|_{\Gamma_3} & 0 \leq t \leq T, \\ p|_{\Gamma_2} = p|_{\Gamma_4} & 0 \leq t \leq T, \\ \frac{\partial p}{\partial n} \Big|_{\Gamma_1} = \frac{\partial p}{\partial n} \Big|_{\Gamma_3} & 0 \leq t \leq T, \\ \frac{\partial p}{\partial n} \Big|_{\Gamma_2} = \frac{\partial p}{\partial n} \Big|_{\Gamma_4} & 0 \leq t \leq T, \\ p(x, 0) = p^0(x) & \text{στο } \Omega, \quad t = 0, \\ p_t(x, 0) = p_t^0(x) & \text{στο } \Omega, \quad t = 0, \end{array} \right. \quad (2.5)$$

όπου  $\Omega$  είναι το τετράγωνο  $[0, 1] \times [0, 1]$  όπως το ορίσαμε στην ενότητα 2.1.1 και  $n$  το μοναδιαίο εξωτερικό κάθετο διάνυσμα στο σύνορο  $\partial\Omega$ .

Οι συνοριακές συνθήκες για το περιοδικό πρόβλημα μπορούν να γραφτούν σε πιο απλή μορφή για το χωρίο που μελετάμε ως εξής:

$$\begin{aligned} p(0, y, t) &= p(1, y, t), & p_x(0, y, t) &= p_x(1, y, t), & 0 \leq y \leq 1 \\ p(x, 0, t) &= p(x, 1, t), & p_y(x, 0, t) &= p_y(x, 1, t), & 0 \leq x \leq 1 \end{aligned}$$



## 2.2 Η μέθοδος Πεπερασμένων Στοιχείων για προβλήματα αρχικών/συνοριακών τιμών

Για να μπορέσουμε να λύσουμε αριθμητικά τα προηγούμενα προβλήματα ακολουθούμε μία διαδικασία που αποτελείται από δύο βήματα. Το πρώτο βήμα είναι να διακριτοποιήσουμε χωρικά το πρόβλημα με την συνήθη μέθοδο Galerkin-Πεπερασμένων Στοιχείων. Έτσι παίρνουμε τη λεγόμενη ημιδιακριτή προσέγγιση. Δεύτερο βήμα είναι διακριτοποιήσουμε ως προς τον χρόνο και να πάρουμε μία πλήρως διακριτή προσέγγιση.

Πριν δούμε λοιπόν ποια είναι η μέθοδος Galerkin-Πεπερασμένων Στοιχείων για κάθε ένα από τα προβλήματα (2.2) έως (2.5) θα διατυπώσουμε μία μορφή του θεωρήματος του Gauss που αποτελεί το ανάλογο του τύπου ολοκλήρωσης κατά μέλη σε πολλές διαστάσεις.

**Θεώρημα 1.** (Τύπος Ολοκλήρωσης κατά μέλη)

Έστω  $\Omega$  ένα φραγμένο, ανοικτό υποσύνολο του  $\mathbb{R}^n$  με κατά τμήματα ομαλό ( $C^1$ ) σύνορο. Έστω επιπλέον συναρτήσεις  $u, v \in C(\bar{\Omega}) \cap C^1(\Omega)$ . Τότε

$$\int_{\Omega} u_{x_i} v = - \int_{\Omega} u v_{x_i} + \int_{\partial\Omega} u v \nu^i dS, \quad (2.6)$$

όπου  $\nu^i = \vec{n} \cdot \vec{e}_i$  είναι η  $i$ -οστή συντεταγμένη του εξωτερικού μοναδιαίου κάθετου διανύσματος στο σύνορο  $\partial\Omega$ .

□

### Ο χώρος Sobolev $H^1(\Omega)$

Ο χώρος Hilbert στον οποίο θα δουλέψουμε είναι ο χώρος  $H^1(\Omega)$  ο οποίος ορίζεται ως εξής, βλ. [B]

**Ορισμός 1.** Ο χώρος Sobolev  $H^1 = H^1(\Omega)$  ορίζεται ως:

$$H^1(\Omega) = \{u \in L^2(\Omega) : \exists g_1, g_2, \dots, g_n \in L^2(\Omega), \text{ τέτοια ώστε} \\ \int_{\Omega} u \frac{\partial \varphi}{\partial x_i} = - \int_{\Omega} g_i \varphi, \quad \forall \varphi \in C_c^\infty(\Omega), \forall i : 1 \leq i \leq n\}.$$

Για  $u \in H^1$  ορίζουμε  $g_i = \frac{\partial u}{\partial x_i}$  και ονομάζουμε το  $g_i$  ασθενή μερική παράγωγο της  $u$  ως προς  $x_i$ .

□

## 2. Η ΚΥΜΑΤΙΚΉ ΕΞΊΣΩΣΗ 2ΗΣ ΤΆΞΗΣ

---

Προφανώς ο  $H^1$  είναι υπόχωρος του  $L^2$  και αν  $(\cdot, \cdot)$ ,  $\|\cdot\|$  το εσωτερικό γινόμενο και η νόρμα του  $L^2$  αντίστοιχα, τότε μπορούμε να ορίσουμε τις αντίστοιχες ποσότητες για τον  $H^1$  ως εξής:

$$(u, v)_1 = (u, v) + \sum_{i=1}^n \left( \frac{\partial u}{\partial x_i}, \frac{\partial v}{\partial x_i} \right), \quad u, v \in H^1,$$

$$\|u\|_1 = \left( \|u\|^2 + \sum_{i=1}^n \left\| \frac{\partial u}{\partial x_i} \right\|^2 \right)^{1/2}, \quad u \in H^1.$$

### 2.2.1 Πρόβλημα με ομογενείς σ.σ. Dirichlet

Για το ομογενές πρόβλημα σ.σ. Dirichlet ορίζουμε τον χώρο  $H_0^1(\Omega)$  ως εξής:

$$H_0^1(\Omega) = \{v \in H^1(\Omega) : v|_{\partial\Omega} = 0\}.$$

Τώρα θα πάρουμε την εξίσωση του προβλήματος (2.2) και θα την πολλαπλασιάσουμε με μία συνάρτηση  $v \in H_0^1(\Omega)$

$$p_{tt}v = v\Delta p + fv$$

και στην συνέχεια ολοκληρώνουμε στο  $\Omega$ :

$$\int_{\Omega} p_{tt}v = \int_{\Omega} v\Delta p + \int_{\Omega} fv, \quad \forall v \in H_0^1(\Omega). \quad (2.7)$$

Για να υπολογίσουμε το  $\int_{\Omega} v\Delta p$  θα χρησιμοποιήσουμε την (2.6) θέτοντας όπου  $v = v_{x_i}$  οπότε

$$\int_{\Omega} v\Delta p = - \int_{\Omega} \nabla v \cdot \nabla p + \int_{\partial\Omega} v \frac{\partial p}{\partial n} dS. \quad (2.8)$$

Όμως  $v \in H_0^1(\Omega)$  οπότε τελικά

$$\int_{\Omega} v\Delta p = - \int_{\Omega} \nabla v \cdot \nabla p. \quad (2.9)$$

Αντικαθιστούμε τώρα την (2.9) στην (2.7) και έχουμε

$$\int_{\Omega} p_{tt}v + \int_{\Omega} \nabla v \cdot \nabla p = \int_{\Omega} fv, \quad \forall v \in H_0^1(\Omega).$$

Δηλαδή ζητούμε  $p \in H_0^1$  τέτοια ώστε

$$(p_{tt}, v) + (\nabla p, \nabla v) = (f, v), \quad \forall v \in H_0^1(\Omega). \quad (2.10)$$

Θεωρούμε τώρα έναν υπόχωρο  $S_h^0 \subset H_0^1(\Omega)$  πεπερασμένης διάστασης. Η ημιδιακριτή μέθοδος Galerkin για την προσέγγιση του  $p$  διατυπώνεται ως εξής:

## 2.2 Η μέθοδος Πεπερασμένων Στοιχείων για προβλήματα αρχικών/συνοριακών τιμών

---

Ζητούμε  $p_h \in S_h^0$ ,  $t \geq 0$ , τέτοια ώστε:

$$\begin{cases} (p_{h,tt}, \varphi) + (\nabla p_h, \nabla \varphi) = (f, \varphi), & \forall \varphi \in S_h^0, t > 0, \\ p_h(x, 0) = p_h^0(x) \approx p^0(x) & \text{όπου } p_h^0 \in S_h^0, \\ p_{h,t}(x, 0) = p_{h,t}^0(x) \approx p_t^0(x) & \text{όπου } p_{h,t}^0 \in S_h^0. \end{cases} \quad (2.11)$$

### 2.2.2 Πρόβλημα με ομογενείς σ.σ. Neumann

Για το ομογενές πρόβλημα σ.σ. Neumann θα πάρουμε την εξίσωση του προβλήματος (2.3) και αυτήν την φορά θα την πολλαπλασιάσουμε με μία συνάρτηση  $v \in H^1(\Omega)$ . Στη συνέχεια θα ολοκληρώσουμε στο  $\Omega$  και θα καταλήξουμε σε μία σχέση παρόμοια της (2.7), δηλ.:

$$\int_{\Omega} p_{tt}v = \int_{\Omega} v\Delta p + \int_{\Omega} fv, \quad \forall v \in H^1(\Omega). \quad (2.12)$$

Εφαρμόζοντας και πάλι την σχέση (2.8) για τον υπολογισμό του  $\int_{\Omega} v\Delta p$  και παίρνοντας υπόψιν ότι  $\frac{\partial p}{\partial n}|_{\partial\Omega} = 0$ , καταλήγουμε ξανά στην σχέση (2.9). Αντικαθιστούμε στην (2.12) και παίρνουμε

$$\int_{\Omega} p_{tt}v + \int_{\Omega} \nabla v \cdot \nabla p = \int_{\Omega} fv, \quad \forall v \in H^1(\Omega).$$

Δηλαδή ζητάμε  $p \in H^1$  τέτοιο ώστε

$$(p_{tt}, v) + (\nabla p, \nabla v) = (f, v), \quad \forall v \in H^1(\Omega). \quad (2.13)$$

Θεωρούμε τώρα έναν υπόχωρο  $S_h \subset H^1(\Omega)$  πεπερασμένης διάστασης, το ημιδιακριτό πρόβλημα Galerkin διατυπώνεται ανάλογα με το πρόβλημα Dirichlet ως εξής:

Ζητούμε  $p_h \in S_h$ ,  $t \geq 0$  τέτοιο ώστε:

$$\begin{cases} (p_{h,tt}, \varphi) + (\nabla p_h, \nabla \varphi) = (f, \varphi), & \forall \varphi \in S_h, t > 0, \\ p_h(x, 0) = p_h^0(x) \approx p^0(x) & \text{όπου } p_h^0 \in S_h, \\ p_{h,t}(x, 0) = p_{h,t}^0(x) \approx p_t^0(x) & \text{όπου } p_{h,t}^0 \in S_h. \end{cases} \quad (2.14)$$

### 2.2.3 Πρόβλημα με μικτές συνοριακές συνθήκες

Για το πρόβλημα (2.4) θα ορίσουμε τον χώρο  $H_{\mu}^1$  ως

$$H_{\mu}^1(\Omega) = \{v \in H^1(\Omega) : v|_{\Gamma_1 \cup \Gamma_3} = 0\}.$$

Στη λογική των προηγούμενων προβλημάτων ((2.2)-(2.3)), θα πολλαπλασιάσουμε την εξίσωση του προβλήματος (2.4) με μία συνάρτηση  $v \in H_{\mu}^1$  και θα ολοκληρώσουμε στο  $\Omega$ . Αυτό θα μας δώσει την σχέση

$$\int_{\Omega} p_{tt}v = \int_{\Omega} v\Delta p + \int_{\Omega} fv, \quad \forall v \in H_{\mu}^1(\Omega). \quad (2.15)$$

## 2. Η ΚΥΜΑΤΙΚΉ ΕΞΊΣΩΣΗ 2ΗΣ ΤΆΞΗΣ

---

Στην συνέχεια από την σχέση (2.8) θα πάρουμε ότι:

$$\int_{\Omega} v \Delta p = - \int_{\Omega} \nabla v \cdot \nabla p + \int_{\partial\Omega} v \frac{\partial p}{\partial n} dS.$$

Όμως  $v \in H_{\mu}^1(\Omega)$  και επιπλέον  $\frac{\partial p}{\partial n}|_{\Gamma_2 \cup \Gamma_4} = 0$  οπότε καταλήγουμε στην σχέση (2.9). Αντικαθιστούμε στην (2.15) και καταλήγουμε στην σχέση

$$\int_{\Omega} p_{tt} v + \int_{\Omega} \nabla v \cdot \nabla p = \int_{\Omega} f v, \quad \forall v \in H_{\mu}^1(\Omega).$$

Δηλαδή ζητούμε  $p \in H_{\mu}^1$  τέτοιο ώστε

$$(p_{tt}, v) + (\nabla p, \nabla v) = (f, v), \quad \forall v \in H_{\mu}^1(\Omega). \quad (2.16)$$

Θεωρούμε έναν υπόχωρο  $S_h^{\mu} \subset H_{\mu}^1(\Omega)$  πεπερασμένης διάστασης και διατυπώνουμε το πρόβλημα της ημιδιακριτής προσέγγισης Galerkin με τον συνήθη πλέον τρόπο ως εξής: Ζητούμε  $p_h \in S_h^{\mu}$ ,  $t \geq 0$  τέτοιο ώστε:

$$\begin{cases} (p_{h,tt}, \varphi) + (\nabla p_h, \nabla \varphi) = (f, \varphi), & \forall \varphi \in S_h^{\mu}, t > 0, \\ p_h(x, 0) = p_h^0(x) \approx p^0(x) & \text{όπου } p_h^0 \in S_h^{\mu}, \\ p_{h,t}(x, 0) = p_{h,t}^0(x) \approx p_t^0(x) & \text{όπου } p_{h,t}^0 \in S_h^{\mu}. \end{cases} \quad (2.17)$$

### 2.2.4 Πρόβλημα με περιοδικές συνοριακές συνθήκες

Στο περιοδικό πρόβλημα (2.5) θα ορίσουμε τον χώρο  $H_{\pi}^1$  ως:

$$H_{\pi}^1(\Omega) = \{v \in H^1(\Omega) : v|_{\Gamma_1} = v|_{\Gamma_3} \text{ και } v|_{\Gamma_2} = v|_{\Gamma_4}\}.$$

Με την ίδια διαδικασία όπως στα προηγούμενα προβλήματα, από την ΜΔΕ του προβλήματος (2.5), πολλαπλασιάζοντας με μία συνάρτηση  $v \in H_{\pi}^1$  και ολοκληρώνοντας στο  $\Omega$  θα έχουμε:

$$\int_{\Omega} p_{tt} v = \int_{\Omega} v \Delta p + \int_{\Omega} f v, \quad \forall v \in H_{\pi}^1(\Omega). \quad (2.18)$$

Στην συνέχεια από την σχέση (2.8) θα πάρουμε ότι:

$$\int_{\Omega} v \Delta p = - \int_{\Omega} \nabla v \cdot \nabla p + \int_{\partial\Omega} v \frac{\partial p}{\partial n} dS.$$

Αναπτύσσουμε το επικαμπύλιο ολοκλήρωμα του δεύτερου μέρους και παίρνουμε

$$\int_{\partial\Omega} v \frac{\partial p}{\partial n} dS = - \int_{\Gamma_1} v p_x dS + \int_{\Gamma_2} v p_y dS + \int_{\Gamma_3} v p_x dS - \int_{\Gamma_4} v p_y dS.$$

## 2.3 Εκτιμήσεις σφάλματος για το πρόβλημα με ομογενείς σ.σ. Neumann

---

Όμως αφού  $v \in H_\pi^1$  και  $p_x(0, y, t) = p_x(1, y, t)$ ,  $p_y(x, 0, t) = p_y(x, 1, t)$  βλέπουμε ότι:

$$\int_{\partial\Omega} v \frac{\partial p}{\partial n} dS = 0, \quad (2.19)$$

και επομένως

$$\int_{\Omega} p_{tt}v + \int_{\Omega} \nabla v \cdot \nabla p = \int_{\Omega} f v, \quad \forall v \in H_\pi^1(\Omega).$$

Δηλαδή ζητάμε  $p \in H_\pi^1$  τέτοιο ώστε

$$(p_{tt}, v) + (\nabla p, \nabla v) = (f, v), \quad \forall v \in H_\pi^1(\Omega). \quad (2.20)$$

Τέλος θεωρούμε έναν υπόχωρο  $S_h^\pi \subset H_\pi^1(\Omega)$  πεπερασμένης διάστασης και διατυπώνουμε το πρόβλημα της ημιδιακριτής προσέγγισης Galerkin με τον συνήθη πλέον τρόπο ως εξής: Ζητάμε  $p_h \in S_h^\pi$ ,  $t \geq 0$  τέτοιο ώστε:

$$\begin{cases} (p_{h,tt}, \varphi) + (\nabla p_h, \nabla \varphi) = (f, \varphi), & \forall \varphi \in S_h^\pi, t > 0, \\ p_h(x, 0) = p_h^0(x) \approx p^0(x) & \text{όπου } p_h^0 \in S_h^\pi, \\ p_{h,t}(x, 0) = p_{h,t}^0(x) \approx p_t^0(x) & \text{όπου } p_{h,t}^0 \in S_h^\pi. \end{cases} \quad (2.21)$$

## 2.3 Εκτιμήσεις σφάλματος για το πρόβλημα με ομογενείς σ.σ. Neumann

Στην προηγούμενη ενότητα ορίσαμε την ασθενή (ή μεταβολική) μορφή του προβλήματος Neumann και στην συνέχεια με την συνήθη μέθοδο Galerkin, δηλαδή το πρόβλημα (2.14): Ζητάμε  $p_h \in S_h \subset H^1(\Omega)$ ,  $t \geq 0$  τέτοιο ώστε:

$$\begin{aligned} (p_{h,tt}, \varphi) + (\nabla p_h, \nabla \varphi) &= (f, \varphi), \quad \forall \varphi \in S_h, t > 0, \\ p_h(x, 0) &= p_h^0(x) \approx p^0(x), \quad \text{όπου } p_h^0 \in S_h, \\ p_{h,t}(x, 0) &= p_{h,t}^0(x) \approx p_t^0(x), \quad \text{όπου } p_{h,t}^0 \in S_h. \end{aligned}$$

Λύνουμε το πρόβλημα (2.14) ως εξής:

Ο χώρος  $S_h$  είναι υπόχωρος του  $H^1(\Omega)$  πεπερασμένης διάστασης. Έστω  $N_h = \dim(S_h)$  και  $\{\varphi_i\}_{i=1}^{N_h}$  μία βάση του  $S_h$ . Τότε αφού  $p_h \in S_h$ :

$$p_h(x, t) = \sum_{i=1}^{N_h} a_i(t) \varphi_i(x), \quad x \in \Omega, t \geq 0, \quad (2.22)$$

και

$$p_{h,tt}(x, t) = \sum_{i=1}^{N_h} \ddot{a}_i(t) \varphi_i(x), \quad x \in \Omega, t \geq 0. \quad (2.23)$$

## 2. Η ΚΥΜΑΤΙΚΉ ΕΞΊΣΩΣΗ 2ΗΣ ΤΆΞΗΣ

---

Αντικαθιστώντας τις (2.22) και (2.23) στο πρόβλημα (2.14) καταλήγουμε στο παρακάτω  $N_h \times N_h$  γραμμικό σύστημα συνήθων διαφορικών εξισώσεων:

$$\sum_{i=1}^{N_h} \ddot{a}_i(t)(\varphi_i, \varphi_j) + \sum_{i=1}^{N_h} a_i(t)(\nabla\varphi_i, \nabla\varphi_j) = (f, \varphi_j), \quad 1 \leq j \leq N_h, \quad t > 0.$$

Ορίζουμε τώρα

- Τον  $N_h \times N_h$  πίνακα μάζας  $G$ , έτσι ώστε  $G_{ij} = (\varphi_j, \varphi_i)$ . Ο πίνακας μάζας είναι συμμετρικός και θετικά ορισμένος ενώ με κατάλληλη επιλογή της βάσης (μικρός φορέας των  $\varphi_j$ ), ο  $G$  είναι αραιός.
- Τον  $N_h \times N_h$  πίνακα ακαμψίας  $S$ , έτσι ώστε  $S_{ij} = (\nabla\varphi_j, \nabla\varphi_i)$ . Ο πίνακας ακαμψίας είναι επίσης συμμετρικός και θετικά ημιορισμένος ενώ και πάλι με κατάλληλη επιλογή της βάσης ο πίνακας είναι και αραιός.
- Το διάνυσμα  $\vec{F}(t) = ((f(t), \varphi_1), (f(t), \varphi_2), \dots, (f(t), \varphi_{N_h}))^T$ .

Άρα μπορούμε να γράψουμε το σύστημα στην μορφή:

$$G\ddot{\vec{a}}(t) + S\dot{\vec{a}}(t) = \vec{F}(t), \quad t \geq 0 \quad (2.24)$$

όπου  $\vec{a}(t) = (a_1(t), a_2(t), \dots, a_{N_h}(t))^T$ .

Το σύστημα (2.24) είναι 2ης τάξης και απαιτεί δύο αρχικές συνθήκες. Αυτές θα προέλθουν από τις αρχικές συνθήκες του προβλήματος (2.14) ως εξής:

$$p_h^0 \in S_h \Rightarrow p_h^0 = \sum_{i=1}^{N_h} \beta_i \varphi_i,$$

$$p_{h,t}^0 \in S_h \Rightarrow p_{h,t}^0 = \sum_{i=1}^{N_h} \gamma_i \varphi_i.$$

Συνεπώς ορίζουμε

$$\vec{a}(0) = \vec{\beta} = (\beta_1, \beta_2, \dots, \beta_{N_h})^T,$$

$$\dot{\vec{a}}(0) = \vec{\gamma} = (\gamma_1, \gamma_2, \dots, \gamma_{N_h})^T,$$

οπότε προκύπτει το σύστημα:

$$\begin{cases} G\ddot{\vec{a}}(t) + S\dot{\vec{a}}(t) = \vec{F}(t), & t \geq 0, \\ \vec{a}(0) = \vec{\beta}, \quad \dot{\vec{a}}(0) = \vec{\gamma}, \end{cases} \quad (2.25)$$

του οποίου η λύση είναι οι συντελεστές του  $p_h$  ως προς τη βάση  $\{\varphi_i\}$  του  $S_h$ .

Η ιδέα της μεθόδου Galerkin είναι ότι όταν η διάσταση του  $S_h$  τείνει στο άπειρο (δηλαδή καθώς  $h \rightarrow 0$  αν π.χ. το  $h$  είναι η μεγαλύτερη πλευρά τριγώνου κατάλληλου τριγωνισμού του  $\Omega$ ) τότε η ημιδιακριτή προσέγγιση  $p_h$  θα τείνει στην ακριβή λύση  $p$ , π.χ. ως προς την  $L^2$  νόρμα,  $\|p - p_h\| \rightarrow 0$ . Κάνοντας εκτίμηση της ποσότητας  $\|p_h - p\|$  συναρτήσει του  $h$  θα είμαστε σε θέση να δούμε πόσο γρήγορα τείνει η προσεγγιστική λύση στην ακριβή λύση καθώς  $h \rightarrow 0$ .

### 2.3.1 Ελλειπτική προβολή και προσεγγιστικές ιδιότητές του $S_h$

Πριν από αυτό όμως ας ορίσουμε την ελλειπτική προβολή στον χώρο  $S_h$ . Ακολουθούμε τις σημειώσεις του σεμιναρίου  $[\Delta],[Th]$ .

**Ορισμός 2.** (Τελεστής ελλειπτικής προβολής)

Ο τελεστής  $R_h : H^1 \rightarrow S_h$ , που ονομάζεται τελεστής ελλειπτικής προβολής στον  $S_h$ , ορίζεται για  $w \in H^1$  από την σχέση:

$$(\nabla(R_h w), \nabla \varphi) = (\nabla w, \nabla \varphi), \quad \forall \varphi \in S_h. \quad (2.26)$$

□

Η ελλειπτική προβολή έχει την παρακάτω προσεγγιστική ιδιότητα:

**Θεώρημα 2.** (Προσεγγιστική ιδιότητα της ελλειπτικής προβολής)

Έστω  $r \geq 2$ , τότε για  $v \in H^s$ ,  $2 \leq s \leq r$  ισχύει

$$\|R_h v - v\| \leq Ch^s \|v\|_s \quad (2.27)$$

και

$$\|\nabla(R_h v - v)\| \leq Ch^{s-1} \|v\|_s, \quad (2.28)$$

όπου  $C$  είναι σταθερά ανεξάρτητη του  $h$  και του  $v$ .

□

Η ιδιότητα αυτή της ελλειπτικής προβολής προκύπτει από ανάλογη προσεγγιστική ιδιότητα του  $S_h$  που δίνεται από το επόμενο λήμμα (βλ.[Th]).

**Λήμμα 1.** (Προσεγγιστική ιδιότητα του  $S_h$ )

Υπάρχει ακέραιος αριθμός  $r \geq 2$  τέτοιος ώστε:

$$\inf_{\chi \in S_h} (\|w - \chi\| + h\|w - \chi\|_1) \leq Ch^s \|w\|_s, \quad (2.29)$$

για  $w \in H^s$ ,  $2 \leq s \leq r$  και  $C$  σταθερά ανεξάρτητη του  $w$  και του  $h$ .

## 2. Η ΚΥΜΑΤΙΚΉ ΕΞΊΣΩΣΗ 2ΗΣ ΤΆΞΗΣ

□

Είναι γνωστό (βλ.[C]) ότι πολλοί χώροι συνεχών συναρτήσεων στο  $\Omega$ , που είναι κατά τμήματα πολυωνυμικές συναρτήσεις βαθμού  $\leq r$  σε κάθε πεπερασμένο στοιχείο του  $S_h$ , πληρούν την (2.29).

### 2.3.2 Εκτίμηση σφάλματος

Στην συνέχεια θα διατυπώσουμε και θα αποδείξουμε ένα θεώρημα για την εκτίμηση στην  $L^2$  νόρμα του σφάλματος της ημιδιακριτής προσέγγισης του προβλήματος με ομογενείς σ.σ. Neumann.

**Θεώρημα 3.** Έστω  $p_h$  και  $p$  οι λύσεις των προβλημάτων (2.3) και (2.14) αντίστοιχα για  $0 \leq t \leq T$ . Τότε, για  $0 \leq t \leq T$

$$\begin{aligned} \|p_h(t) - p(t)\| \leq & \|p_h^0 - R_h p^0\| + C(T) \{ \|p_{h,t}^0 - R_h p_t^0\| + \|\nabla(p_h^0 - R_h p^0)\| \} \\ & + C(T) h^r \left( \|p^0\|_r + \int_0^t \|p_t(\tau)\|_r d\tau + \left( \int_0^t \|p_{tt}(\tau)\|_r^2 d\tau \right)^{1/2} \right), \end{aligned} \quad (2.30)$$

όπου  $C(T)$  σταθερά ανεξάρτητη του  $h$  και του  $p$ .

Απόδειξη: Ακολουθούμε την απόδειξη του Dupont [D], για το πρόβλημα με ομογενείς σ.σ. Dirichlet. Από τις σχέσεις (2.3) και (2.14) έχουμε ότι:

$$(p_{tt}, \varphi) + (\nabla p, \nabla \varphi) = (f, \varphi),$$

$$(p_{h,tt}, \varphi) + (\nabla p_h, \nabla \varphi) = (f, \varphi),$$

$\forall \varphi \in S_h$ ,  $0 \leq t \leq T$ . Αφαιρώντας τις παραπάνω σχέσεις κατά μέλη έχουμε:

$$(e_{tt}, \varphi) + (\nabla e, \nabla \varphi) = 0, \quad \forall \varphi \in S_h, \quad 0 \leq t \leq T, \quad (2.31)$$

όπου  $e = p_h - p$ . Επομένως  $e|_{t=0} = p_h^0 - p^0$  και  $e_t|_{t=0} = p_{h,t}^0 - p_t^0$ .

Γράφουμε τώρα

$$e = p_h - p = (p_h - R_h p) + (R_h p - p) \equiv \vartheta + \varrho$$

όπου  $\vartheta = (p_h - R_h p)$  και  $\varrho = (R_h p - p)$ .

Προφανώς

$$\|p_h - p\| = \|\vartheta + \varrho\| \leq \|\vartheta\| + \|\varrho\|,$$



### 2.3 Εκτιμήσεις σφάλματος για το πρόβλημα με ομογενείς σ.σ. Neumann

---

οπότε αρκεί να εκτιμήσουμε τα  $\|\vartheta\|$  και  $\|\varrho\|$ .

Η ποσότητα  $\|\varrho\|$  είναι εύκολο να εκτιμηθεί αφού

$$\|\varrho\| = \|R_h p - p\| \stackrel{(2.27)}{\leq} Ch^r \|p\|_r.$$

Όμως

$$p(x, t) = p^0(x) + \int_0^t p_t(x, \tau) d\tau.$$

Επομένως

$$\|\varrho\| \leq Ch^r \left( \|p^0\|_r + \int_0^t \|p_t\|_r d\tau \right). \quad (2.32)$$

Για να εκτιμήσουμε την ποσότητα  $\|\vartheta\|$  παρατηρούμε ότι για  $\varphi \in S_h$ :

$$\begin{aligned} (\vartheta_{tt}, \varphi) + (\nabla \vartheta, \nabla \varphi) &= (p_{h,tt}, \varphi) + (\nabla p_h, \nabla \varphi) - (R_h p_{tt}, \varphi) - (\nabla R_h p, \nabla \varphi) \\ &= (f, \varphi) - (R_h p_{tt}, \varphi) - (\nabla R_h p, \nabla \varphi) \\ &= (f, \varphi) - (R_h p_{tt}, \varphi) - (\nabla p, \nabla \varphi) \\ &= (p_{tt}, \varphi) - (R_h p_{tt}, \varphi), \end{aligned}$$

δηλαδή

$$(\vartheta_{tt}, \varphi) + (\nabla \vartheta, \nabla \varphi) = -(\varrho_{tt}, \varphi), \quad \forall \varphi \in S_h, \quad 0 \leq t \leq T. \quad (2.33)$$

Σταθεροποιούμε το  $t$  και επιλέγουμε  $\varphi = \vartheta_t$  οπότε:

$$(\vartheta_{tt}, \vartheta_t) + (\nabla \vartheta, \nabla \vartheta_t) = -(\varrho_{tt}, \vartheta_t),$$

δηλ.

$$\frac{1}{2} \frac{d}{dt} \|\vartheta_t\|^2 + \frac{1}{2} \frac{d}{dt} \|\nabla \vartheta\|^2 = -(\varrho_{tt}, \vartheta_t).$$

Συνεχίζουμε τώρα ως εξής:

$$\begin{aligned} \frac{d}{dt} (\|\vartheta_t\|^2 + \|\nabla \vartheta\|^2) &= -2(\varrho_{tt}, \vartheta_t) \\ &\leq 2\|\varrho_{tt}\| \|\vartheta_t\| \\ &\leq \|\varrho_{tt}\|^2 + \|\vartheta_t\|^2 \\ &\leq \|\varrho_{tt}\|^2 + \|\vartheta_t\|^2 + \|\nabla \vartheta\|^2. \end{aligned}$$

Έστω  $\sigma(t) := \|\vartheta_t\|^2 + \|\nabla \vartheta\|^2$ . Τότε προκύπτει:

$$\frac{d}{dt} \sigma(t) \leq \|\varrho_{tt}\|^2 + \sigma(t), \quad 0 \leq t \leq T.$$

Η παραπάνω σχέση είναι μία διαφορική ανισότητα. Από το λήμμα του Gronwall παίρνουμε:

$$\sigma(t) = \|\vartheta_t(t)\|^2 + \|\nabla \vartheta(t)\|^2 \leq e^t \{ \|\vartheta_t(0)\|^2 + \|\nabla \vartheta(0)\|^2 \} + \int_0^t e^{t-\tau} \|\varrho_{tt}(\tau)\|^2 d\tau,$$

## 2. Η ΚΥΜΑΤΙΚΉ ΕΞΊΣΩΣΗ 2ΗΣ ΤΆΞΗΣ

και αφού για  $0 \leq t \leq T$  έχουμε  $e^t \leq e^T =: C(T)$ , παίρνουμε τελικά

$$\|\vartheta_t(t)\|^2 + \|\nabla\vartheta(t)\|^2 \leq C(T)\{\|\vartheta_t(0)\|^2 + \|\nabla\vartheta(0)\|^2 + \int_0^t \|\varrho_{tt}(\tau)\|^2 d\tau\}, \quad 0 \leq t \leq T. \quad (2.34)$$

Έχουμε όμως ότι

$$\|\varrho_{tt}\| = \|R_h p_{tt} - p_{tt}\| \leq Ch^r \|p_{tt}\|_r,$$

αντικαθιστώντας στην (2.34) και παίρνοντας τετραγωνικές ρίζες καταλήγουμε στην σχέση:

$$\|\vartheta_t(t)\| + \|\nabla\vartheta(t)\| \leq C(T)\{\|\vartheta_t(0)\| + \|\nabla\vartheta(0)\| + h^r \left( \int_0^t \|p_{tt}(\tau)\|_r^2 d\tau \right)^{1/2}\}. \quad (2.35)$$

Για να βρούμε ένα φράγμα για την  $\|\vartheta\|$  έχουμε:

$$\vartheta(x, t) = \vartheta(x, 0) + \int_0^t \vartheta_t(x, \tau) d\tau.$$

Παίρνοντας νόρμες έχουμε:

$$\|\vartheta(t)\| \leq \|\vartheta(0)\| + \int_0^t \|\vartheta_t(\tau)\| d\tau \leq \|\vartheta(0)\| + T \max_{0 \leq \tau \leq T} \|\vartheta_t(\tau)\|. \quad (2.36)$$

Άρα απο την (2.35) προκύπτει ότι:

$$\max_{0 \leq \tau \leq T} \|\vartheta_t(\tau)\| \leq C(T)\{\|\vartheta_t(0)\| + \|\nabla\vartheta(0)\| + h^r \left( \int_0^t \|p_{tt}(\tau)\|_r^2 d\tau \right)^{1/2}\},$$

οπότε η (2.36) γίνεται

$$\|\vartheta(t)\| \leq \|\vartheta(0)\| + C(T)\{\|\vartheta_t(0)\| + \|\nabla\vartheta(0)\| + h^r \left( \int_0^t \|p_{tt}(\tau)\|_r^2 d\tau \right)^{1/2}\}. \quad (2.37)$$

Όμως

$$\|p_h - p\| \leq \|\vartheta\| + \|\varrho\|.$$

Άρα τελικά απο τις σχέσεις (2.32) και (2.37) παίρνουμε για  $0 \leq t \leq T$

$$\|p_h - p\| \leq \|\vartheta(0)\| + C(T)\{\|\vartheta_t(0)\| + \|\nabla\vartheta(0)\|\} + C(T)h^r \left( \|p^0\|_r + \int_0^t \|p_t(\tau)\|_r d\tau + \left( \int_0^t \|p_{tt}(\tau)\|_r^2 d\tau \right)^{1/2} \right) \quad (2.38)$$

το οποίο, με δεδομένο ότι  $\|\vartheta(0)\| = \|p_h^0 - R_h p^0\|$ ,  $\|\vartheta_t(0)\| = \|p_{h,t}^0 - R_h p_t^0\|$  και  $\|\nabla\vartheta(0)\| = \|\nabla(p_h^0 - R_h p^0)\|$ , είναι το τελικό αποτέλεσμα (2.3)  $\square$

### Παρατήρηση:

Σημαντικό ρόλο στο θεώρημα αυτό είναι να μπορούμε να εκτιμήσουμε τις ποσότητες  $\|\vartheta(0)\|$ ,  $\|\vartheta_t(0)\|$  και  $\|\nabla\vartheta(0)\|$  με ακρίβεια  $O(h^r)$ .

Τόσο η  $\|\vartheta(0)\|$  όσο και η  $\|\vartheta_t(0)\|$  είναι  $O(h^r)$  για πολλές προσεγγίσεις της  $p^0$  και της  $p_t^0$  αντίστοιχα (π.χ.  $L^2$  προβολές, παρεμβάλλουσα κλπ.). Αντιθέτως η  $\|\nabla\vartheta(0)\|$  είναι  $O(h^r)$  πρακτικά μόνον αν  $p_h^0 = R_h p^0$ , οπότε  $\vartheta(0) = 0$ .

## 2.4 Ένα πλήρως διακριτό σχήμα. Υλοποίηση και αριθμητικά πειράματα

### 2.4 Ένα πλήρως διακριτό σχήμα. Υλοποίηση και αριθμητικά πειράματα

Στην ενότητα 2.2 ορίσαμε τα ημιδιακριτά προβλήματα (2.11), (2.14), (2.17) και (2.21), τα οποία διαφέρουν ουσιαστικά μόνο στον υπόχωρο πεπερασμένης διάστασης στον οποίο είναι ορισμένη η ημιδιακριτή λύση. Θα δούμε τώρα πώς περνάμε από το ημιδιακριτό στο πλήρως διακριτό πρόβλημα και θα ορίσουμε συγκεκριμένα πλήρως διακριτά σχήματα.

#### 2.4.1 Διακριτοποίηση ως προς τον χρόνο

Είχαμε καταλήξει στο ημιδιακριτό πρόβλημα:

$$\begin{aligned} (p_{h,tt}, \varphi) + (\nabla p_h, \nabla \varphi) &= (f, \varphi), \quad \forall \varphi \in S_h, \quad t > 0, \\ p_h(x, 0) &= p_h^0(x) \approx p^0(x), \quad \text{όπου } p_h^0(x) \in S_h, \\ p_{h,t}(x, 0) &= p_{h,t}^0(x) \approx p_t^0(x), \quad \text{όπου } p_{h,t}^0(x) \in S_h, \end{aligned} \quad (2.39)$$

όπου  $S_h$  είναι κάθε φορά ένας από τους χώρους πεπερασμένων στοιχείων των προβλημάτων της ενότητας 2.2. Για την διακριτοποίηση ως προς το χρόνο, επιλέγουμε χρονικό βήμα  $k$  ( $k = \Delta t$ ) και ορίζουμε  $t^n = nk$ ,  $n = 0, 1, 2, \dots, M$  όπου  $M : Mk = T$  και

$$P^n \approx p(\cdot, t^n), \quad P^n \in S_h.$$

Θα προσεγγίσουμε την  $p_{tt}$  από το πηλίκο:  $p_{tt} \approx \frac{p(t^{n+1}) - 2p(t^n) + p(t^{n-1}))}{k^2}$ . Αντικαθιστώντας στο πρόβλημα (2.39) διατυπώνουμε το εξής πλήρως διακριτό πρόβλημα:

Ζητούμε  $P^n \in S_h$ ,  $n = 0, 1, 2, \dots, M$ ,  $Mk = T$ , τέτοια ώστε:

$$\begin{cases} \left( \frac{P^{n+1} - 2P^n + P^{n-1}}{k^2}, \varphi \right) + (\nabla \hat{P}_\beta^n, \nabla \varphi) = (f^n, \varphi), \quad \forall \varphi \in S_h, \quad n = 1, \dots, M-1 \\ P^0, P^1, \quad \text{δεδομένα στο } S_h, \end{cases} \quad (2.40)$$

όπου

$$\hat{P}_\beta^n = \beta P^{n+1} + (1 - \beta)P^n + \beta P^{n-1}$$

και

$$f^n = f(t^n)$$

για παράμετρο  $\beta \geq 0$ .

Πολλαπλασιάζουμε την (2.40) με  $k^2$  και έχουμε:

$$\begin{aligned} (P^{n+1}, \varphi) - 2(P^n, \varphi) + (P^{n-1}, \varphi) + k^2 \beta (\nabla P^{n+1}, \nabla \varphi) + k^2 (1 - 2\beta) (\nabla P^n, \nabla \varphi) + \\ + k^2 (\nabla P^{n-1}, \nabla \varphi) = k^2 (f^n, \varphi) \end{aligned}$$

## 2. Η ΚΥΜΑΤΙΚΉ ΕΞΊΣΩΣΗ 2ΗΣ ΤΆΞΗΣ

---

ή ισοδύναμα

$$\begin{aligned} (P^{n+1}, \varphi) + k^2 \beta (\nabla P^{n+1}, \nabla \varphi) = & 2(P^n, \varphi) - k^2(1 - 2\beta)(\nabla P^n, \nabla \varphi) \\ & - (P^{n-1}, \varphi) - k^2(\nabla P^{n-1}, \nabla \varphi) \\ & + k^2(f^n, \varphi) \end{aligned}$$

για  $\varphi \in S_h$ ,  $1 \leq n \leq M - 1$ .

Έστω τώρα  $\{\varphi_i\}_{i=1}^{N_h}$  μία βάση του  $S_h$ . Τότε

$$P^n = \sum_{i=1}^{N_h} c_i^n \varphi_i,$$

οπότε έχουμε:

$$\begin{aligned} \left( \sum_{i=1}^{N_h} c_i^{n+1} \varphi_i, \varphi_j \right) + k^2 \beta \left( \sum_{i=1}^{N_h} c_i^{n+1} \nabla \varphi_i, \nabla \varphi_j \right) = & 2 \left( \sum_{i=1}^{N_h} c_i^n \varphi_i, \varphi_j \right) - k^2(1 - 2\beta) \left( \sum_{i=1}^{N_h} c_i^n \nabla \varphi_i, \nabla \varphi_j \right) \\ & - \left( \sum_{i=1}^{N_h} c_i^{n-1} \varphi_i, \varphi_j \right) - k^2 \left( \sum_{i=1}^{N_h} c_i^{n-1} \nabla \varphi_i, \nabla \varphi_j \right) \\ & + k^2(f^n, \varphi_j) \end{aligned}$$

για  $1 \leq j \leq N_h$ . Ορίζουμε λοιπόν

- Τον πίνακα μάζας  $G : G_{ji} = (\varphi_j, \varphi_i)$
- Τον πίνακα ακαμψίας  $S : S_{ji} = (\nabla \varphi_j, \nabla \varphi_i)$
- Το άγνωστο διάνυσμα  $\vec{c}^n : \vec{c}^n = (c_1^n, c_2^n, \dots, c_{N_h}^n)^T$
- και το διάνυσμα  $\vec{F}^n : F_i^n = (f^n, \varphi_i)$ ,

οπότε τελικά το πλήρως διακριτό πρόβλημα γράφεται ως εξής:

Ζητάμε  $\vec{c}^n$ ,  $0 \leq n \leq M$  τέτοια ώστε

$$\begin{cases} (G + k^2 \beta S) \vec{c}^{n+1} = (2G - k^2(1 - 2\beta)S) \vec{c}^n - (G + k^2 \beta S) \vec{c}^{n-1} + k^2 \vec{F}^n, & 1 \leq n \leq M - 1, \\ \vec{c}^0, \vec{c}^1, & \text{δεδομένα.} \end{cases} \quad (2.41)$$

Για  $\beta = 0$  έχω  $\hat{P}_\beta^n = P^n$  (το κλασσικό σχήμα των Courant-Friedrichs-Lewy, (1928)). Για  $\beta \geq 1/4$  η μέθοδος συγκλίνει χωρίς περιορισμούς, χωρίς δηλαδή να απαιτούμε κάποια συνθήκη της μορφής  $\frac{\Delta t}{h} \leq c_0$ . Όταν  $0 \leq \beta < 1/4$  χρειάζεται να εισάγουμε μία συνθήκη ευστάθειας της μορφής  $\frac{\Delta t}{h} \leq c_0$ , η οποία όμως δεν είναι πολύ περιοριστική. Η  $c_0$  είναι κατάλληλη σταθερά,  $[\Delta]$ .

## 2.4 Ένα πλήρως διακριτό σχήμα. Υλοποίηση και αριθμητικά πειράματα

Μία ξεχωριστή περίπτωση είναι όταν  $\beta = 1/12$ . Η μέθοδος τότε ονομάζεται Störmer-Numeron και είναι τέταρτης τάξης ως προς τον χρόνο.

Ακριβέστερα η συνθήκη ευστάθειας είναι:

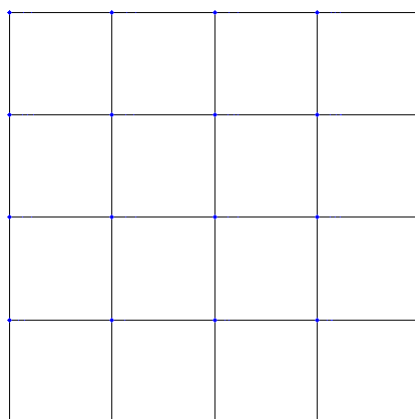
$$\Delta t(\rho(G^{-1}S))^{1/2} = \begin{cases} +\infty & \text{εάν } \beta \geq 1/4 \\ \left(\frac{4}{1-4\beta}\right)^{1/2} & \text{εάν } 0 \leq \beta < 1/4 \end{cases},$$

όπου είναι γνωστό ότι  $(\rho(G^{-1}S))^{1/2} \sim 1/h$ . Υπό αυτή τη συνθήκη και για κατάλληλες αρχικές συνθήκες μπορεί να αποδειχθεί ότι  $\max_n \|P^n - p(t^n)\| \leq C(k^2 + h^r)$  (με  $k^4$  αντί  $k^2$  για την Störmer-Numeron). Για τις αποδείξεις παραπέμπουμε στις εργασίες [D],[D1]

### 2.4.2 Διγραμμικά Πεπερασμένα Στοιχεία

Για να προχωρήσουμε στην υλοποίηση στον υπολογιστή του πλήρους διακριτού σχήματος (2.41) θα πρέπει να θεωρήσουμε μία συγκεκριμένη διαμέριση του  $\Omega$ . Το σχήμα των στοιχείων του διαμερισμού ορίζει διάφορες οικογένειες χώρων πεπερασμένων στοιχείων για το χωρίο  $\Omega$ .

Στην περίπτωση που το χωρίο  $\Omega$  είναι ορθογώνιο η ένωση ορθογωνίων, όπως είναι το χωρίο στο οποίο θεωρούμε τα προβλήματα μας, τότε μπορούμε να ορίσουμε μία διαμέριση  $\mathcal{M}_h$  του  $\Omega$  έτσι ώστε τα στοιχεία τα οποία σχηματίζονται να λαμβάνονται ως τανυστικά γινόμενα μονοδιάστατων χώρων. Για το χωρίο  $\Omega$  του σχήματος 2.1 μία τέτοια διαμέριση θα μοιάζει π.χ. με αυτήν στο Σχήμα 2.3.



Σχήμα 2.3: Ένας διαμερισμός του χωρίου  $\Omega$  με ορθογώνια

## 2. Η ΚΥΜΑΤΙΚΉ ΕΞΊΣΩΣΗ 2ΗΣ ΤΆΞΗΣ

---

Σε κάθε ορθογώνιο  $M_i$  του διαμερισμού υπάρχουν τέσσερις κορυφές και μπορούμε να ορίσουμε με μοναδικό τρόπο ένα πολυώνυμο με τέσσερις βαθμούς ελευθερίας. Ένα τέτοιο πολυώνυμο θα έχει την μορφή (με  $x = x_1$ ,  $y = x_2$ ):

$$a + bx + cy + dxy$$

και δεδομένου ότι τα γινόμενα γραμμικών πολυωνύμων  $(\alpha + \beta x)(\gamma + \delta y)$  γράφονται στην μορφή  $a + bx + cy + dxy$ , τέτοιου είδους πολυώνυμα αναφέρονται ως 'διγραμμικά' (bilinear). Να σημειώσουμε ότι τα διγραμμικά πολυώνυμα υποβαθμίζονται σε γραμμικά πάνω στις ακμές του ορθογωνίου.

Συμβολίζουμε λοιπόν με  $\{c_1, c_2, \dots, c_{N_c}\}$ , το σύνολο των κόμβων στο σύνορο με συνοριακές συνθήκες Dirichlet (δεσμευμένοι κόμβοι) και με  $\{z_1, z_2, \dots, z_{N_f}\}$  το σύνολο των υπόλοιπων κόμβων του διαμερισμού τους οποίους ονομάζουμε ελεύθερους κόμβους ( $N_\nu = N_f + N_c$ ). Επιπλέον ορίζουμε με  $N_{el}$  τον αριθμό των ορθογώνιων στοιχείων του διαμερισμού. Έτσι λοιπόν  $\Omega = \mathcal{M}_h = \bigcup_{i=1}^{N_{el}} \{M_i\}$  και μπορούμε να ορίσουμε τον χώρο συναρτήσεων  $B_h$  με βάση  $\{\psi_1, \psi_2, \dots, \psi_{N_\nu}\}$ , με την ιδιότητα:

$$\psi_i(z_j) = \begin{cases} 1 & \text{εάν } i = j \\ 0 & \text{εάν } i \neq j \end{cases},$$

που μπορεί να γραφτεί ως:

$$\psi_i(x, y) = a_i + b_i x + c_i y + d_i xy, \quad (x, y) \in M_i,$$

όπου τα  $a_i, b_i, c_i, d_i$  προσδιορίζονται κατα μοναδικό τρόπο από τις συντεταγμένες των κορυφών του ορθογωνίου  $M_i$ .

Αν ορίσουμε ως  $\Gamma_1$  το τμήμα του συνόρου  $\partial\Omega$  με συνθήκες Dirichlet και ως  $\Gamma_2$  το τμήμα του συνόρου  $\partial\Omega$  με συνθήκες Neumann, τότε ο χώρος πεπερασμένων στοιχείων είναι ο:

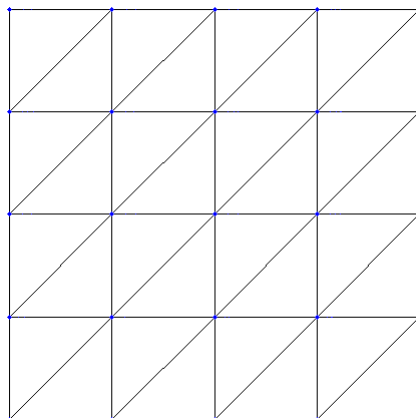
$$S_h = \{v \in B_h : v = 0 \text{ στο } \Gamma_1\}.$$

Στο εξής θα αναφερόμαστε σε τέτοιου είδους χώρους ως χώρους τανυστικών γινομένων πεπερασμένων στοιχείων.

### 2.4.3 Τριγωνικά Πεπερασμένα Στοιχεία

Έστω τώρα ένας διαμερισμός του χωρίου του σχήματος 2.1 με τρίγωνα όπως φαίνεται π.χ. στο σχήμα 2.4.

## 2.4 Ένα πλήρως διακριτό σχήμα. Υλοποίηση και αριθμητικά πειράματα



Σχήμα 2.4: Ένας διαμερισμός του χωρίου  $\Omega$  με τρίγωνα

Ορίζοντας λοιπόν  $\Omega = \mathcal{T}_h = \bigcup_{i=1}^{N_{el}} \{T_i\}$  και τον συμβολισμό στους κόμβους όπως αυτό έγινε στα διγραμμικά πεπερασμένα στοιχεία μπορούμε και πάλι να ορίσουμε έναν χώρο συναρτήσεων  $P_h$  με βάση  $\{\psi_1, \psi_2, \dots, \psi_{N_v}\}$  που ικανοποιεί την ιδιότητα:

$$\psi_i(z_j) = \begin{cases} 1 & \text{εάν } i = j \\ 0 & \text{εάν } i \neq j \end{cases}.$$

Κάθε στοιχείο της βάσης μπορεί να γραφτεί ως:

$$\psi_i(x, y) = a_i + b_i x + c_i y, \quad (x, y) \in T_i,$$

όπου και πάλι τα  $a_i, b_i, c_i$  προσδιορίζονται κατα μοναδικό τρόπο από τις συντεταγμένες των κορυφών του τριγώνου  $T_i$ .

Ο χώρος πεπερασμένων στοιχείων σε αυτήν την περίπτωση είναι ο

$$S_h = \{v \in P_h : v = 0 \text{ στο } \Gamma_1\}.$$

### 2.4.4 Αριθμητικά Παραδείγματα

Θα υλοποιήσουμε τώρα την πλήρως διακριτή μέθοδο (2.41) με  $\beta = 0$  όταν οι αρχικές συνθήκες είναι της μορφής

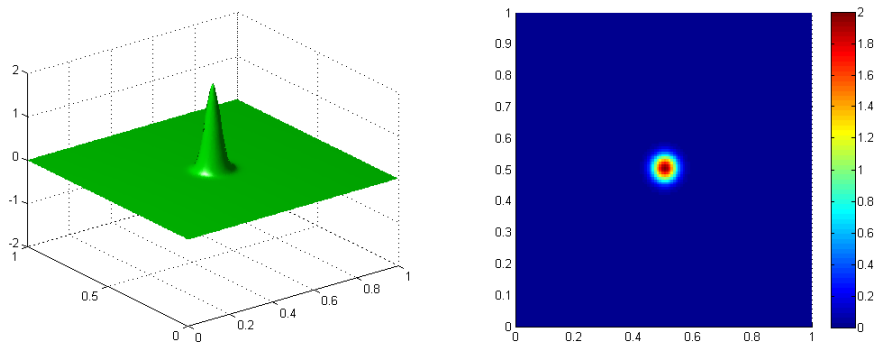
$$p^0(x, y) = Ae^{-c((x-x_0)^2+(y-y_0)^2)} \text{ και } p_t^0(x, y) = 0. \quad (2.42)$$

Η συνάρτηση  $p^0(x, y)$  παριστάνει την αρχική τιμή του κύματος που για στην δεδομένη περίπτωση είναι μία συνάρτηση Gauss. με κορυφή το σημείο  $(x_0, y_0)$

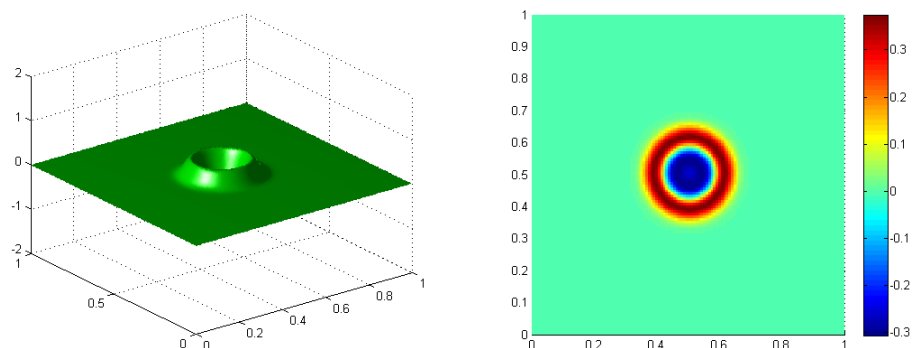
## 2. Η ΚΥΜΑΤΙΚΉ ΕΞΪΣΩΣΗ 2ΗΣ ΤΆΞΗΣ

### Παράδειγμα 1:

Δοκιμάζουμε την μέθοδο μας με τις αρχικές συνθήκες (2.42) όπου  $A = 2$ ,  $c = 600$ ,  $(x_0, y_0) = (1/2, 1/2)$  για το χωρίο του σχήματος 2.1 με ομογενείς συνοριακές συνθήκες Dirichlet. Η προσομοίωση έγινε με διγραμμικά πεπερασμένα στοιχεία με συνολικό αριθμό στοιχείων  $N_{el} = 15376$ . Πήραμε  $\Delta t = 1/310$  έτσι ώστε  $\frac{\Delta t}{h} = \frac{2}{5}$  που πληροί την συνθήκη ευστάθειας  $\frac{\Delta t}{h} \leq c_0$  με  $c_0 = 2/5$ . Η εξέλιξη της λύσης φαίνεται στα σχήματα 2.5-2.9.



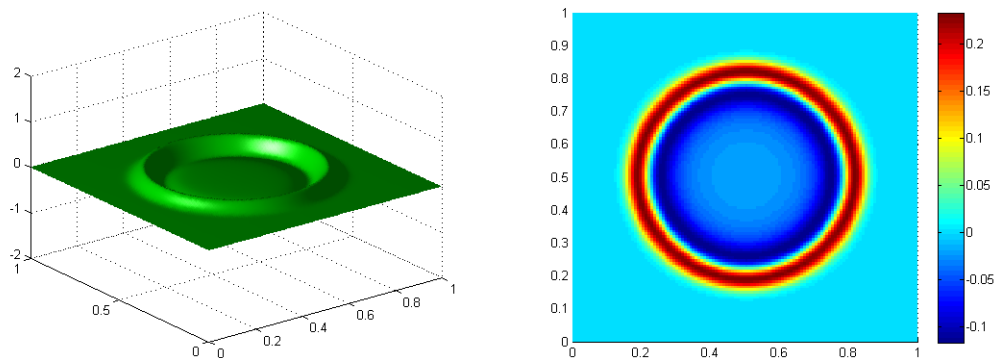
Σχήμα 2.5:  $t = 0$



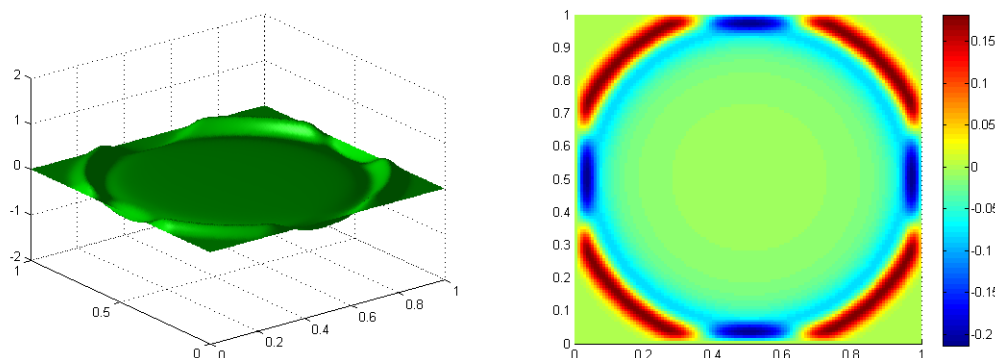
Σχήμα 2.6:  $t = 0.1$



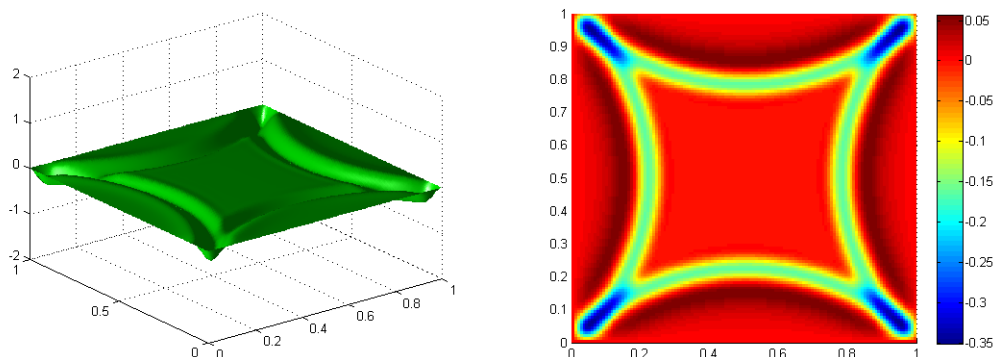
## 2.4 Ένα πλήρως διακριτό σχήμα. Υλοποίηση και αριθμητικά πειράματα



Σχήμα 2.7:  $t = 0.3$



Σχήμα 2.8:  $t = 0.5$

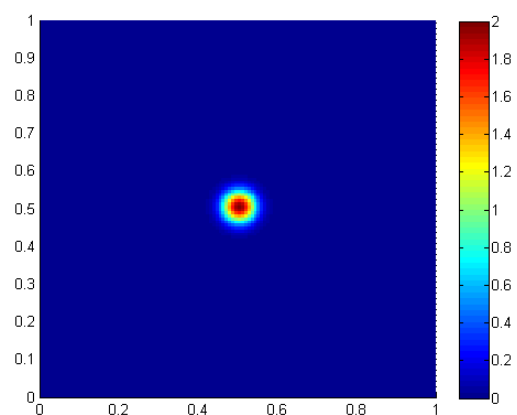
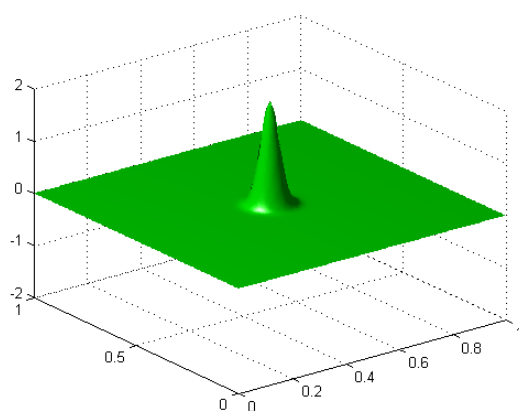


Σχήμα 2.9:  $t = 0.7$

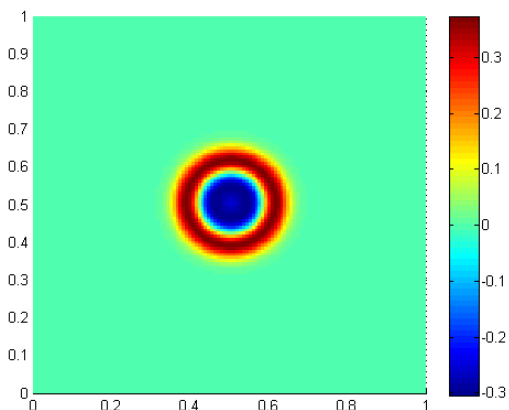
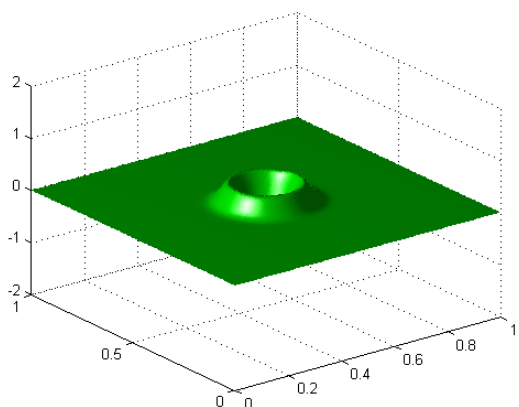
## 2. Η ΚΥΜΑΤΙΚΉ ΕΞΉΣΩΣΗ 2ΗΣ ΤΆΞΗΣ

### Παράδειγμα 2:

Δοκιμάζουμε την μέθοδο μας με τις αρχικές συνθήκες (2.42) όπου  $A = 2$ ,  $c = 600$ ,  $(x_0, y_0) = (1/2, 1/2)$  για το χωρίο του σχήματος 2.1 με ομογενείς συνοριακές συνθήκες Neumann. Η προσομοίωση έγινε με διγραμμικά πεπερασμένα στοιχεία με συνολικό αριθμό στοιχείων  $N_{el} = 15376$ . Πήραμε  $\Delta t = 1/310$  έτσι ώστε  $\frac{\Delta t}{h} = \frac{2}{5}$  που πληροί την συνθήκη ευστάθειας  $\frac{\Delta t}{h} \leq c_0$  με  $c_0 = 2/5$ . Η εξέλιξη της λύσης φαίνεται στα σχήματα 2.10-2.14.

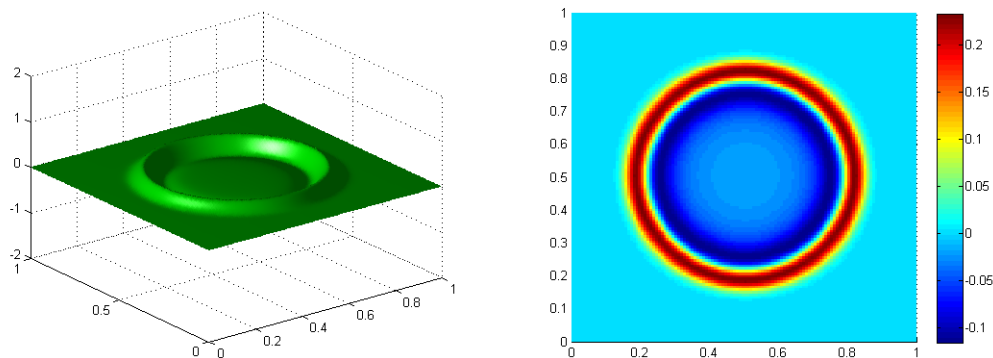


Σχήμα 2.10:  $t = 0$

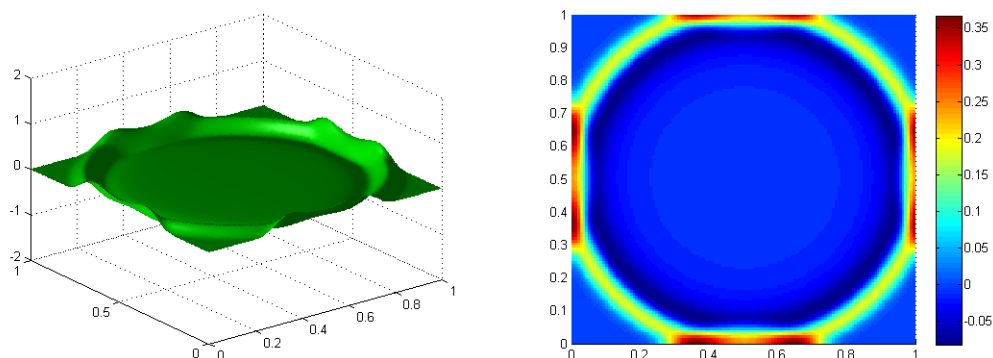


Σχήμα 2.11:  $t = 0.1$

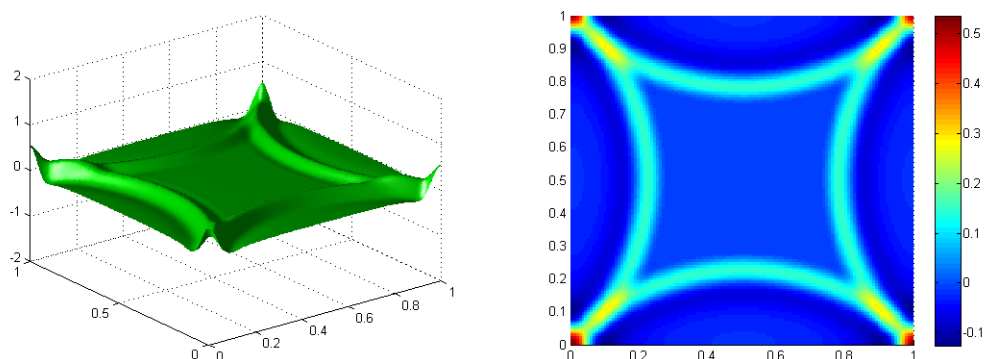
## 2.4 Ένα πλήρως διακριτό σχήμα. Υλοποίηση και αριθμητικά πειράματα



Σχήμα 2.12:  $t = 0.3$



Σχήμα 2.13:  $t = 0.5$

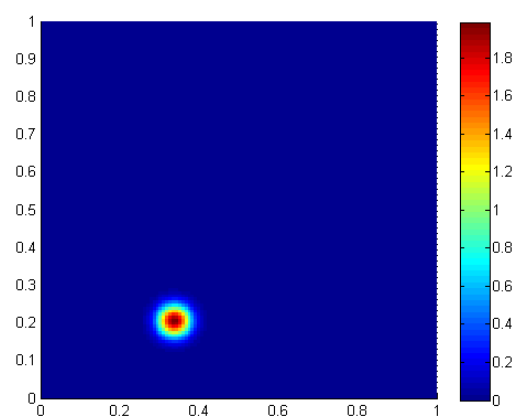
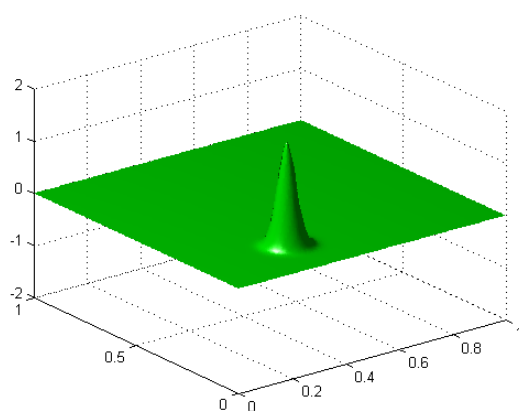


Σχήμα 2.14:  $t = 0.7$

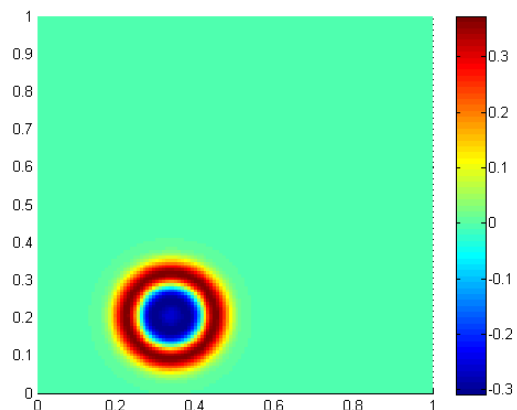
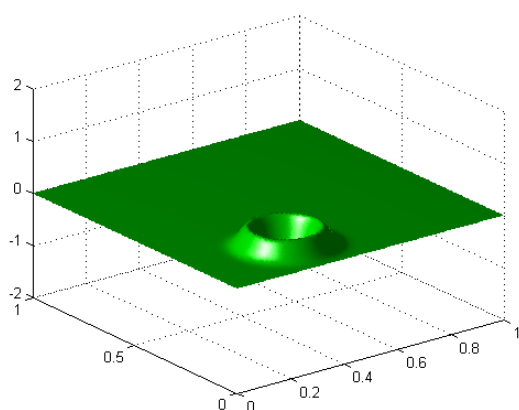
## 2. Η ΚΥΜΑΤΙΚΉ ΕΞΉΣΩΣΗ 2ΗΣ ΤΆΞΗΣ

### Παράδειγμα 3:

Δοκιμάζουμε την μέθοδο μας με τις αρχικές συνθήκες (2.42) όπου  $A = 2$ ,  $c = 600$ ,  $(x_0, y_0) = (1/3, 1/5)$ , στο χωρίο του σχήματος 2.1 με περιοδικές συνοριακές συνθήκες. Η προσομοίωση έγινε με ορθογώνια πεπερασμένα στοιχεία με  $N_{el} = 15376$ . Πήραμε  $\Delta t = 1/310$  έτσι ώστε  $\frac{\Delta t}{h} = \frac{2}{5}$  που πληροί την συνθήκη ευστάθειας  $\frac{\Delta t}{h} \leq c_0$  με  $c_0 = 2/5$ . Η εξέλιξη της λύσης φαίνεται στα σχήματα 2.15-2.19.

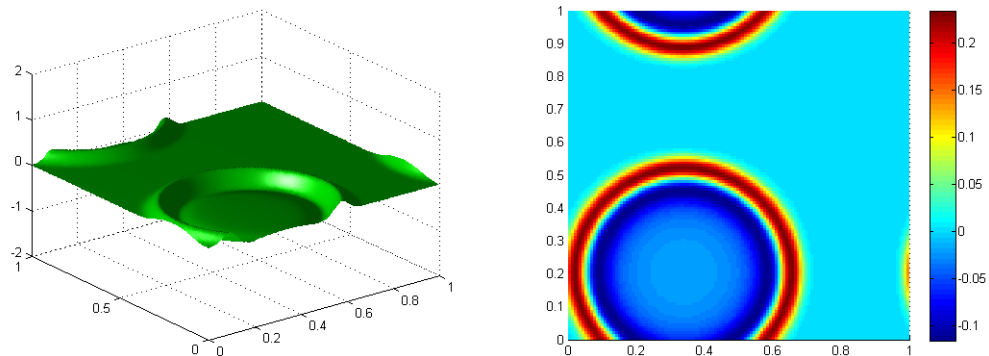


Σχήμα 2.15:  $t = 0$

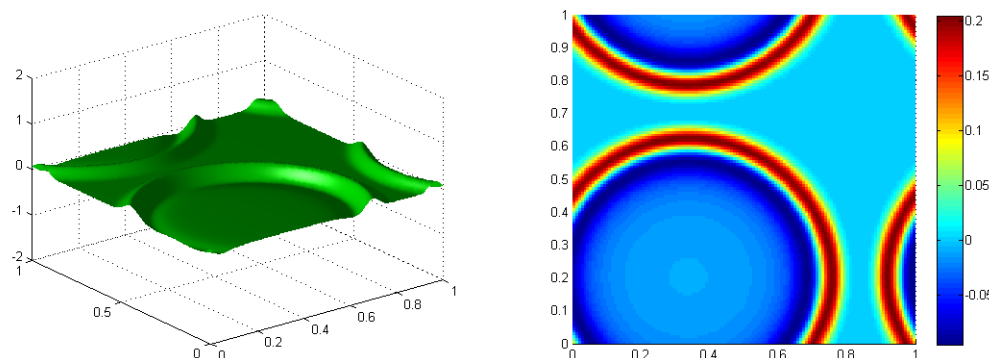


Σχήμα 2.16:  $t = 0.1$

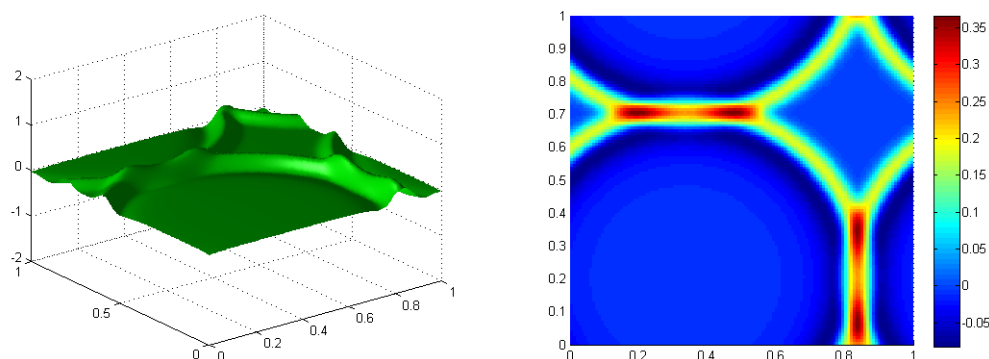
## 2.4 Ένα πλήρως διακριτό σχήμα. Υλοποίηση και αριθμητικά πειράματα



Σχήμα 2.17:  $t = 0.3$



Σχήμα 2.18:  $t = 0.4$

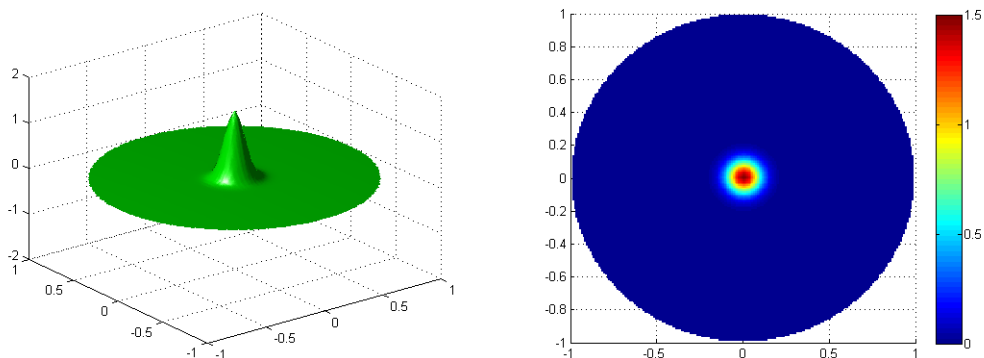


Σχήμα 2.19:  $t = 0.5$

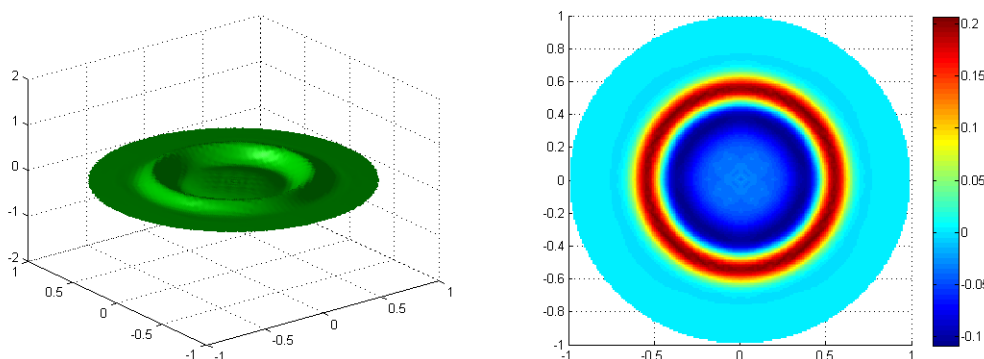
## 2. Η ΚΥΜΑΤΙΚΉ ΕΞΪΣΩΣΗ 2ΗΣ ΤΆΞΗΣ

### Παράδειγμα 4:

Δοκιμάζουμε την μέθοδο μας με τις αρχικές συνθήκες (2.42) όπου  $A = 2$ ,  $c = 600$ ,  $(x_0, y_0) = (0, 0)$  στον δίσκο με κέντρο το  $(0, 0)$ , ακτίνα ένα και ομογενείς συνοριακές συνθήκες Neumann. Η προσομοίωση έγινε με τριγωνικά πεπερασμένα στοιχεία με τον συνολικό αριθμό των στοιχείων να είναι  $N_{el} = 4096$ . Πήραμε  $\Delta t = 1/240$  έτσι ώστε  $\frac{\Delta t}{h} = c$  που πληροί την συνθήκη ευστάθειας  $\frac{\Delta t}{h} \leq c_0$  με  $c_0$  δεδομένη σταθερά και  $h$  η μέγιστη πλευρά τριγώνου στον τριγωνισμό. Η εξέλιξη της λύσης φαίνεται στα σχήματα 2.20-2.24. Να σημειώσουμε ότι προσεγγίζουμε τον κύκλο από κανονικό πολύγωνο και στην περίπτωση του πειράματος αυτού υπάρχουν 129 κορυφές του τριγωνισμού πάνω στον κύκλο.

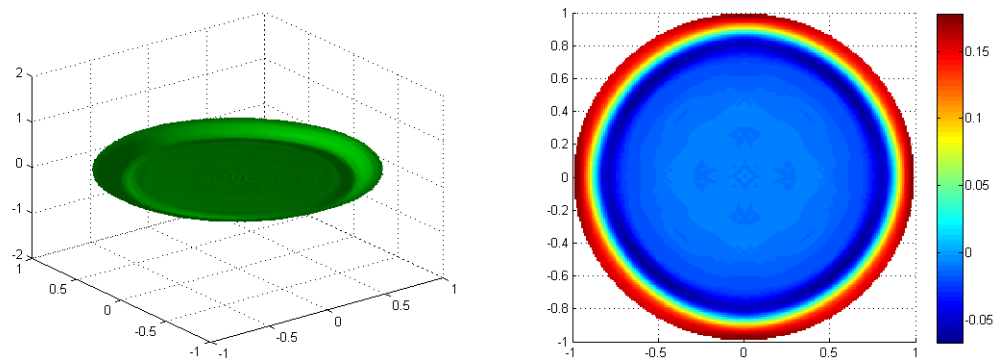


Σχήμα 2.20:  $t = 0$

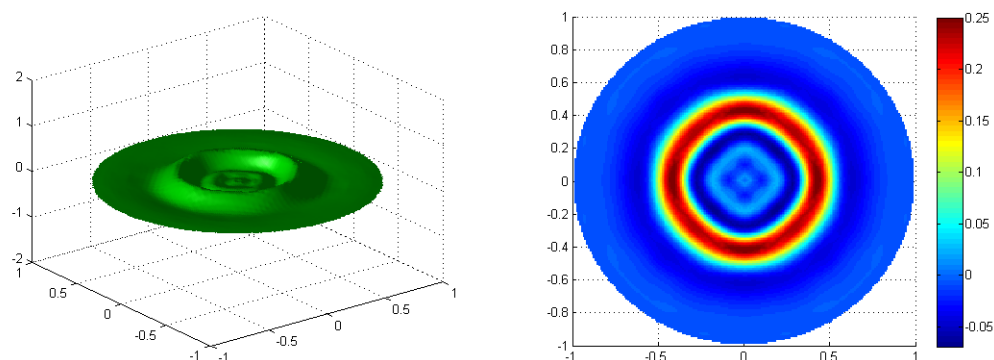


Σχήμα 2.21:  $t = 0.5$

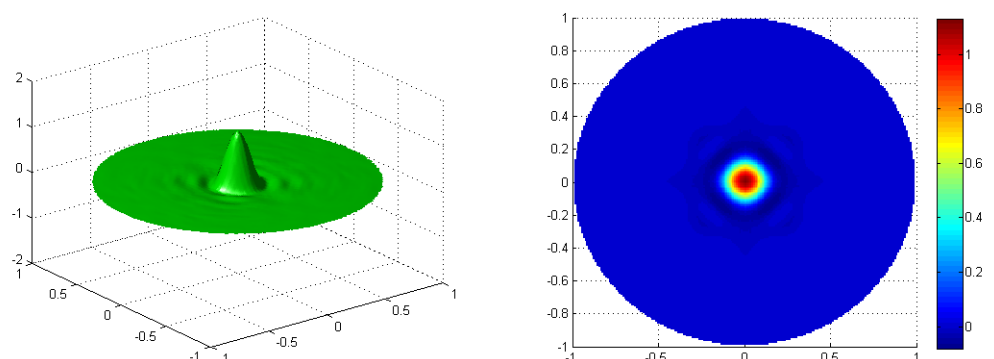
## 2.4 Ένα πλήρως διακριτό σχήμα. Υλοποίηση και αριθμητικά πειράματα



Σχήμα 2.22:  $t = 1.0$



Σχήμα 2.23:  $t = 1.5$



Σχήμα 2.24:  $t = 1.9$

## 2. Η ΚΥΜΑΤΙΚΉ ΕΞΊΣΩΣΗ 2ΗΣ ΤΆΞΗΣ

---

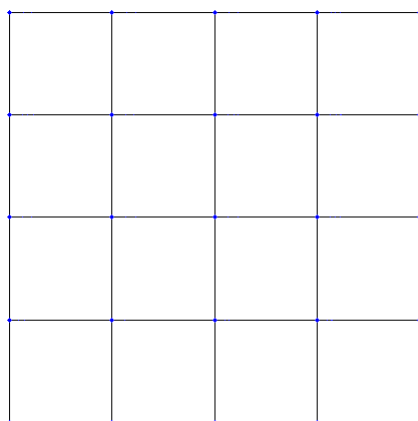
### 2.5 Τάξη σύγκλισης

Ήδη από το θεώρημα 3 αναμένουμε η τάξη σύγκλισης ως προς την  $L^2$  νόρμα του χωρικού σφάλματος θα είναι τουλάχιστον 2. Για να βρούμε πειραματικά την τάξη σύγκλισης σχεδιάσαμε μία σειρά από αριθμητικά πειράματα.

Στα αριθμητικά πειράματα που ακολουθούν επιλέξαμε  $\beta = 1/12$  (μέθοδος Störmer-Numeron ) ώστε η μέθοδος να είναι τέταρτης τάξης ως προς τον χρόνο, καθώς και  $\frac{\Delta t}{h} = 2/5$ , ώστε να εξασφαλίζουμε ότι το αποτέλεσμα που παίρνουμε αφορά πρακτικά την τάξη σύγκλισης ως προς το χωρικό σφάλμα και μόνο (εδώ το χωρικό σφάλμα μετριέται την χρονική στιγμή  $T = 1$ ).

#### 2.5.1 Τάξη σύγκλισης με διγραμμικά πεπερασμένα στοιχεία.

Εφαρμόζουμε την μέθοδο όπως την περιγράψαμε προηγουμένως με χρήση διγραμμικών πεπερασμένων στοιχείων στο χωρίο του σχήματος 2.1. Ο διαμερισμός του χωρίου γίνεται με ομοιόμορφη διαμέριση με  $N$  σημεία σε κάθε πλευρά του τετραγώνου  $[0, 1] \times [0, 1]$ . Έτσι κατασκευάζουμε ένα πλέγμα από σημεία απο τα οποία προκύπτει η διαμέριση. Το αποτέλεσμα θα είναι μία διαμέριση όπως π.χ. του σχήματος που ακολουθεί.



Σχήμα 2.25:  $N = 5$ ,  $h = 1/4$ ,  $N_{el} = 16$

Ως  $h$  παίρνουμε το πλάτος του διαμερισμού στην πλευρά του  $\Omega$  (δηλαδή  $h = \frac{1}{N-1}$ ).



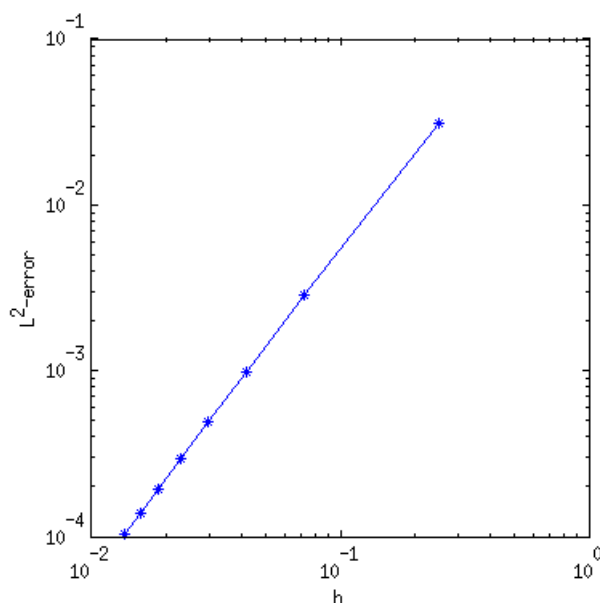
## 2.5.1.1 Πρόβλημα με ομογενείς σ.σ. Dirichlet

Παίρνοντας ακριβή λύση το προβλήματος (2.2) τη συνάρτηση

$$p(x, y, t) = \cos(\sqrt{2\pi t})x \sin(\pi x) \sin(\pi y), \quad (2.43)$$

δηλαδή με  $f(x, y, t) = -2\pi \cos(\sqrt{2\pi t}) \cos(\pi x) \sin(\pi y)$  και με τις αρχικές συνθήκες που προκύπτουν από αυτήν εξετάζουμε την τάξη σύγκλισης ως προς την  $L^2$  νόρμα, συγκρίνοντας τα σφάλματα για διάφορα  $h$  την χρονική στιγμή  $T = 1$ . Τα αποτελέσματα φαίνονται στον παρακάτω πίνακα και δίνουν τάξη σύγκλισης  $r = r(p)$  πρακτικά ίση με 2.

| $N$ | $h$             | $\ p - p_h\ _{L^2}$ | $r(p)$ |
|-----|-----------------|---------------------|--------|
| 5   | $2.5000e - 001$ | $3.1038e - 002$     | ---    |
| 15  | $7.1429e - 002$ | $2.8342e - 003$     | 1.9105 |
| 25  | $4.1667e - 002$ | $9.7462e - 004$     | 1.9805 |
| 35  | $2.9412e - 002$ | $4.8740e - 004$     | 1.9895 |
| 45  | $2.2727e - 002$ | $2.9156e - 004$     | 1.9930 |
| 55  | $1.8519e - 002$ | $1.9378e - 004$     | 1.9947 |
| 65  | $1.5625e - 002$ | $1.3805e - 004$     | 1.9958 |
| 75  | $1.3514e - 002$ | $1.0332e - 004$     | 1.9965 |



**Σχήμα 2.26:** Διάγραμμα τάξης σύγκλισης σε λογαριθμική κλίμακα για το πρόβλημα με ομογενείς σ.σ. Dirichlet

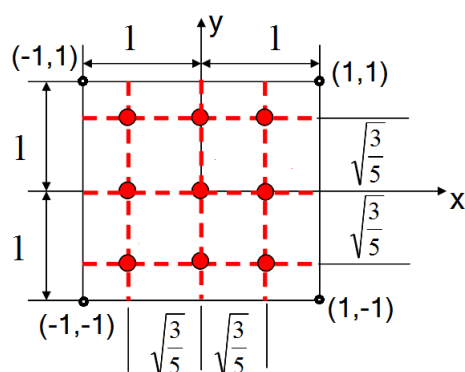
## 2. Η ΚΥΜΑΤΙΚΉ ΕΞΊΣΩΣΗ 2ΗΣ ΤΆΞΗΣ

### Παρατήρηση:

Ο υπολογισμός της  $L^2$ -νόρμας, στην περίπτωση των διγραμμικών πεπερασμένων στοιχείων, γίνεται με αριθμητική ολοκλήρωση. Έχουμε λοιπόν

$$\|f\|_{L^2(\Omega)} = \sqrt{\int_{\Omega} f^2(x, y) dx dy}$$

όπου  $\int_{\Omega} f^2(x, y) dx dy = \sum_{i=1}^{N_e} \int_{M_i} f^2(x, y) dx dy$ . Η προσέγγιση των ολοκληρωμάτων  $\int_{M_i} f^2(x, y) dx dy$  γίνεται με κανόνα  $3 \times 3$  σημείων Gauss-Legendre.



Τα σημεία του κανόνα είναι τα  $(x_i, y_j)$ ,  $1 \leq i, j \leq 3$  με  $x = (-\sqrt{3/5}, 0, \sqrt{3/5})$  και  $y = (-\sqrt{3/5}, 0, \sqrt{3/5})$  και τα αντίστοιχα βάρη είναι  $W_{ij} = w_i w_j$  όπου  $w = (5/9, 8/9, 5/9)$ . Με βάση τα παραπάνω έχουμε

$$\int_{-1}^1 \int_{-1}^1 f(x, y) dx dy \simeq \sum_{i=1}^3 \sum_{j=1}^3 W_{ij} f(x_i, y_j)$$

Με κατάλληλη αλλαγή μεταβλητών ο παραπάνω κανόνας μπορεί να εφαρμοστεί σε κάθε στοιχείο  $M_i$  του διαμερισμού.

### 2.5.1.2 Πρόβλημα με ομογενείς σ.σ.Neumann

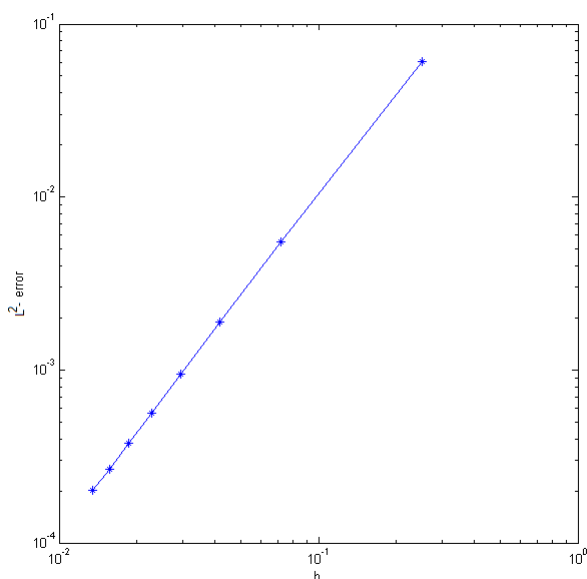
Με ακριβή λύση του προβλήματος (2.3) την συνάρτηση

$$p(x, y, t) = \cos(\sqrt{2}\pi t) \cos(\pi x) \cos(\pi y) \quad (2.44)$$

και με τις αρχικές συνθήκες που προκύπτουν από αυτήν εξετάζουμε την τάξη σύγκλισης ως προς την  $L^2$  νόρμα συγκρίνοντας τα σφάλματα για διάφορα  $h$  τη χρονική στιγμή  $T = 1$ .

Τα αποτελέσματα φαίνονται στον παρακάτω πίνακα και δίνουν την αναμενόμενη τάξη σύγκλισης (2).

| $N$ | $h$             | $\ p - p_h\ _{L^2}$ | $r(p)$ |
|-----|-----------------|---------------------|--------|
| 5   | $2.5000e - 001$ | $6.0480e - 002$     | ---    |
| 15  | $7.1429e - 002$ | $5.5015e - 003$     | 1.9136 |
| 25  | $4.1667e - 002$ | $1.8916e - 003$     | 1.9807 |
| 35  | $2.9412e - 002$ | $9.4602e - 004$     | 1.9894 |
| 45  | $2.2727e - 002$ | $5.6592e - 004$     | 1.9928 |
| 55  | $1.8519e - 002$ | $3.7615e - 004$     | 1.9945 |
| 65  | $1.5625e - 002$ | $2.6798e - 004$     | 1.9956 |
| 75  | $1.3514e - 002$ | $2.0055e - 004$     | 1.9963 |



**Σχήμα 2.27:** Διάγραμμα τάξης σύγκλισης σε λογαριθμική κλίμακα για το πρόβλημα με ομογενείς σ.σ. Neumann

### 2.5.1.3 Πρόβλημα με μικτές συνοριακές συνθήκες

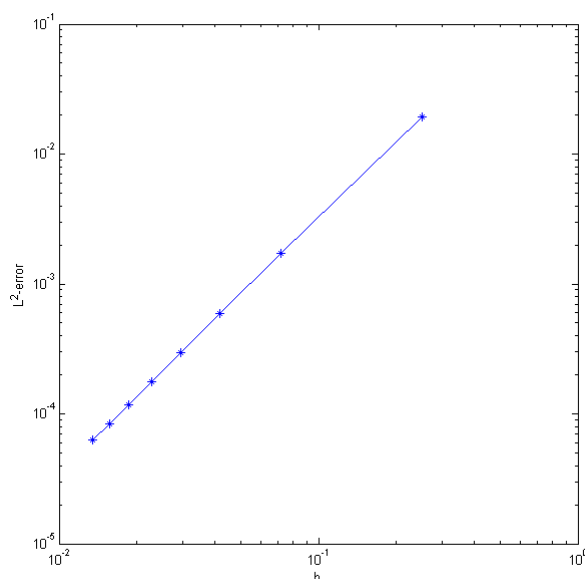
Η ακριβής λύση για το πρόβλημα (2.4) είναι

$$p(x, y, t) = \cos(\sqrt{2}\pi t)x^2 \sin(\pi x) \cos(\pi y), \quad (2.45)$$

## 2. Η ΚΥΜΑΤΙΚΉ ΕΞΊΣΩΣΗ 2ΗΣ ΤΆΞΗΣ

δηλαδή με  $f(x, y, t) = -2 \cos(\sqrt{2}\pi t)(2\pi x \cos(\pi x) + \sin(\pi x)) \cos(\pi y)$  και με τις αρχικές συνθήκες που προκύπτουν από αυτήν η τάξη σύγκλισης ως προς την  $L^2$  νόρμα που προκύπτει από τα αριθμητικά πειράματα είναι δύο.

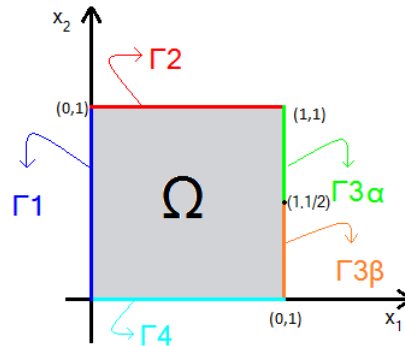
| $N$ | $h$             | $\ p - p_h\ _{L^2}$ | $r(p)$ |
|-----|-----------------|---------------------|--------|
| 5   | $2.5000e - 001$ | $1.9465e - 002$     | ---    |
| 15  | $7.1429e - 002$ | $1.7288e - 003$     | 1.9327 |
| 25  | $4.1667e - 002$ | $5.9338e - 004$     | 1.9839 |
| 35  | $2.9412e - 002$ | $2.9656e - 004$     | 1.9913 |
| 45  | $2.2727e - 002$ | $1.7735e - 004$     | 1.9941 |
| 55  | $1.8519e - 002$ | $1.1785e - 004$     | 1.9956 |
| 65  | $1.5625e - 002$ | $8.3950e - 005$     | 1.9965 |
| 75  | $1.3514e - 002$ | $6.2820e - 005$     | 1.9971 |



**Σχήμα 2.28:** Διάγραμμα τάξης σύγκλισης σε λογαριθμική κλίμακα για το πρόβλημα με μικτές συνοριακές συνθήκες

Σημειωτέον ότι εδώ η λύση είναι εκ κατασκευής  $C^2(\bar{\Omega})$ . Γενικά υπάρχει πρόβλημα στην τάξη σύγκλισης εάν η ακριβή λύση δεν ήταν  $C^2$  και για να το δούμε αυτό θα κάνουμε ένα βοηθητικό πείραμα.

Μικτές σ.σ. με λύση η οποία δεν είναι  $C^2$ . Θεωρούμε το χωρίο  $\Omega = \{(x, y) \in \mathbb{R}^2 : 0 \leq x \leq 1, 0 \leq y \leq 1\}$  και χωρίζουμε το σύνορο του χωρίου στα τμήματα  $\Gamma_1, \Gamma_2, \Gamma_{3\alpha}, \Gamma_{3\beta}$  και  $\Gamma_4$ .



Σχήμα 2.29: Το χωρίο  $\Omega$  με το σύνορό του χωρισμένο σε 5 τμήματα

Στην συνέχεια θεωρούμε το παρακάτω πρόβλημα αρχικών/συνοριακών τιμών:

$$\left\{ \begin{array}{ll} p_{tt} = \Delta p + f & \text{στο } \Omega, \quad 0 \leq t \leq T, \\ p = 0 & \text{στο } \Gamma_1 \cup \Gamma_{3\beta}, \quad 0 \leq t \leq T, \\ \frac{\partial p}{\partial n} = 0 & \text{στο } \Gamma_2 \cup \Gamma_{3\alpha} \cup \Gamma_4, \quad 0 \leq t \leq T, \\ p(x, 0) = p^0(x) & \text{στο } \Omega, \quad t = 0, \\ p_t(x, 0) = p_t^0(x) & \text{στο } \Omega, \quad t = 0, \end{array} \right.$$

Το πρόβλημα δεν αναμένεται να έχει λύση  $p \in C^2(\bar{\Omega})$  λόγω της έλλειψης συμβατότητας στο σημείο  $(1, 1/2)$  του  $\Gamma_3$ . Λύνουμε αριθμητικά το πρόβλημα (με  $f \equiv 0$ ) χρησιμοποιώντας διγραμμικά πεπερασμένα στοιχεία με  $N = 125$ ,  $\beta = 0$ ,  $\Delta t = \frac{2}{9}h$  και αρχικές συνθήκες

$$p^0(x, y) = 15x(x-1)^2 e^{-300(x-1/2)^2} \cos(2\pi y)$$

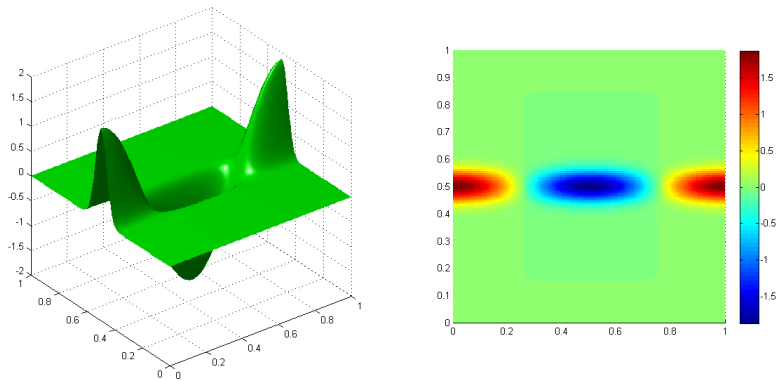
και

$$p_t^0(x, y) = 0.$$

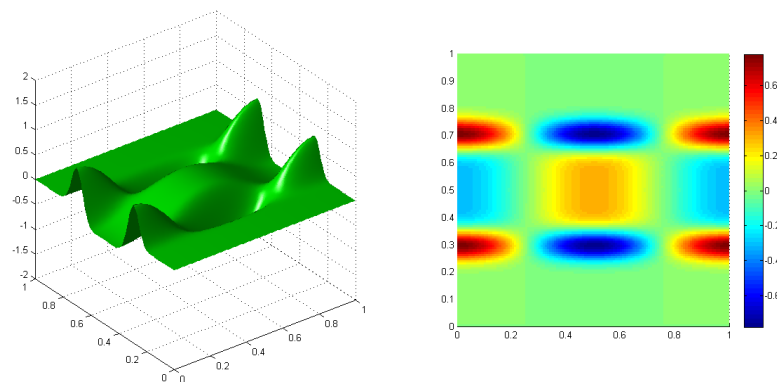
Η εξέλιξη της λύσης φαίνεται στα σχήματα 2.30-2.33.

## 2. Η ΚΥΜΑΤΙΚΉ ΕΞΪΣΩΣΗ 2ΗΣ ΤΆΞΗΣ

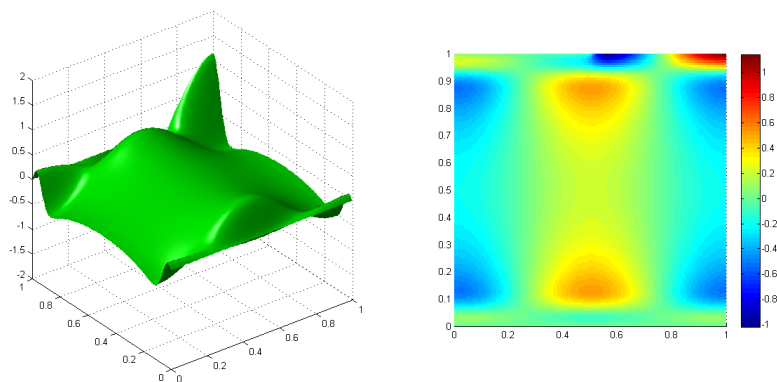
---



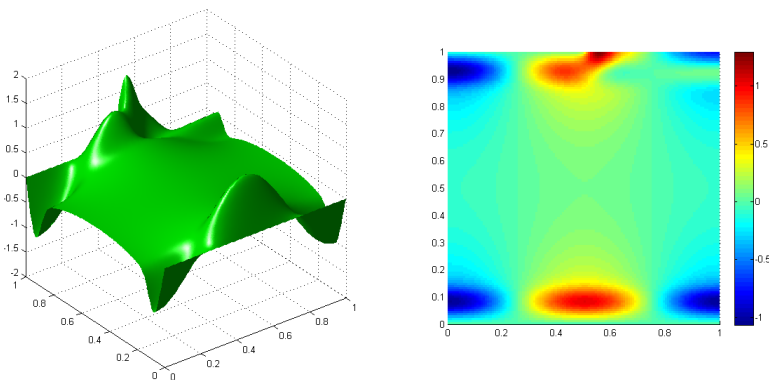
Σχήμα 2.30:  $t = 0$



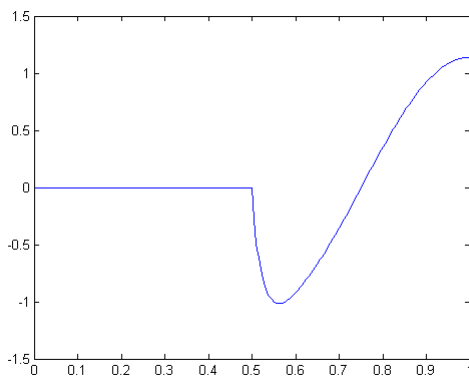
Σχήμα 2.31:  $t = 0.2$



Σχήμα 2.32:  $t = 0.4774$

Σχήμα 2.33:  $t = 0.5663$ 

Θα κάνουμε μία πιο προσεκτική ανάλυση για το τι ακριβώς συμβαίνει σε δύο χρονικές στιγμές,  $t = 0.4774$  και για  $t = 0.5663$ . Για  $t = 0.4774$  το γράφημα της συνάρτησης  $g(y) = p_h(1, y)$ ,  $0 \leq y \leq 1$  φαίνεται στο Σχήμα 2.34.

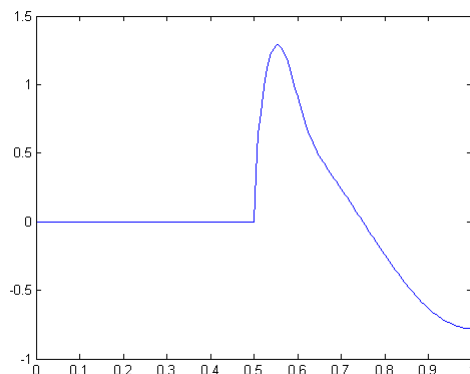
Σχήμα 2.34:  $g(y) = p_h(1, y)$ ,  $0 \leq y \leq 1$  τη χρονική στιγμή  $t = 0.4774$ 

Φαίνεται ότι η λύση δεν έχει συνεχή πρώτη παράγωγο στο  $(1, 0.5)$ . Αριθμητικά έχουμε ότι  $\frac{\partial p_h}{\partial x}(1, 0.5^-) \simeq 0 \neq -55.7929 \simeq \frac{\partial p_h}{\partial x}(1, 0.5^+)$ .

Αντίστοιχα για  $t = 0.5663$  το γράφημα της συνάρτησης  $h(y) = p_h(1, y)$ ,  $0 \leq y \leq 1$  φαίνεται στο Σχήμα 2.35.

## 2. Η ΚΥΜΑΤΙΚΉ ΕΞΪΣΩΣΗ 2ΗΣ ΤΆΞΗΣ

---



**Σχήμα 2.35:**  $h(y) = p_h(1, y)$ ,  $0 \leq y \leq 1$  τη χρονική στιγμή  $t = 0.5663$

Εύκολα παρατηρούμε ότι η λύση δεν έχει συνεχή πρώτη παράγωγο στο  $(1, 0.5)$ . Αριθμητικά έχουμε ότι  $\frac{\partial p_h}{\partial x}(1, 0.5^-) \simeq 0 \neq 71.6015 \simeq \frac{\partial p_h}{\partial x}(1, 0.5^+)$ .

### 2.5.1.4 Πρόβλημα με περιοδικές συνοριακές συνθήκες

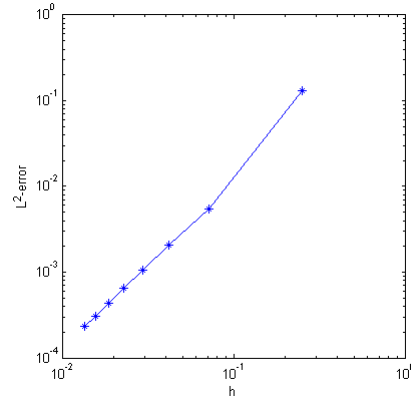
Μια ακριβής λύση για το περιοδικό πρόβλημα (2.5) είναι η συνάρτηση

$$p(x, y, t) = \cos(\sqrt{8}\pi t) \sin(2\pi x) \cos(2\pi y) \quad (2.46)$$

όπου με τις αρχικές συνθήκες που προκύπτουν από αυτήν η τάξη σύγκλισης ως προς την  $L^2$  νόρμα που προκύπτει από τα αριθμητικά πειράματα παρουσιάζεται στον παρακάτω πίνακα και φαίνεται να συγκλίνει στην τιμή 2:

| $N$ | $h$             | $\ p - p_h\ _{L^2}$ | $r(p)$ |
|-----|-----------------|---------------------|--------|
| 5   | $2.5000e - 001$ | $1.2974e - 001$     | ---    |
| 15  | $7.1429e - 002$ | $5.5151e - 003$     | 2.5208 |
| 25  | $4.1667e - 002$ | $2.0769e - 003$     | 1.8118 |
| 35  | $2.9412e - 002$ | $1.0680e - 003$     | 1.9095 |
| 45  | $2.2727e - 002$ | $6.4662e - 004$     | 1.9461 |
| 55  | $1.8519e - 002$ | $4.3252e - 004$     | 1.9635 |
| 65  | $1.5625e - 002$ | $3.0932e - 004$     | 1.9732 |
| 75  | $1.3514e - 002$ | $2.3207e - 004$     | 1.9792 |

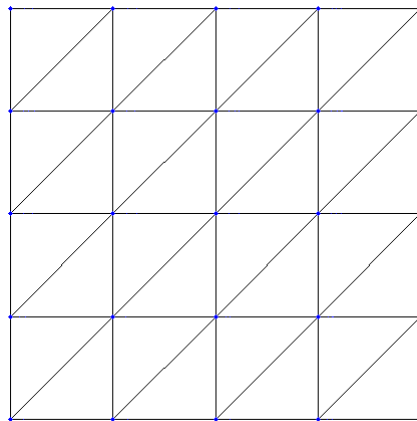




**Σχήμα 2.36:** Διάγραμμα τάξης σύγκλισης σε λογαριθμική κλίμακα για το πρόβλημα με περιοδικές συνοριακές συνθήκες

### 2.5.2 Τάξη σύγκλισης με τριγωνικά πεπερασμένα στοιχεία.

Εφαρμόζουμε την μέθοδο αυτήν την φορά χρησιμοποιώντας ομοιόμορφα τριγωνικά στοιχεία στο χωρίο του σχήματος 2.1. Το πλέγμα των κόμβων προκύπτει όπως και στα διγραμμικά πεπερασμένα στοιχεία παίρνοντας τις υποτείνουσες των τριγώνων έτσι ώστε να σχηματίζουν γωνία  $45^\circ$  με τους άξονες  $x$  και  $y$ . Το αποτέλεσμα θα είναι μία διαμέριση όπως του σχήματος που ακολουθεί.



**Σχήμα 2.37:**  $N = 5$ ,  $h = 1/4$ ,  $N_{el} = 32$

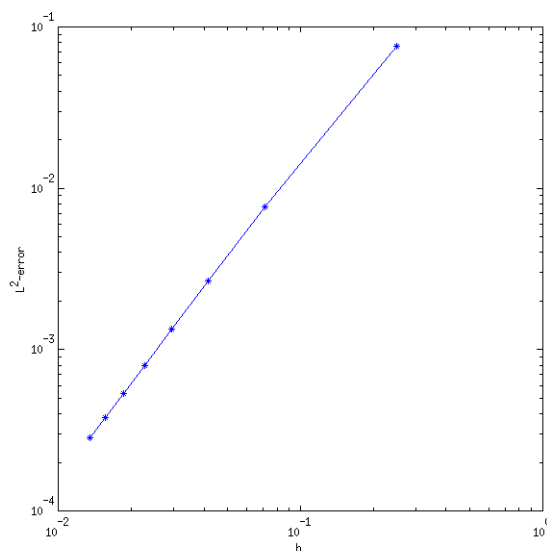
Ως  $h$  παίρνουμε και πάλι το πλάτος του διαμερισμού στην πλευρά του  $\Omega$ , ( $h = \frac{1}{N-1}$ ). Στα αριθμητικά πειράματα που ακολουθούν παίρνουμε και πάλι την παράμετρο  $\beta = 1/12$  καθώς και  $\frac{\Delta t}{h} = 2/5$

## 2. Η ΚΥΜΑΤΙΚΉ ΕΞΊΣΩΣΗ 2ΗΣ ΤΆΞΗΣ

### 2.5.2.1 Πρόβλημα με ομογενείς σ.σ. Dirichlet

Παίρνουμε ως ακριβή λύση την (2.43) και με τις αρχικές συνθήκες που προκύπτουν από αυτήν εξετάζουμε την τάξη σύγκλισης ως προς την  $L^2$  νόρμα συγκρίνοντας τα σφάλματα για διάφορα  $h$  την χρονική στιγμή  $T = 1$ . Τα αποτελέσματα φαίνονται στον παρακάτω πίνακα και δίνουν τάξη σύγκλισης πρακτικά ίση με δύο.

| $N$ | $h$             | $\ p - p_h\ _{L^2}$ | $r(p)$ |
|-----|-----------------|---------------------|--------|
| 5   | $2.5000e - 001$ | $7.6261e - 002$     | ---    |
| 15  | $7.1429e - 002$ | $7.6499e - 003$     | 1.8355 |
| 25  | $4.1667e - 002$ | $2.6565e - 003$     | 1.9623 |
| 35  | $2.9412e - 002$ | $1.3320e - 003$     | 1.9819 |
| 45  | $2.2727e - 002$ | $7.9769e - 004$     | 1.9887 |
| 55  | $1.8519e - 002$ | $5.3047e - 004$     | 1.9920 |
| 65  | $1.5625e - 002$ | $3.7804e - 004$     | 1.9939 |
| 75  | $1.3514e - 002$ | $2.8297e - 004$     | 1.9951 |



**Σχήμα 2.38:** Διάγραμμα τάξης σύγκλισης σε λογαριθμική κλίμακα για το πρόβλημα με ομογενείς σ.σ. Dirichlet

#### Παρατήρηση:

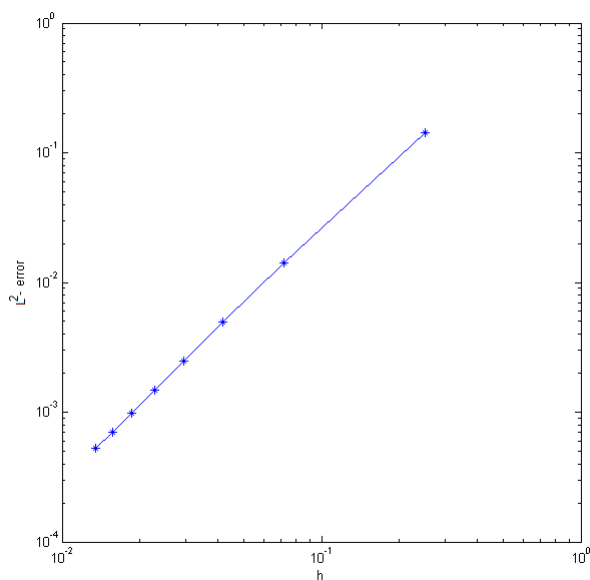
Ο υπολογισμός των σφαλμάτων στην περίπτωση των τριγωνικών πεπερασμένων γίνεται με

την συνάρτηση `L2NormErr1` από το βιβλίο του Mark S. Gockenbach [G].

### 2.5.2.2 Πρόβλημα με ομογενείς σ.σ. Neumann

Για ακριβής λύση έχουμε την (2.44) και με αρχικές συνθήκες που προκύπτουν από αυτήν η τάξη σύγκλισης ως προς την  $L^2$  νόρμα (την χρονική στιγμή  $T = 1$ ) που προκύπτει από τα πειράματα φαίνεται στο παρακάτω πίνακα και είναι πρακτικά ίση με δύο.

| $N$ | $h$             | $\ p - p_h\ _{L^2}$ | $r(p)$ |
|-----|-----------------|---------------------|--------|
| 5   | $2.5000e - 001$ | $1.4390e - 001$     | ---    |
| 15  | $7.1429e - 002$ | $1.4267e - 002$     | 1.8449 |
| 25  | $4.1667e - 002$ | $4.9502e - 003$     | 1.9639 |
| 35  | $2.9412e - 002$ | $2.4840e - 003$     | 1.9798 |
| 45  | $2.2727e - 002$ | $1.4886e - 003$     | 1.9857 |
| 55  | $1.8519e - 002$ | $9.9051e - 004$     | 1.9893 |
| 65  | $1.5625e - 002$ | $7.0616e - 004$     | 1.9916 |
| 75  | $1.3514e - 002$ | $5.2873e - 004$     | 1.9931 |



**Σχήμα 2.39:** Διάγραμμα τάξης σύγκλισης σε λογαριθμική κλίμακα για το πρόβλημα με ομογενείς σ.σ. Neumann

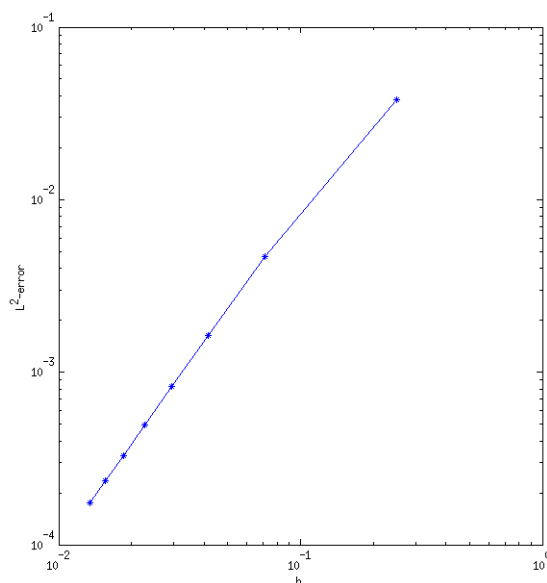
## 2. Η ΚΥΜΑΤΙΚΉ ΕΞΊΣΩΣΗ 2ΗΣ ΤΆΞΗΣ

---

### 2.5.2.3 Πρόβλημα με μικτές συνοριακές συνθήκες

Μια ακριβής λύση του προβλήματος με μικτές συνοριακές συνθήκες είναι η (2.45) και με τις αρχικές συνθήκες που προκύπτουν από αυτήν η πειραματική τάξη σύγκλισης ως προς την  $L^2$  νόρμα (τη χρονική στιγμή  $T = 1$ ) προκύπτει είναι πρακτικά ίση με δύο.

| $N$ | $h$             | $\ p - p_h\ _{L^2}$ | $r(p)$ |
|-----|-----------------|---------------------|--------|
| 5   | $2.5000e - 001$ | $3.8010e - 002$     | ---    |
| 15  | $7.1429e - 002$ | $4.6530e - 003$     | 1.6766 |
| 25  | $4.1667e - 002$ | $1.6415e - 003$     | 1.9330 |
| 35  | $2.9412e - 002$ | $8.2561e - 004$     | 1.9731 |
| 45  | $2.2727e - 002$ | $4.9479e - 004$     | 1.9857 |
| 55  | $1.8519e - 002$ | $3.2910e - 004$     | 1.9912 |
| 65  | $1.5625e - 002$ | $2.3452e - 004$     | 1.9941 |
| 75  | $1.3514e - 002$ | $1.7553e - 004$     | 1.9958 |



**Σχήμα 2.40:** Διάγραμμα τάξης σύγκλισης σε λογαριθμική κλίμακα για το πρόβλημα με μικτές συνοριακές συνθήκες

## Κεφάλαιο 3

# Η κυματική εξίσωση ως υπερβολικό σύστημα 1ης τάξης

Στο κεφάλαιο αυτό θα μελετήσουμε μεθόδους πεπερασμένων στοιχείων για την ακουστική κυματική εξίσωση

$$\begin{cases} p_t + \nabla \cdot \vec{v} = f, \\ \vec{v}_t + \nabla p = 0, \end{cases} \quad (3.1)$$

όπου  $\vec{v} = (u, v)$ .

Θα δούμε ορισμένες συνοριακές συνθήκες για τις οποίες το παραπάνω υπερβολικό σύστημα είναι καλώς τοποθετημένο και θα δούμε πειραματικά ποια είναι η τάξη σύγκλισης των μεθόδων πεπερασμένων στοιχείων για το πρόβλημα αυτό. Είναι γνωστό ότι στην περίπτωση μίας χωρικής διάστασης η τάξη σύγκλισης των συνήθων μεθόδων Galerkin για γενικούς διαμερισμούς είναι 1 ενώ υπάρχουν ορισμένα αποτελέσματα (βλ. π.χ. [D2 ]), που για ομοιόμορφο διαμερισμό και επαρκείς συνθήκες συμβιβαστού στο σύνολο δίνουν τάξη 2.

### 3.1 Το πρόβλημα

Θεωρούμε το σύστημα (3.1) για την ακουστική κυματική εξίσωση. Το σύστημα αυτό είναι ένα υπερβολικό σύστημα 1ης τάξης το οποίο προέρχεται από την ακουστική όπου  $p = p(x, y, t)$  περιγράφει την πίεση και το διανυσματικό πεδίο  $\vec{v} = (u(x, y, t), v(x, y, t))$  περιγράφει την ταχύτητα του ρευστού που υφίσταται ακουστική διαταραχή.

### 3. Η ΚΥΜΑΤΙΚΉ ΕΞΪΣΩΣΗ ΩΣ ΥΠΕΡΒΟΛΙΚΌ ΣΎΣΤΗΜΑ 1ΗΣ ΤΆΞΗΣ

Το σύστημα (3.1) μπορεί να γραφτεί στην παρακάτω μορφή

$$\begin{cases} p_t + u_x + v_y = f, \\ u_t + p_x = 0, \\ v_t + p_y = 0. \end{cases} \quad (3.2)$$

Είναι εύκολο να δούμε ότι η πίεση ικανοποιεί την 2ης τάξης κυματική εξίσωση (2.1).

Πράγματι:

$$p_{tt} \stackrel{(3.2)}{=} -u_{xt} - v_{yt} + f_t = -(-p_{xx}) - (-p_{yy}) + f_t = p_{xx} + p_{yy} + f_t = \Delta p + f_t$$

#### 3.1.1 Αρχικές και συνοριακές συνθήκες

Σε αυτό το σημείο θα εφοδιάσουμε την (3.1) με αρχικές και συνοριακές συνθήκες.

##### 3.1.1.1 Αρχικές συνθήκες

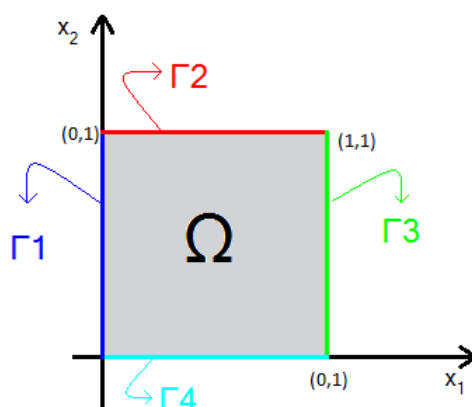
Οι αρχικές συνθήκες για την (3.1) αφορούν την πίεση και θα είναι της μορφής:

- $p|_{t=0}$  Δεδομένο
- $p_t|_{t=0}$  Δεδομένο

Η δεύτερη συνθήκη, επειδή  $p_t|_{t=0} = -\nabla \cdot \vec{v}|_{t=0} + f|_{t=0}$ , θεωρεί συνεπώς ότι τα  $u|_{t=0}$  και  $v|_{t=0}$  είναι δεδομένα.

##### 3.1.1.2 Συνοριακές Συνθήκες

Έστω το χωρίο  $\Omega = \{(x, y) \in \mathbb{R}^2 : 0 \leq x \leq 1, 0 \leq y \leq 1\}$  όπως φαίνεται στο σχήμα 3.1



Σχήμα 3.1: Το χωρίο  $\Omega$

Χωρίσαμε το σύνορο του χωρίου  $\Omega$  σε τέσσερα τμήματα  $\Gamma_1$ ,  $\Gamma_2$ ,  $\Gamma_3$  και  $\Gamma_4$ . Θα θεωρήσουμε τώρα τέσσερις περιπτώσεις συνοριακών συνθηκών:

(I)  $p = 0$  στο  $\partial\Omega$ , για  $0 \leq t \leq T$ .

(II)  $u = 0$  στο  $\Gamma_1 \cup \Gamma_3$  και  $v = 0$  στο  $\Gamma_2 \cup \Gamma_4$ , για  $0 \leq t \leq T$ .

(III)  $p = 0$  στο  $\Gamma_1 \cup \Gamma_3$  και  $v = 0$  στο  $\Gamma_2 \cup \Gamma_4$ , για  $0 \leq t \leq T$ .

(IV)  $p|_{\Gamma_1} = p|_{\Gamma_3}$ ,  $p|_{\Gamma_2} = p|_{\Gamma_4}$  και  $v|_{\Gamma_1} = v|_{\Gamma_3}$ ,  $u|_{\Gamma_2} = u|_{\Gamma_4}$  για  $0 \leq t \leq T$ .

### 3.1.2 Διατήρηση της ενέργειας

Θα πρέπει με κάποιον τρόπο να προσδιορίσουμε εάν τα προβλήματα αρχικών/συνοριακών τιμών που ορίσαμε στις περιπτώσεις (I), (II), (III) και (IV) είναι καλώς τοποθετημένα. Από το πρόβλημα (3.1), για  $f = 0$ , έχουμε ότι:

$$p_t + \nabla \cdot \vec{v} = 0.$$

Πολλαπλασιάζοντας με  $p$  έχουμε:

$$pp_t + p(\nabla \cdot \vec{v}) = 0.$$

Ολοκληρώνουμε στο  $\Omega$  οπότε:

$$\int_{\Omega} pp_t + \int_{\Omega} p(\nabla \cdot \vec{v}) = 0. \quad (3.3)$$

Όμως

$$\int_{\Omega} pp_t = \frac{1}{2} \frac{d}{dt} \left( \int_{\Omega} p^2 \right) \quad (3.4)$$

και λόγω της ιδιότητας

$$\operatorname{div}(p\vec{v}) = p(\nabla \cdot \vec{v}) + \nabla p \cdot \vec{v},$$

έχουμε

$$\int_{\Omega} p(\nabla \cdot \vec{v}) = \int_{\Omega} (\operatorname{div}(p\vec{v}) - \nabla p \cdot \vec{v}). \quad (3.5)$$

Αντικαθιστώντας την (3.4) και (3.5) στην (3.3) έχουμε:

$$\frac{1}{2} \frac{d}{dt} \left( \int_{\Omega} p^2 \right) + \int_{\Omega} (\operatorname{div}(p\vec{v}) - \nabla p \cdot \vec{v}) = 0. \quad (3.6)$$

Θεωρούμε τώρα την δεύτερη εξίσωση του (3.1):

$$\vec{v}_t + \nabla p = 0.$$

### 3. Η ΚΥΜΑΤΙΚΉ ΕΞΊΣΩΣΗ ΩΣ ΥΠΕΡΒΟΛΙΚΌ ΣΎΣΤΗΜΑ 1ΗΣ ΤΆΞΗΣ

---

Παίρνοντας εσωτερικό γινόμενο με το  $\vec{v}$  έχουμε:

$$\vec{v}_t \cdot \vec{v} + \nabla p \cdot \vec{v} = 0.$$

Ολοκληρώνοντας πάνω στο  $\Omega$ :

$$\int_{\Omega} \vec{v}_t \cdot \vec{v} + \int_{\Omega} \nabla p \cdot \vec{v} = 0. \quad (3.7)$$

Όμως και πάλι

$$\int_{\Omega} \vec{v}_t \cdot \vec{v} = \frac{1}{2} \frac{d}{dt} \left( \int_{\Omega} |\vec{v}|^2 \right), \quad \text{όπου } |\vec{v}|^2 = \vec{v} \cdot \vec{v}. \quad (3.8)$$

Αντικαθιστώντας την (3.8) στην (3.7) έχουμε:

$$\frac{1}{2} \frac{d}{dt} \left( \int_{\Omega} |\vec{v}|^2 \right) + \int_{\Omega} \nabla p \cdot \vec{v} = 0. \quad (3.9)$$

Προσθέτοντας τώρα κατά μέλη τις (3.6) και (3.9) έχουμε:

$$\frac{1}{2} \frac{d}{dt} \left( \int_{\Omega} p^2 + \int_{\Omega} |\vec{v}|^2 \right) + \int_{\Omega} \operatorname{div}(p\vec{v}) = 0. \quad (3.10)$$

Χρησιμοποιώντας συνεπώς το θεώρημα απόκλισης θα έχουμε:

$$\frac{1}{2} \frac{d}{dt} \left( \int_{\Omega} p^2 + \int_{\Omega} |\vec{v}|^2 \right) + \int_{\partial\Omega} p\vec{v} \cdot \vec{n} = 0, \quad (3.11)$$

όπου  $\vec{n}$  είναι το μοναδιαίο κάθετο εξωτερικό διάνυσμα στο σύνορο του  $\Omega$ .

Ορίζουμε ως ενέργεια  $\mathbb{E}(t)$  την ποσότητα:

$$\mathbb{E}(t) = \int_{\Omega} (p^2 + |\vec{v}|^2),$$

και το  $J$  ως εξής:

$$J = \int_{\partial\Omega} p\vec{v} \cdot \vec{n}.$$

Είναι φανερό ότι για να διατηρείται η ενέργεια θα πρέπει

$$\frac{d}{dt}(\mathbb{E}(t)) = 0,$$

που λόγω της (3.11) σημαίνει ότι πρέπει  $J = 0$ . Αν αναπτύξουμε το  $J$  θα έχουμε:

$$J = - \int_{\Gamma_1} pu + \int_{\Gamma_2} pv + \int_{\Gamma_3} pu - \int_{\Gamma_4} pv. \quad (3.12)$$

Μπορούμε να δούμε ότι υπάρχει μία πληθώρα από συνοριακές συνθήκες για τις  $p$ ,  $u$  και  $v$  για τις οποίες το  $J$  μηδενίζεται. Μεταξύ αυτών είναι προφανώς και οι συνθήκες (I) – (IV).



## 3.2 Μέθοδος Πεπερασμένων Στοιχείων και πειραματική τάξη σύγκλισης

Αφού λοιπόν ορίσαμε τα προβλήματα συνοριακών τιμών (I)–(IV) θα ορίσουμε ποια είναι η μέθοδος πεπερασμένων στοιχείων για κάθε ένα από αυτά τα προβλήματα. Στην συνέχεια θα δούμε πειραματικά ποια είναι η τάξη σύγκλισης για κάθε ένα από τα προβλήματα (I)–(IV).

### 3.2.1 Πρόβλημα αρχικών/συνοριακών τιμών με συνοριακές συνθήκες τύπου (I)

Έστω το πρόβλημα (3.2) εφοδιασμένο με αρχικές/συνθήκες τύπου (I). Έστω επιπλέον  $\psi \in H_0^1(\Omega)$ ,  $\varphi_1 \in H^1(\Omega)$  και  $\varphi_2 \in H^1(\Omega)$  όπου

$$H_0^1(\Omega) = \{v \in H^1(\Omega) : v = 0 \text{ στο } \partial\Omega\}$$

Πολλαπλασιάζουμε την πρώτη εξίσωση της (3.2) με  $\psi$ , την δεύτερη με  $\varphi_1$  και την τρίτη με  $\varphi_2$ , οπότε θα έχουμε:

$$\begin{cases} p_t \psi + u_x \psi + v_y \psi = f \psi, & \forall \psi \in H_0^1(\Omega), \\ u_t \varphi_1 + p_x \varphi_1 = 0, & \forall \varphi_1 \in H^1(\Omega), \\ v_t \varphi_2 + p_y \varphi_2 = 0, & \forall \varphi_2 \in H^1(\Omega). \end{cases}$$

Ολοκληρώνουμε στο  $\Omega$  και έχουμε:

$$\begin{cases} (p_t, \psi) + (u_x, \psi) + (v_y, \psi) = (f, \psi), & \forall \psi \in H_0^1(\Omega), \\ (u_t, \varphi_1) + (p_x, \varphi_1) = 0, & \forall \varphi_1 \in H^1(\Omega), \\ (v_t, \varphi_2) + (p_y, \varphi_2) = 0, & \forall \varphi_2 \in H^1(\Omega), \end{cases} \quad (3.13)$$

όπου  $(f, g) = \int_{\Omega} f(x)g(x)dx$ ,  $x \in \Omega$ .

Έστω τώρα  $S_h$  ένας υπόχωρος πεπερασμένης διάστασης του  $H^1(\Omega)$ ,  $S_h^0$  ένας υπόχωρος πεπερασμένης διάστασης του  $H_0^1(\Omega)$  και  $p_h \in S_h^0$ ,  $u_h, v_h \in S_h$ . Τότε το σύστημα (3.13) διακριτοποιείται:

$$\begin{cases} (p_{h,t}, \psi) + (u_{h,x}, \psi) + (v_{h,y}, \psi) = (f, \psi), & \forall \psi \in S_h^0, \\ (u_{h,t}, \varphi_1) + (p_{h,x}, \varphi_1) = 0, & \forall \varphi_1 \in S_h, \\ (v_{h,t}, \varphi_2) + (p_{h,y}, \varphi_2) = 0, & \forall \varphi_2 \in S_h. \end{cases} \quad (3.14)$$

Αφού όμως  $p_h \in S_h^0$  τότε

$$p_h(x, y, t) = \sum_{i=1}^{N_h} p_i(t) \psi_i(x, y),$$

### 3. Η ΚΥΜΑΤΙΚΉ ΕΞΊΣΩΣΗ ΩΣ ΥΠΕΡΒΟΛΙΚΌ ΣΎΣΤΗΜΑ 1ΗΣ ΤΆΞΗΣ

όπου  $N_h = \dim(S_h^0)$  και  $\{\psi_i\}_{i=1}^{N_h}$  μία βάση του  $S_h^0$ . Αντίστοιχα αφού  $u_h, v_h \in S_h$  τότε

$$u_h(x, y, t) = \sum_{i=1}^{\hat{N}_h} u_i(t) \varphi_{i,1}(x, y),$$

$$v_h(x, y, t) = \sum_{i=1}^{\hat{N}_h} v_i(t) \varphi_{i,2}(x, y),$$

όπου  $\hat{N}_h = \dim(S_h)$  και  $\{\varphi_{i,1}\}_{i=1}^{\hat{N}_h}, \{\varphi_{i,2}\}_{i=1}^{\hat{N}_h}$  δύο βάσεις (εν γένει διαφορετικές) του  $S_h$ . Αντικαθιστώντας στην (3.14) θα έχουμε:

$$\left\{ \begin{array}{l} \left( \sum_{i=1}^{N_h} \dot{p}_i(t) \psi_i, \psi_j \right) + \left( \sum_{i=1}^{\hat{N}_h} u_i(t) \varphi_{x,i,1}, \psi_j \right) + \left( \sum_{i=1}^{\hat{N}_h} v_i(t) \varphi_{y,i,2}, \psi_j \right) = (f, \psi_j), \quad 1 \leq j \leq N_h, \\ \left( \sum_{i=1}^{\hat{N}_h} \dot{u}_i(t) \varphi_{i,1}, \varphi_{j,1} \right) + \left( \sum_{i=1}^{N_h} p_i(t) \psi_{x,i}, \varphi_{j,1} \right) = 0, \quad 1 \leq j \leq \hat{N}_h, \\ \left( \sum_{i=1}^{\hat{N}_h} \dot{v}_i(t) \varphi_{i,2}, \varphi_{j,2} \right) + \left( \sum_{i=1}^{N_h} p_i(t) \psi_{y,i}, \varphi_{j,2} \right) = 0, \quad 1 \leq j \leq \hat{N}_h. \end{array} \right. \quad (3.15)$$

Ορίζουμε τους πίνακες μάζας:

- $M_1$  με στοιχεία  $(M_1)_{ij} = (\psi_j, \psi_i), \quad 1 \leq i, j \leq N_h$
- $M_2$  με στοιχεία  $(M_2)_{ij} = (\varphi_{j,1}, \varphi_{i,1}), \quad 1 \leq i, j \leq \hat{N}_h$
- $M_3$  με στοιχεία  $(M_3)_{ij} = (\varphi_{j,2}, \varphi_{i,2}), \quad 1 \leq i, j \leq \hat{N}_h$

τους πίνακες 'ακαμψίας':

- $A_{1,x}$  με στοιχεία  $(A_{1,x})_{i,j} = (\varphi_{x,j,1}, \psi_i), \quad 1 \leq i \leq N_h, \quad 1 \leq j \leq \hat{N}_h$
- $A_{2,y}$  με στοιχεία  $(A_{2,y})_{i,j} = (\varphi_{y,j,2}, \psi_i), \quad 1 \leq i \leq N_h, \quad 1 \leq j \leq \hat{N}_h$
- $A_{x,1}$  με στοιχεία  $(A_{x,1})_{i,j} = (\psi_{x,j}, \varphi_{i,1}), \quad 1 \leq j \leq N_h, \quad 1 \leq i \leq \hat{N}_h$
- $A_{y,2}$  με στοιχεία  $(A_{y,2})_{i,j} = (\psi_{y,j}, \varphi_{i,2}), \quad 1 \leq j \leq N_h, \quad 1 \leq i \leq \hat{N}_h$

και το διάνυσμα  $\vec{f}$  με στοιχεία  $f_i = (f, \psi_i) \quad 1 \leq i \leq N_h$ . Οπότε τελικά το ημιδιακριτό σύστημα (3.15) γράφεται στην μορφή:

$$\underbrace{\begin{array}{ccc} N_h & \hat{N}_h & \hat{N}_h \\ N_h & \left( \begin{array}{ccc} M_1 & \mathbb{O} & \mathbb{O} \\ \hat{N}_h & \left( \begin{array}{ccc} \mathbb{O} & M_2 & \mathbb{O} \\ \hat{N}_h & \left( \begin{array}{ccc} \mathbb{O} & \mathbb{O} & M_3 \end{array} \right) \end{array} \right) \end{array} \right)}_A \underbrace{\begin{pmatrix} \dot{p}_h \\ \dot{u}_h \\ \dot{v}_h \end{pmatrix}}_{x(t)} = - \underbrace{\begin{array}{ccc} N_h & \hat{N}_h & \hat{N}_h \\ N_h & \left( \begin{array}{ccc} \mathbb{O} & A_{x,1} & A_{y,2} \\ \hat{N}_h & \left( \begin{array}{ccc} A_{1,x} & \mathbb{O} & \mathbb{O} \\ \hat{N}_h & \left( \begin{array}{ccc} A_{2,y} & \mathbb{O} & \mathbb{O} \end{array} \right) \end{array} \right) \end{array} \right)}_B \underbrace{\begin{pmatrix} p_h \\ u_h \\ v_h \end{pmatrix}}_{x(t)} + \underbrace{\begin{pmatrix} \vec{f} \\ \mathbb{O} \\ \mathbb{O} \end{pmatrix}}_{F(t)}$$

## 3.2 Μέθοδος Πεπερασμένων Στοιχείων και πειραματική τάξη σύγκλισης

Επομένως έχουμε πλέον να λύσουμε ένα πρόβλημα αρχικών τιμών για  $x = x(t) \in \mathbb{R}^{N_h + \hat{N}_h + \hat{N}_h}$  της μορφής:

$$\begin{cases} Ax_t(t) = Bx(t) + F(t), \\ x(0) = x^0, \text{ δεδομένο.} \end{cases} \quad (3.16)$$

Για να λύσουμε το πρόβλημα αρχικών τιμών (3.16) θα χρησιμοποιήσουμε μία μέθοδο Runge – Kutta 3ης τάξης ακρίβειας, τη μέθοδο Shu-Osher [SO].

### 3.2.1.1 Μέθοδος Shu-Osher

Έστω το πρόβλημα αρχικών τιμών:

$$\begin{cases} y'(t) = f(t, y), \\ y(0) = y^0, \text{ δεδομένο.} \end{cases}$$

Έστω χρονικό βήμα  $k = \Delta t$ ,  $t^n = nk$  και  $y^n \simeq y(t^n)$ . Η μέθοδος Shu-Osher είναι:

$$\begin{cases} Y^{n,1} = y^n + kf(y^n, t^n), \\ Y^{n,2} = \frac{3}{4}y^n + \frac{1}{4}Y^{n,1} + \frac{k}{4}f(Y^{n,1}, t^n + k), \\ y^{n+1} = \frac{1}{3}y^n + \frac{2}{3}Y^{n,2} + \frac{2k}{3}f(Y^{n,2}, t^n + k/2), \\ y^0, \text{ δεδομένο.} \end{cases}$$

Εφαρμόζουμε την μέθοδο στο πρόβλημα (3.16) και έχουμε:

$$\begin{cases} Ax^{n,1} = Ax^n + k(Bx^n + F(t^n)), \\ Ax^{n,2} = \frac{3}{4}Ax^n + \frac{1}{4}Ax^{n,1} + \frac{k}{4}(Bx^{n,1} + F(t^n + k)), \\ Ax^{n+1} = \frac{1}{3}Ax^n + \frac{2}{3}Ax^{n,2} + \frac{2k}{3}(Bx^{n,2} + F(t^n + \frac{k}{2})), \\ x^0, \text{ δεδομένο.} \end{cases} \quad (3.17)$$

Η πλήρως διακριτή μέθοδος που θα χρησιμοποιήσουμε στη συνέχεια είναι η (3.17).

### 3.2.1.2 Πειράματα για την τάξη σύγκλισης

Θα κάνουμε τώρα αριθμητικά πειράματα για την τάξη σύγκλισης χρησιμοποιώντας διγραμμικά πεπερασμένα στοιχεία και τριγωνικά πεπερασμένα στοιχεία και χρονικό βήμα που ικανοποιεί την συνθήκη  $\frac{\Delta t}{h} = 0.1$ .

### 3. Η ΚΥΜΑΤΙΚΉ ΕΞΊΣΩΣΗ ΩΣ ΥΠΕΡΒΟΛΙΚΉ ΣΎΣΤΗΜΑ 1ΗΣ ΤΆΞΗΣ

Ως ακριβή λύση του προβλήματος αρχικών/συνοριακών τιμών ( $I$ ) παίρνουμε τις συναρτήσεις:

Για την πίεση:

$$p(x, y, t) = \cos(\sqrt{2}\pi t)x \sin(\pi x) \sin(\pi y)$$

για τις δύο συνιστώσες της ταχύτητας:

$$u(x, y, t) = \frac{\sqrt{2}}{2} \sin(\sqrt{2}\pi t) \sin(\pi y) \left( \frac{1}{\pi} \sin(\pi x) + x \cos(\pi x) \right),$$

$$v(x, y, t) = \frac{\sqrt{2}}{2} \sin(\sqrt{2}\pi t)x \sin(\pi x) \cos(\pi y),$$

και

$$f(x, y, t) = -\sqrt{2} \sin(\sqrt{2}\pi t) \cos(\pi x) \sin(\pi y).$$

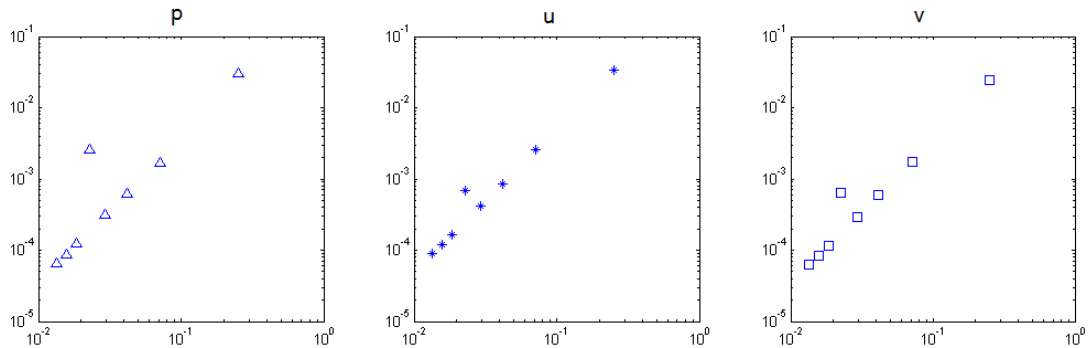
#### (A) Ομοιόμορφος διαμέρισμός με διγραμμικά πεπερασμένα στοιχεία .

Το πρώτο πείραμα που θα κάνουμε είναι με ομοιόμορφο διαμερισμό, όπως ακριβώς κάναμε στη περίπτωση της 2ης τάξης κυματικής εξίσωσης. Ο παρακάτω πίνακας περιλαμβάνει τα αποτελέσματα για την τάξη ακρίβειας ως προς την  $L^2$  νόρμα την χρονική στιγμή  $T = 1$  των  $p$ ,  $u$ , και  $v$ . Θυμίζουμε ότι  $N$  είναι το πλήθος των κόμβων σε κάθε ένα από τους άξονες  $x$  και  $y$  οπότε  $h = \frac{1}{N-1}$ .

| $N$ | $h$             | $\ p - p_h\ _{L^2}$ | $r(p)$  | $\ u - u_h\ _{L^2}$ | $r(u)$  | $\ v - v_h\ _{L^2}$ | $r(v)$  |
|-----|-----------------|---------------------|---------|---------------------|---------|---------------------|---------|
| 5   | $2.5000e - 001$ | $3.0223e - 002$     | ---     | $3.3558e - 002$     | ---     | $2.4436e - 002$     | ---     |
| 15  | $7.1429e - 002$ | $1.7061e - 003$     | 2.2944  | $2.5390e - 003$     | 2.0607  | $1.7442e - 003$     | 2.1071  |
| 25  | $4.1667e - 002$ | $6.1395e - 004$     | 1.8962  | $8.4758e - 004$     | 2.0355  | $5.9367e - 004$     | 1.9996  |
| 35  | $2.9412e - 002$ | $3.0845e - 004$     | 1.9763  | $4.1793e - 004$     | 2.0300  | $2.9597e - 004$     | 1.9984  |
| 45  | $2.2727e - 002$ | $2.5858e - 003$     | -8.2468 | $6.9262e - 004$     | -1.9593 | $6.4451e - 004$     | -3.0183 |
| 55  | $1.8519e - 002$ | $1.2193e - 004$     | 14.9141 | $1.6639e - 004$     | 6.9639  | $1.1741e - 004$     | 8.3148  |
| 65  | $1.5625e - 002$ | $8.7565e - 005$     | 1.9488  | $1.1798e - 004$     | 2.0235  | $8.3564e - 005$     | 2.0015  |
| 75  | $1.3514e - 002$ | $6.5405e - 005$     | 2.0098  | $8.8399e - 005$     | 1.9882  | $6.2543e - 005$     | 1.9958  |

Σε αυτήν την περίπτωση το διάγραμμα για την τάξη σύγκλισης που ακολουθεί θα μας βοηθήσει να ερμηνεύσουμε καλύτερα τα αποτελέσματα που έχουμε από τον παραπάνω πίνακα και να δούμε τι ακριβώς συμβαίνει για  $N = 45$ .

### 3.2 Μέθοδος Πεπερασμένων Στοιχείων και πειραματική τάξη σύγκλισης



**Σχήμα 3.2:** Διάγραμμα τάξης σύγκλισης σε λογαριθμική κλίμακα για το πρόβλημα με συνοριακές συνθήκες τύπου (I)

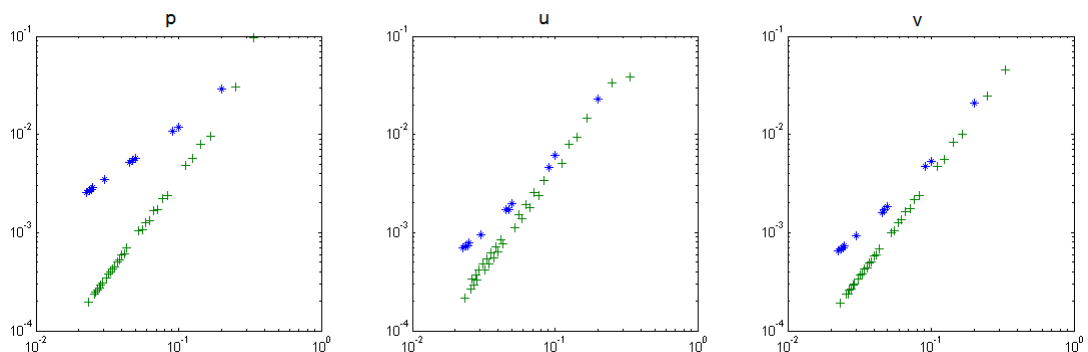
Αυτό που παρατηρούμε είναι ότι όλα τα σφάλματα με εξαίρεση το σφάλμα για  $N = 45$  μας δίνουν τάξη σύγκλισης 2. Τι συμβαίνει όμως για  $N = 45$ ; Για να απαντήσουμε σε αυτό το ερώτημα θα μελετήσουμε τα σφάλματα για όλα τα  $N$  με  $4 \leq N \leq 45$ . Αυτό που παρατηρούμε είναι ότι τα σφάλματα ακολουθούν διαφορετική τάξη ανάλογα με την ακολουθεία των  $N$ . Πιο συγκεκριμένα για την ακολουθεία

$$N_1 = [6 \ 11 \ 12 \ 21 \ 22 \ 23 \ 34 \ 41 \ 42 \ 43 \ 45],$$

η τάξη σύγκλισης είναι ένα ενώ για την ακολουθεία

$$N_2 = [4 \ 5 \ 7 \ 8 \ 9 \ 10 \ 13 \ 14 \ 15 \ 16 \ 17 \ 18 \ 19 \ 20 \ 24 \ 25 \ 26 \ 27 \ 28 \ 29 \ 30 \ 31 \ 32 \ 33 \ 35 \ 36 \ 37 \ 38 \ 39 \ 40 \ 44],$$

η τάξη σύγκλισης είναι διαφορετική. Στα διαγράμματα που ακολουθούν βλέπουμε αυτήν ακριβώς την εικόνα.



**Σχήμα 3.3:** Διάγραμμα τάξης σύγκλισης σε λογαριθμική κλίμακα για το πρόβλημα με συνοριακές συνθήκες τύπου (I) και  $4 \leq N \leq 45$  για διγραμμικά πεπερασμένα στοιχεία. Με μπλέ τα σφάλματα απο το σύνολο  $N_1$  και με πράσινο τα σφάλματα απο το σύνολο  $N_2$

### 3. Η ΚΥΜΑΤΙΚΉ ΕΞΪΣΩΣΗ ΩΣ ΥΠΕΡΒΟΛΙΚΉ ΣΎΣΤΗΜΑ 1ΗΣ ΤΆΞΗΣ

Οι πίνακες που ακολουθούν αντιστοιχούν στα διαγράμματα του σχήματος 3.3. Πρώτα ο πίνακας για την ακολουθία  $N_2$

| $N$ | $h$             | $\ p - p_h\ _{L^2}$ | $r(p)$ | $\ u - u_h\ _{L^2}$ | $r(u)$  | $\ v - v_h\ _{L^2}$ | $r(v)$ |
|-----|-----------------|---------------------|--------|---------------------|---------|---------------------|--------|
| 4   | $3.3333e - 001$ | $9.6101e - 002$     | ---    | $3.8264e - 002$     | ---     | $4.5302e - 002$     | ---    |
| 5   | $2.5000e - 001$ | $3.0223e - 002$     | 4.0211 | $3.3558e - 002$     | 0.4562  | $2.4436e - 002$     | 2.1458 |
| 7   | $1.6667e - 001$ | $9.6299e - 003$     | 2.8208 | $1.4622e - 002$     | 2.0489  | $9.9396e - 003$     | 2.2185 |
| 8   | $1.4286e - 001$ | $7.9208e - 003$     | 1.2675 | $9.3436e - 003$     | 2.9050  | $8.2854e - 003$     | 1.1809 |
| 9   | $1.2500e - 001$ | $5.6922e - 003$     | 2.4743 | $7.9946e - 003$     | 1.1677  | $5.5989e - 003$     | 2.9350 |
| 10  | $1.1111e - 001$ | $4.8610e - 003$     | 1.3402 | $5.0945e - 003$     | 3.8258  | $4.7340e - 003$     | 1.4247 |
| 13  | $8.3333e - 002$ | $2.3888e - 003$     | 2.4696 | $3.4294e - 003$     | 1.3757  | $2.4024e - 003$     | 2.3578 |
| 14  | $7.6923e - 002$ | $2.2261e - 003$     | 0.8812 | $2.3958e - 003$     | 4.4809  | $2.1836e - 003$     | 1.1929 |
| 15  | $7.1429e - 002$ | $1.7061e - 003$     | 3.5902 | $2.5390e - 003$     | -0.7831 | $1.7442e - 003$     | 3.0316 |
| 16  | $6.6667e - 002$ | $1.6541e - 003$     | 0.4481 | $1.7870e - 003$     | 5.0909  | $1.6199e - 003$     | 1.0720 |
| 17  | $6.2500e - 002$ | $1.3077e - 003$     | 3.6419 | $1.9495e - 003$     | -1.3488 | $1.3377e - 003$     | 2.9656 |
| 18  | $5.8824e - 002$ | $1.2717e - 003$     | 0.4602 | $1.3926e - 003$     | 5.5487  | $1.2502e - 003$     | 1.1156 |
| 19  | $5.5556e - 002$ | $1.0648e - 003$     | 3.1060 | $1.5157e - 003$     | -1.4820 | $1.0532e - 003$     | 3.0008 |
| 20  | $5.2632e - 002$ | $1.0323e - 003$     | 0.5733 | $1.1114e - 003$     | 5.7386  | $9.9955e - 004$     | 0.9666 |
| 24  | $4.3478e - 002$ | $6.9633e - 004$     | 2.0609 | $7.5981e - 004$     | 1.9906  | $6.8039e - 004$     | 2.0132 |
| 25  | $4.1667e - 002$ | $6.1395e - 004$     | 2.9583 | $8.4758e - 004$     | -2.5684 | $5.9367e - 004$     | 3.2037 |
| 26  | $4.0000e - 002$ | $5.9049e - 004$     | 0.9542 | $6.4210e - 004$     | 6.8013  | $5.7516e - 004$     | 0.7757 |
| 27  | $3.8462e - 002$ | $5.2429e - 004$     | 3.0318 | $7.2097e - 004$     | -2.9539 | $5.0618e - 004$     | 3.2575 |
| 28  | $3.7037e - 002$ | $5.0090e - 004$     | 1.2096 | $5.5425e - 004$     | 6.9678  | $4.9355e - 004$     | 0.6693 |
| 29  | $3.5714e - 002$ | $4.4980e - 004$     | 2.9585 | $6.2216e - 004$     | -3.1781 | $4.3636e - 004$     | 3.3867 |
| 30  | $3.4483e - 002$ | $4.3097e - 004$     | 1.2189 | $4.8049e - 004$     | 7.3637  | $4.2741e - 004$     | 0.5905 |
| 31  | $3.3333e - 002$ | $3.9768e - 004$     | 2.3710 | $5.3837e - 004$     | -3.3550 | $3.8044e - 004$     | 3.4336 |
| 32  | $3.2258e - 002$ | $3.7459e - 004$     | 1.8248 | $4.2043e - 004$     | 7.5408  | $3.7359e - 004$     | 0.5548 |
| 33  | $3.1250e - 002$ | $3.4596e - 004$     | 2.5042 | $4.7415e - 004$     | -3.7876 | $3.3430e - 004$     | 3.5000 |
| 35  | $2.9412e - 002$ | $3.0845e - 004$     | 1.8930 | $4.1793e - 004$     | 2.0818  | $2.9597e - 004$     | 2.0084 |
| 36  | $2.8571e - 002$ | $2.9251e - 004$     | 1.8298 | $3.2973e - 004$     | 8.1779  | $2.9256e - 004$     | 0.3998 |
| 37  | $2.7778e - 002$ | $2.7542e - 004$     | 2.1374 | $3.7290e - 004$     | -4.3680 | $2.6380e - 004$     | 3.6731 |
| 38  | $2.7027e - 002$ | $2.6250e - 004$     | 1.7536 | $2.9397e - 004$     | 8.6808  | $2.6152e - 004$     | 0.3177 |
| 39  | $2.6316e - 002$ | $2.4652e - 004$     | 2.3548 | $3.3534e - 004$     | -4.9377 | $2.3684e - 004$     | 3.7168 |
| 40  | $2.5641e - 002$ | $2.3638e - 004$     | 1.6173 | $2.6438e - 004$     | 9.1530  | $2.3514e - 004$     | 0.2780 |
| 44  | $2.3256e - 002$ | $1.9620e - 004$     | 1.9083 | $2.1623e - 004$     | 2.0591  | $1.9333e - 004$     | 2.0048 |

### 3.2 Μέθοδος Πεπερασμένων Στοιχείων και πειραματική τάξη σύγκλισης

Ο πίνακας για την ακολουθία  $N_1$ :

| $N$ | $h$             | $\ p - p_h\ _{L^2}$ | $r(p)$ | $\ u - u_h\ _{L^2}$ | $r(u)$ | $\ v - v_h\ _{L^2}$ | $r(v)$ |
|-----|-----------------|---------------------|--------|---------------------|--------|---------------------|--------|
| 6   | $2.0000e - 001$ | $2.9320e - 002$     | ---    | $2.2945e - 002$     | ---    | $2.0869e - 002$     | ---    |
| 11  | $1.0000e - 001$ | $1.1815e - 002$     | 1.3113 | $6.1147e - 003$     | 1.9078 | $5.3119e - 003$     | 1.9741 |
| 12  | $9.0909e - 002$ | $1.0759e - 002$     | 0.9821 | $4.5856e - 003$     | 3.0194 | $4.6806e - 003$     | 1.3275 |
| 21  | $5.0000e - 002$ | $5.7185e - 003$     | 1.0572 | $1.9855e - 003$     | 1.4001 | $1.8287e - 003$     | 1.5720 |
| 22  | $4.7619e - 002$ | $5.4523e - 003$     | 0.9770 | $1.7261e - 003$     | 2.8703 | $1.7275e - 003$     | 1.1663 |
| 23  | $4.5455e - 002$ | $5.1948e - 003$     | 1.0400 | $1.7219e - 003$     | 0.0514 | $1.5985e - 003$     | 1.6685 |
| 34  | $3.0303e - 002$ | $3.4513e - 003$     | 1.0085 | $9.5884e - 004$     | 1.4440 | $9.3224e - 004$     | 1.3299 |
| 41  | $2.5000e - 002$ | $2.8449e - 003$     | 1.0044 | $7.7771e - 004$     | 1.0884 | $7.2545e - 004$     | 1.3037 |
| 42  | $2.4390e - 002$ | $2.7756e - 003$     | 1.0000 | $7.3729e - 004$     | 2.1615 | $7.0627e - 004$     | 1.0854 |
| 43  | $2.3810e - 002$ | $2.7092e - 003$     | 1.0046 | $7.3266e - 004$     | 0.2614 | $6.8265e - 004$     | 1.4114 |
| 45  | $2.2727e - 002$ | $2.5858e - 003$     | 1.0016 | $6.9262e - 004$     | 1.2080 | $6.4451e - 004$     | 1.2360 |

Συνεπώς για την ακολουθία  $N_1$  φαίνεται να έχουμε  $r(p) = 1$  ενώ τα  $r(u)$  και  $r(v)$ , όπως έδειξαν αριθμητικά πειράματα σε ακόμα πιο λεπτούς διαμερισμούς, σταθεροποιούνται και αυτά στο 1. Απο την άλλη δεν είναι σαφές ποια είναι η τάξη σύγκλισης για την ακολουθία διαμερισμών  $N_2$ . Υπάρχουν όμως υπακολουθίες της  $N_2$  για τις οποίες τα σφάλματα μειώνονται με ρυθμό  $O(h^2)$ , π.χ. για το υποσύνολο  $N_3 = [4\ 9\ 15\ 19\ 25\ 29\ 33\ 37]$  της  $N_2$  έχουμε:

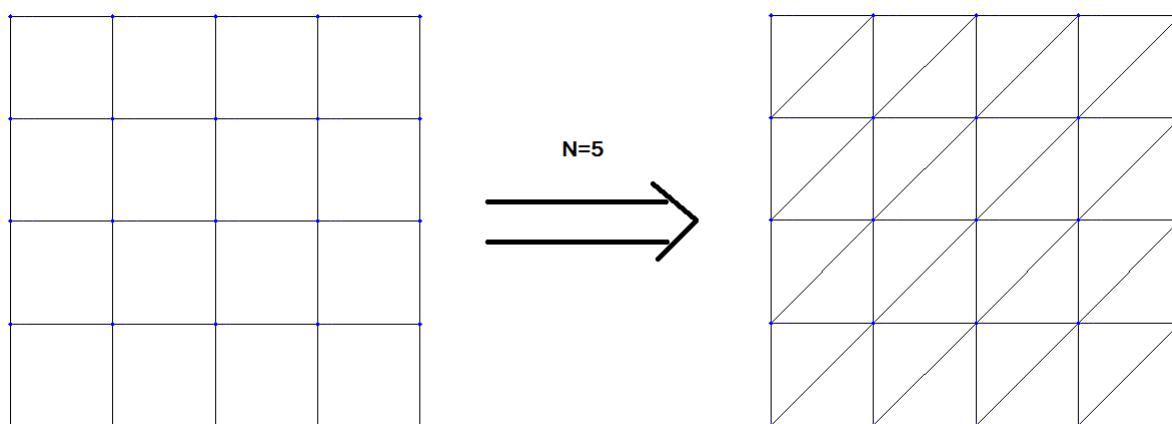
| $N$ | $h$             | $\ p - p_h\ _{L^2}$ | $r(p)$ | $\ u - u_h\ _{L^2}$ | $r(u)$ | $\ v - v_h\ _{L^2}$ | $r(v)$ |
|-----|-----------------|---------------------|--------|---------------------|--------|---------------------|--------|
| 4   | $3.3333e - 001$ | $9.6101e - 002$     | ---    | $3.8264e - 002$     | ---    | $4.5302e - 002$     | ---    |
| 9   | $1.2500e - 001$ | $5.6922e - 003$     | 2.8815 | $7.9946e - 003$     | 1.5963 | $5.5989e - 003$     | 2.1316 |
| 15  | $7.1429e - 002$ | $1.7061e - 003$     | 2.1531 | $2.5390e - 003$     | 2.0496 | $1.7442e - 003$     | 2.0840 |
| 19  | $5.5556e - 002$ | $1.0648e - 003$     | 1.8757 | $1.5157e - 003$     | 2.0527 | $1.0532e - 003$     | 2.0075 |
| 25  | $4.1667e - 002$ | $6.1395e - 004$     | 1.9141 | $8.4758e - 004$     | 2.0205 | $5.9367e - 004$     | 1.9926 |
| 29  | $3.5714e - 002$ | $4.4980e - 004$     | 2.0182 | $6.2216e - 004$     | 2.0057 | $4.3636e - 004$     | 1.9971 |
| 33  | $3.1250e - 002$ | $3.4596e - 004$     | 1.9658 | $4.7415e - 004$     | 2.0345 | $3.3430e - 004$     | 1.9953 |
| 37  | $2.7778e - 002$ | $2.7542e - 004$     | 1.9359 | $3.7290e - 004$     | 2.0395 | $2.6380e - 004$     | 2.0107 |

Το συμπέρασμα που βγάζουμε είναι ότι στη γενική περίπτωση η τάξη σύγκλισης, ως προς την  $L^2$  νόρμα, για την μεταβλητή  $p$  φαίνεται να είναι ίση με 1, αλλά υπάρχουν ακολουθίες διαμερισμών για τις οποίες η τάξη σύγκλισης για την  $p$  είναι ίση με 2. Για την ακολουθία διαμερισμών  $N_2$  η τάξη σύγκλισης, ως προς την  $L^2$  νόρμα, για τις  $u$  και  $v$  είναι επίσης 2. Για την ακολουθία διαμερισμών  $N_1$  η τάξη σύγκλισης, όπως δείχνουν τα αριθμητικά πειράματα τα οποία πραγματοποιήσαμε σε ακόμη λεπτότερους διαμερισμούς, σταθεροποιείται στο 1 και για τις  $u$  και  $v$ .

### 3. Η ΚΥΜΑΤΙΚΉ ΕΞΊΣΩΣΗ ΩΣ ΥΠΕΡΒΟΛΙΚΌ ΣΎΣΤΗΜΑ 1ΗΣ ΤΆΞΗΣ

(B) Ομοιόμορφος διαμερισμός με γραμμικά πολυώνυμα σε τρίγωνα .

Την ίδια εικόνα θα πάρουμε όταν χρησιμοποιήσουμε τριγωνικά πεπερασμένα στοιχεία. Πιο συγκεκριμένα οι διαμερισμοί θα είναι οι ίδιοι με τα διγραμμικά πεπερασμένα στοιχεία ως προς τους κόμβους. Στο σχήμα που ακολουθεί βλέπουμε την αντιστοιχία του ομοιόμορφου διαμερισμού στα διγραμμικά πεπερασμένα στοιχεία σε σχέση με αυτόν ενός τριγωνισμού για  $N = 5$ .



**Σχήμα 3.4:** Ο διαμερισμός για διγραμμικά πεπερασμένα στοιχεία και ο αντίστοιχος για τρίγωνα για  $N = 5$ . Προφανώς και στις δύο περιπτώσεις  $h = \frac{1}{N-1}$

Πραγματοποιούμε λοιπόν ξανά το πείραμα για τις ακολουθίες διαμερισμών  $N_1$  και  $N_2$  αυτήν τη φορά με τριγωνικά πεπερασμένα στοιχεία παίρνοντας ως ακριβή λύση για την πίεση

$$p(x, y, t) = \cos(\sqrt{2}\pi t) \sin(\pi x) \sin(\pi y)$$

για τις δύο συνιστώσες της ταχύτητας:

$$u(x, y, t) = \frac{\sqrt{2}}{2} \sin(\sqrt{2}\pi t) \sin(\pi x) \cos(\pi y),$$

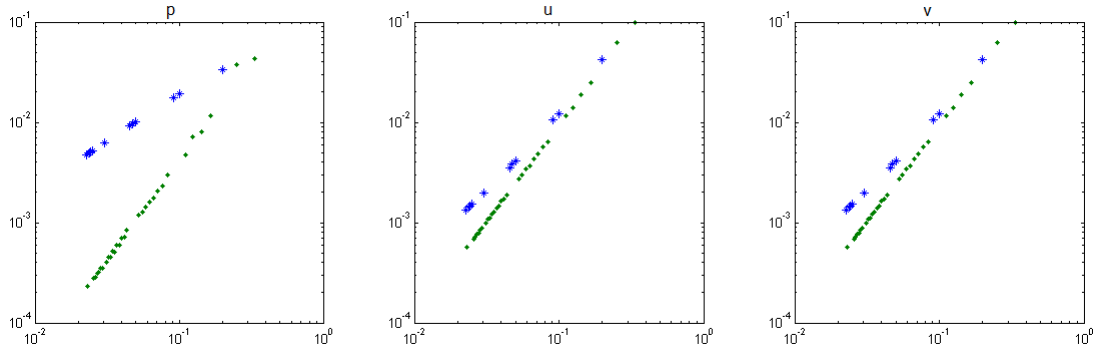
$$v(x, y, t) = \frac{\sqrt{2}}{2} \sin(\sqrt{2}\pi t) \sin(\pi x) \cos(\pi y),$$

παίρνοντας δηλαδή  $f(x, y, t) = 0$ .

Τα αποτελέσματα φαίνονται στο παρακάτω σχήμα.



### 3.2 Μέθοδος Πεπερασμένων Στοιχείων και πειραματική τάξη σύγκλισης



**Σχήμα 3.5:** Διάγραμμα τάξης σύγκλισης για τριγωνικά πεπερασμένα στοιχεία, σε λογαριθμική κλίμακα για το πρόβλημα με συνοριακές συνθήκες τύπου ( $I$ ) και  $4 \leq N \leq 45$ . Με μπλέ τα σφάλματα απο το σύνολο  $N_1$  και με πράσινο τα σφάλματα απο το σύνολο  $N_2$

Θα παραθέσουμε τώρα τους πίνακες με τα σφάλματα ως προς την  $L^2$  νόρμα την χρονική στιγμή  $T = 1$  για το πείραμα σε τριγωνικά πεπερασμένα στοιχεία.

Ο πίνακας για την ακολουθία  $N_1$ :

| $N$ | $h$             | $\ p - p_h\ _{L^2}$ | $r(p)$ | $\ u - u_h\ _{L^2}$ | $r(u)$ | $\ v - v_h\ _{L^2}$ | $r(v)$ |
|-----|-----------------|---------------------|--------|---------------------|--------|---------------------|--------|
| 6   | $2.0000e - 001$ | $3.3627e - 002$     | ---    | $4.2172e - 002$     | ---    | $4.2172e - 002$     | ---    |
| 11  | $1.0000e - 001$ | $1.9206e - 002$     | 0.8081 | $1.2258e - 002$     | 1.7826 | $1.2258e - 002$     | 1.7826 |
| 12  | $9.0909e - 002$ | $1.7495e - 002$     | 0.9786 | $1.0649e - 002$     | 1.4763 | $1.0649e - 002$     | 1.4763 |
| 21  | $5.0000e - 002$ | $1.0119e - 002$     | 0.9159 | $4.0745e - 003$     | 1.6069 | $4.0745e - 003$     | 1.6069 |
| 22  | $4.7619e - 002$ | $9.6620e - 003$     | 0.9471 | $3.8180e - 003$     | 1.3329 | $3.8180e - 003$     | 1.3329 |
| 23  | $4.5455e - 002$ | $9.2461e - 003$     | 0.9459 | $3.5315e - 003$     | 1.6765 | $3.5315e - 003$     | 1.6765 |
| 34  | $3.0303e - 002$ | $6.2733e - 003$     | 0.9567 | $1.9789e - 003$     | 1.4284 | $1.9789e - 003$     | 1.4284 |
| 41  | $2.5000e - 002$ | $5.2064e - 003$     | 0.9690 | $1.5141e - 003$     | 1.3916 | $1.5141e - 003$     | 1.3916 |
| 42  | $2.4390e - 002$ | $5.0831e - 003$     | 0.9707 | $1.4715e - 003$     | 1.1579 | $1.4715e - 003$     | 1.1579 |
| 43  | $2.3810e - 002$ | $4.9653e - 003$     | 0.9732 | $1.4187e - 003$     | 1.5152 | $1.4187e - 003$     | 1.5152 |
| 45  | $2.2727e - 002$ | $4.7455e - 003$     | 0.9733 | $1.3340e - 003$     | 1.3227 | $1.3340e - 003$     | 1.3227 |

### 3. Η ΚΥΜΑΤΙΚΉ ΕΞΪΣΩΣΗ ΩΣ ΥΠΕΡΒΟΛΙΚΉ ΣΎΣΤΗΜΑ 1ΗΣ ΤΆΞΗΣ

Ο πίνακας για την ακολουθία  $N_2$ :

| $N$ | $h$             | $\ p - p_h\ _{L^2}$ | $r(p)$  | $\ u - u_h\ _{L^2}$ | $r(u)$ | $\ v - v_h\ _{L^2}$ | $r(v)$ |
|-----|-----------------|---------------------|---------|---------------------|--------|---------------------|--------|
| 4   | $3.3333e - 001$ | $4.3637e - 002$     | ---     | $9.7921e - 002$     | ---    | $9.7921e - 002$     | ---    |
| 5   | $2.5000e - 001$ | $3.7723e - 002$     | 0.5062  | $6.2630e - 002$     | 1.5535 | $6.2630e - 002$     | 1.5535 |
| 7   | $1.6667e - 001$ | $1.1504e - 002$     | 2.9289  | $2.5119e - 002$     | 2.2533 | $2.5119e - 002$     | 2.2533 |
| 8   | $1.4286e - 001$ | $8.0329e - 003$     | 2.3300  | $1.8703e - 002$     | 1.9134 | $1.8703e - 002$     | 1.9134 |
| 9   | $1.2500e - 001$ | $7.1049e - 003$     | 0.9193  | $1.3866e - 002$     | 2.2409 | $1.3866e - 002$     | 2.2409 |
| 10  | $1.1111e - 001$ | $4.7397e - 003$     | 3.4368  | $1.1538e - 002$     | 1.5600 | $1.1538e - 002$     | 1.5600 |
| 13  | $8.3333e - 002$ | $3.0063e - 003$     | 1.5826  | $6.4052e - 003$     | 2.0459 | $6.4052e - 003$     | 2.0459 |
| 14  | $7.6923e - 002$ | $2.3351e - 003$     | 3.1567  | $5.6925e - 003$     | 1.4738 | $5.6925e - 003$     | 1.4738 |
| 15  | $7.1429e - 002$ | $2.0752e - 003$     | 1.5920  | $4.7907e - 003$     | 2.3275 | $4.7907e - 003$     | 2.3275 |
| 16  | $6.6667e - 002$ | $1.7696e - 003$     | 2.3090  | $4.3315e - 003$     | 1.4602 | $4.3315e - 003$     | 1.4602 |
| 17  | $6.2500e - 002$ | $1.6185e - 003$     | 1.3829  | $3.7140e - 003$     | 2.3833 | $3.7140e - 003$     | 2.3833 |
| 18  | $5.8824e - 002$ | $1.4305e - 003$     | 2.0371  | $3.4035e - 003$     | 1.4400 | $3.4035e - 003$     | 1.4400 |
| 19  | $5.5556e - 002$ | $1.2734e - 003$     | 2.0355  | $2.9673e - 003$     | 2.3993 | $2.9673e - 003$     | 2.3993 |
| 20  | $5.2632e - 002$ | $1.1840e - 003$     | 1.3460  | $2.7461e - 003$     | 1.4328 | $2.7461e - 003$     | 1.4328 |
| 24  | $4.3478e - 002$ | $8.3707e - 004$     | 1.8148  | $1.9013e - 003$     | 1.9244 | $1.9013e - 003$     | 1.9244 |
| 25  | $4.1667e - 002$ | $7.1216e - 004$     | 3.7972  | $1.7143e - 003$     | 2.4321 | $1.7143e - 003$     | 2.4321 |
| 26  | $4.0000e - 002$ | $7.0221e - 004$     | 0.3447  | $1.6218e - 003$     | 1.3589 | $1.6218e - 003$     | 1.3589 |
| 27  | $3.8462e - 002$ | $5.9857e - 004$     | 4.0716  | $1.4723e - 003$     | 2.4666 | $1.4723e - 003$     | 2.4666 |
| 28  | $3.7037e - 002$ | $5.9063e - 004$     | 0.3536  | $1.4017e - 003$     | 1.3025 | $1.4017e - 003$     | 1.3025 |
| 29  | $3.5714e - 002$ | $5.1156e - 004$     | 3.9521  | $1.2780e - 003$     | 2.5405 | $1.2780e - 003$     | 2.5405 |
| 30  | $3.4483e - 002$ | $5.1654e - 004$     | -0.2762 | $1.2207e - 003$     | 1.3069 | $1.2207e - 003$     | 1.3069 |
| 31  | $3.3333e - 002$ | $4.4718e - 004$     | 4.2529  | $1.1185e - 003$     | 2.5772 | $1.1185e - 003$     | 2.5772 |
| 32  | $3.2258e - 002$ | $4.4831e - 004$     | -0.0765 | $1.0743e - 003$     | 1.2302 | $1.0743e - 003$     | 1.2302 |
| 33  | $3.1250e - 002$ | $3.9976e - 004$     | 3.6099  | $9.8627e - 004$     | 2.6936 | $9.8627e - 004$     | 2.6936 |
| 35  | $2.9412e - 002$ | $3.5434e - 004$     | 1.9893  | $8.7792e - 004$     | 1.9196 | $8.7792e - 004$     | 1.9196 |
| 36  | $2.8571e - 002$ | $3.4965e - 004$     | 0.4604  | $8.5085e - 004$     | 1.0806 | $8.5085e - 004$     | 1.0806 |
| 37  | $2.7778e - 002$ | $3.1807e - 004$     | 3.3596  | $7.8618e - 004$     | 2.8058 | $7.8618e - 004$     | 2.8058 |
| 38  | $2.7027e - 002$ | $3.1223e - 004$     | 0.6771  | $7.6481e - 004$     | 1.0059 | $7.6481e - 004$     | 1.0059 |
| 39  | $2.6316e - 002$ | $2.8431e - 004$     | 3.5116  | $7.0887e - 004$     | 2.8484 | $7.0887e - 004$     | 2.8484 |
| 40  | $2.5641e - 002$ | $2.7887e - 004$     | 0.7438  | $6.9155e - 004$     | 0.9518 | $6.9155e - 004$     | 0.9518 |
| 44  | $2.3256e - 002$ | $2.3086e - 004$     | 1.9350  | $5.7288e - 004$     | 1.9282 | $5.7288e - 004$     | 1.9282 |

Συνεπώς για την ακολουθία  $N_1$  φαίνεται να έχουμε  $r(p) = 1$  και πάλι ενώ τα  $r(u)$  και  $r(v)$ , όπως έδειξαν αριθμητικά πειράματα σε ακόμα πιο λεπτούς διαμερισμούς, σταθεροποιού-

### 3.2 Μέθοδος Πεπερασμένων Στοιχείων και πειραματική τάξη σύγκλισης

ύνται και αυτά στο 1. Απο την άλλη δεν είναι και πάλι σαφές ποια είναι η τάξη σύγκλισης για την ακολουθία διαμερισμών  $N_2$ . Υπάρχουν όμως υπακολουθίες της  $N_2$  για τις οποίες τα σφάλματα μειώνονται με ρυθμό  $O(h^2)$ . Αυτό συμβαίνει για παράδειγμα με το υποσύνολο  $N_3 = [4\ 9\ 15\ 19\ 25\ 29\ 33\ 37]$  της  $N_2$  όπου έχουμε:

| $N$ | $h$             | $\ p - p_h\ _{L^2}$ | $r(p)$ | $\ u - u_h\ _{L^2}$ | $r(u)$ | $\ v - v_h\ _{L^2}$ | $r(v)$ |
|-----|-----------------|---------------------|--------|---------------------|--------|---------------------|--------|
| 4   | $3.3333e - 001$ | $4.3637e - 002$     | ---    | $9.7921e - 002$     | ---    | $9.7921e - 002$     | ---    |
| 9   | $1.2500e - 001$ | $7.1049e - 003$     | 1.8506 | $1.3866e - 002$     | 1.9929 | $1.3866e - 002$     | 1.9929 |
| 15  | $7.1429e - 002$ | $2.0752e - 003$     | 2.1992 | $4.7907e - 003$     | 1.8991 | $4.7907e - 003$     | 1.8991 |
| 19  | $5.5556e - 002$ | $1.2734e - 003$     | 1.9434 | $2.9673e - 003$     | 1.9060 | $2.9673e - 003$     | 1.9060 |
| 15  | $4.1667e - 002$ | $7.1216e - 004$     | 2.0200 | $1.7143e - 003$     | 1.9071 | $1.7143e - 003$     | 1.9071 |
| 19  | $3.5714e - 002$ | $5.1156e - 004$     | 2.1462 | $1.2780e - 003$     | 1.9057 | $1.2780e - 003$     | 1.9057 |
| 33  | $3.1250e - 002$ | $3.9976e - 004$     | 1.8467 | $9.8627e - 004$     | 1.9403 | $9.8627e - 004$     | 1.9403 |
| 37  | $2.7778e - 002$ | $3.1807e - 004$     | 1.9408 | $7.8618e - 004$     | 1.9251 | $7.8618e - 004$     | 1.9251 |

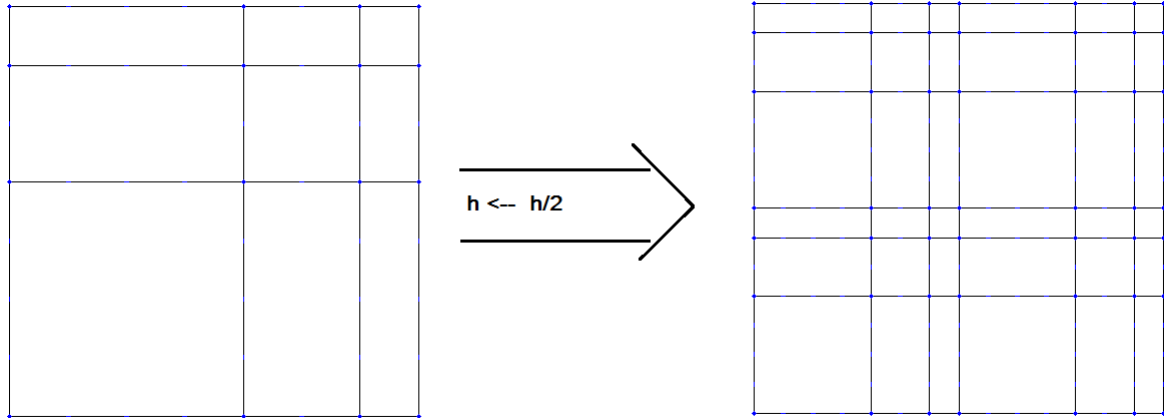
Το συμπέρασμα μας είναι ότι στη περίπτωση τριγωνικών διαμερισμών η τάξη σύγκλισης είναι γενικά 1, αλλά υπάρχουν και ακολουθίες διαμερισμών στις οποίες εμφανίζεται 'υπερ-σύγκλιση' με τάξη ίση με 2.

#### (Γ) Μη-ομοιόμορφος διαμερισμός

Προχωράμε τώρα στην γενική περίπτωση μη-ομοιόμορφων διαμερισμών. Για το πείραμα σε μή ομοιόμορφους διαμερισμούς χρησιμοποιούμε την ακριβή λύση για το μη-ομογενές πρόβλημα την οποία χρησιμοποιήσαμε και στα πειράματα με ομοιόμορφους διαμερισμούς στα διγραμμικά πεπερασμένα στοιχεία (βλ. (Α). )

Ο μη-ομοιόμορφος διαμερισμός που θα χρησιμοποιήσουμε στα πειράματα κατασκευάζεται παίρνοντας σε κάθε άξονα υποδιαστήματα με μήκη  $h, h/2, h/4, h, h/2, h/4, h, \dots$ . Το αρχικό  $h$  που θα χρησιμοποιήσουμε θα πρέπει να ικανοποιεί την σχέση  $h + h/2 + h/4 = 1$  ενώ κάθε εκτέλεση του διαμερισμού γίνεται θέτοντας  $h \leftarrow h/2$ . Έτσι οι δύο πρώτοι διαμερισμοί του  $\Omega$  θα είναι αυτοί του παρακάτω σχήματος:

### 3. Η ΚΥΜΑΤΙΚΉ ΕΞΪΣΩΣΗ ΩΣ ΥΠΕΡΒΟΛΙΚΌ ΣΎΣΤΗΜΑ 1ΗΣ ΤΆΞΗΣ

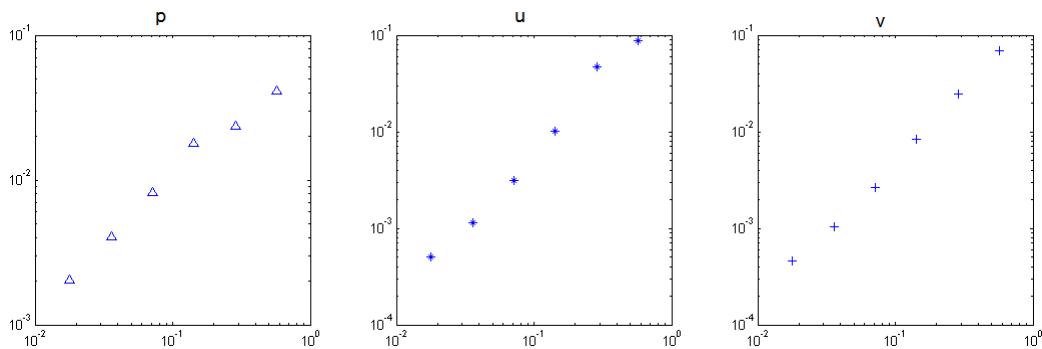


**Σχήμα 3.6:** Οι δύο πρώτοι διαμερισμοί του χωρίου  $\Omega$ .

Κάνοντας εκτέλεση 5 φορές παίρνουμε τον παρακάτω πίνακα για τα σφάλματα και την τάξη σύγκλισης με διγραμμικά πεπερασμένα στοιχεία:

| $h$             | $\ p - p_h\ _{L^2}$ | $r(p)$ | $\ u - u_h\ _{L^2}$ | $r(u)$ | $\ v - v_h\ _{L^2}$ | $r(v)$ |
|-----------------|---------------------|--------|---------------------|--------|---------------------|--------|
| $5.7143e - 001$ | $4.1498e - 002$     | ---    | $8.6966e - 002$     | ---    | $6.8194e - 002$     | ---    |
| $2.8571e - 001$ | $2.3691e - 002$     | 0.8087 | $4.6420e - 002$     | 0.9057 | $2.4771e - 002$     | 1.4610 |
| $1.4286e - 001$ | $1.8065e - 002$     | 0.3911 | $1.0155e - 002$     | 2.1925 | $8.3358e - 003$     | 1.5713 |
| $7.1429e - 002$ | $8.2100e - 003$     | 1.1377 | $3.1025e - 003$     | 1.7107 | $2.6603e - 003$     | 1.6477 |
| $3.5714e - 002$ | $4.0681e - 003$     | 1.0130 | $1.1438e - 003$     | 1.4396 | $1.0482e - 003$     | 1.3436 |
| $1.7857e - 002$ | $2.0311e - 003$     | 1.0021 | $5.0305e - 004$     | 1.1851 | $4.5455e - 004$     | 1.2054 |

Το επόμενο σχήμα περιέχει τα διαγράμματα της τάξης σύγκλισης για τις  $p, u$  και  $v$ .



**Σχήμα 3.7:** Διάγραμμα τάξης σύγκλισης για διγραμμικά πεπερασμένα στοιχεία σε λογαριθμική κλίμακα για το πρόβλημα με συνοριακές συνθήκες τύπου (I) με μή-ομοιόμορφο διαμερισμό.

**(Δ) Συμπεράσματα ως προς τη τάξη σύγκλισης**

Τα αριθμητικά πειράματα με ομοιόμορφο διαμερισμό για την τάξη σύγκλισης ως προς την  $L^2$  νόρμα για τις συναρτήσεις  $p, u$  και  $v$ , δίνουν μερικές φορές τάξη σύγκλισης δύο. Μια πιο προσεκτική μελέτη έδειξε ότι για κάποιους ομοιόμορφους διαμερισμούς η τάξη σύγκλισης γινόταν ένα ενώ για κάποιους άλλους δύο, αυτό μας οδήγησε έμμεσα στο συμπέρασμα ότι μάλλον η τάξη σύγκλισης είναι ένα και για τις τρεις συναρτήσεις  $p, u$  και  $v$ .

Για να σιγουρευτούμε κάναμε πειράματα με μη-ομοιόμορφους διαμερισμούς. Τα πειράματα αυτά επιβεβαίωσαν ότι η τάξη σύγκλισης είναι γενικά ένα.

**3.2.2 Πρόβλημα αρχικών/συνοριακών τιμών με συνοριακές συνθήκες τύπου (II)**

Έστω το πρόβλημα (3.2) εφοδιασμένο με αρχικές/συνθήκες τύπου (II). Έστω επιπλέον  $\psi \in H^1(\Omega)$ ,  $\varphi_1 \in H_u^1(\Omega)$  και  $\varphi_2 \in H_v^1(\Omega)$  όπου

$$H_u^1(\Omega) = \{u \in H^1(\Omega) : u = 0 \text{ στο } \Gamma_1 \cup \Gamma_3\}$$

και

$$H_v^1(\Omega) = \{v \in H^1(\Omega) : v = 0 \text{ στο } \Gamma_2 \cup \Gamma_4\}.$$

Πολλαπλασιάζουμε την πρώτη εξίσωση της (3.2) με  $\psi$ , την δεύτερη με  $\varphi_1$  και την τρίτη με  $\varphi_2$ , οπότε θα έχουμε:

$$\begin{cases} p_t \psi + u_x \psi + v_y \psi = f \psi, & \forall \psi \in H^1(\Omega), \\ u_t \varphi_1 + p_x \varphi_1 = 0, & \forall \varphi_1 \in H_u^1(\Omega), \\ v_t \varphi_2 + p_y \varphi_2 = 0, & \forall \varphi_2 \in H_v^1(\Omega). \end{cases}$$

Ολοκληρώνουμε στο  $\Omega$  και έχουμε:

$$\begin{cases} (p_t, \psi) + (u_x, \psi) + (v_y, \psi) = (f, \psi), & \forall \psi \in H^1(\Omega), \\ (u_t, \varphi_1) + (p_x, \varphi_1) = 0, & \forall \varphi_1 \in H_u^1(\Omega), \\ (v_t, \varphi_2) + (p_y, \varphi_2) = 0, & \forall \varphi_2 \in H_v^1(\Omega). \end{cases} \quad (3.18)$$

Έστω τώρα  $S_h, S_h^u$  και  $S_h^v$  υπόχωροι πεπερασμένης διάστασης των  $H^1(\Omega), H_u^1(\Omega)$  και  $H_v^1(\Omega)$  αντίστοιχα. Εάν τώρα  $p_h \in S_h$ ,  $u_h \in S_h^u$ ,  $v_h \in S_h^v$  τότε το πρόβλημα (3.18) γράφεται:

$$\begin{cases} (p_{h,t}, \psi) + (u_{h,x}, \psi) + (v_{h,y}, \psi) = (f, \psi), & \forall \psi \in S_h, \\ (u_{h,t}, \varphi_1) + (p_{h,x}, \varphi_1) = 0, & \forall \varphi_1 \in S_h^u, \\ (v_{h,t}, \varphi_2) + (p_{h,y}, \varphi_2) = 0, & \forall \varphi_2 \in S_h^v. \end{cases} \quad (3.19)$$

### 3. Η ΚΥΜΑΤΙΚΉ ΕΞΪΣΩΣΗ ΩΣ ΥΠΕΡΒΟΛΙΚΌ ΣΎΣΤΗΜΑ 1ΗΣ ΤΆΞΗΣ

---

Αφού όμως  $p_h \in S_h$ ,  $u_h \in S_h^u$ ,  $v_h \in S_h^v$  τότε

$$p_h(x, y, t) = \sum_{i=1}^{N_h} p_i(t) \psi_i(x, y),$$

όπου  $N_h = \dim(S_h)$  και  $\{\psi_i\}_{i=1}^{N_h}$  μία βάση του  $S_h$ ,

$$u_h(x, y, t) = \sum_{i=1}^{\hat{N}_h} u_i(t) \varphi_{i,1}(x, y),$$

όπου  $\hat{N}_h = \dim(S_h^u)$  και  $\{\varphi_{i,1}\}_{i=1}^{\hat{N}_h}$  μία βάση του  $S_h^u$ ,

$$v_h(x, y, t) = \sum_{i=1}^{\hat{N}_h} v_i(t) \varphi_{i,2}(x, y),$$

όπου  $\hat{N}_h = \dim(S_h^v)$  και  $\{\varphi_{i,2}\}_{i=1}^{\hat{N}_h}$  μία βάση του  $S_h^v$ . Αντικαθιστώντας στην (3.19) θα έχουμε:

$$\left\{ \begin{array}{l} \left( \sum_{i=1}^{N_h} \dot{p}_i(t) \psi_i, \psi_j \right) + \left( \sum_{i=1}^{\hat{N}_h} u_i(t) \varphi_{x,i,1}, \psi_j \right) + \left( \sum_{i=1}^{\hat{N}_h} v_i(t) \varphi_{y,i,2}, \psi_j \right) = (f, \psi_j), \quad 1 \leq j \leq N_h, \\ \left( \sum_{i=1}^{\hat{N}_h} \dot{u}_i(t) \varphi_{i,1}, \varphi_{j,1} \right) + \left( \sum_{i=1}^{N_h} p_i(t) \psi_{x,i}, \varphi_{j,1} \right) = 0, \quad 1 \leq j \leq \hat{N}_h, \\ \left( \sum_{i=1}^{\hat{N}_h} \dot{v}_i(t) \varphi_{i,2}, \varphi_{j,2} \right) + \left( \sum_{i=1}^{N_h} p_i(t) \psi_{y,i}, \varphi_{j,2} \right) = 0, \quad 1 \leq j \leq \hat{N}_h. \end{array} \right. \quad (3.20)$$

Ορίζουμε τους πίνακες μάζας:

- $M_1$  με στοιχεία  $(M_1)_{ij} = (\psi_j, \psi_i)$ ,  $1 \leq i, j \leq N_h$
- $M_2$  με στοιχεία  $(M_2)_{ij} = (\varphi_{j,1}, \varphi_{i,1})$ ,  $1 \leq i, j \leq \hat{N}_h$
- $M_3$  με στοιχεία  $(M_3)_{ij} = (\varphi_{j,2}, \varphi_{i,2})$ ,  $1 \leq i, j \leq \hat{N}_h$

τους πίνακες 'ακαμψίας':

- $A_{1,x}$  με στοιχεία  $(A_{1,x})_{i,j} = (\varphi_{x,j,1}, \psi_i)$ ,  $1 \leq i \leq N_h$ ,  $1 \leq j \leq \hat{N}_h$
- $A_{2,y}$  με στοιχεία  $(A_{2,y})_{i,j} = (\varphi_{y,j,2}, \psi_i)$ ,  $1 \leq i \leq N_h$ ,  $1 \leq j \leq \hat{N}_h$
- $A_{x,1}$  με στοιχεία  $(A_{x,1})_{i,j} = (\psi_{x,j}, \varphi_{i,1})$ ,  $1 \leq j \leq N_h$ ,  $1 \leq i \leq \hat{N}_h$

### 3.2 Μέθοδος Πεπερασμένων Στοιχείων και πειραματική τάξη σύγκλισης

- $A_{y,2}$  με στοιχεία  $(A_{y,2})_{i,j} = (\psi_{y,j}, \varphi_{i,2})$ ,  $1 \leq j \leq N_h$ ,  $1 \leq i \leq \hat{N}_h$

και το διάνυσμα  $\vec{f}$  με στοιχεία  $f_i = (f, \psi_i)$   $1 \leq i \leq N_h$ . Οπότε τελικά το σύστημα (3.20) γράφεται στην μορφή:

$$\underbrace{\begin{pmatrix} N_h & \hat{N}_h & \hat{N}_h \\ M_1 & \mathbb{O} & \mathbb{O} \\ \hat{N}_h & \mathbb{O} & M_2 & \mathbb{O} \\ \hat{N}_h & \mathbb{O} & \mathbb{O} & M_3 \end{pmatrix}}_A \underbrace{\begin{pmatrix} \dot{p}_h \\ \dot{u}_h \\ \dot{v}_h \end{pmatrix}}_{x_t(t)} = - \underbrace{\begin{pmatrix} N_h & \hat{N}_h & \hat{N}_h \\ \mathbb{O} & A_{x,1} & A_{y,2} \\ \hat{N}_h & A_{1,x} & \mathbb{O} & \mathbb{O} \\ \hat{N}_h & A_{2,y} & \mathbb{O} & \mathbb{O} \end{pmatrix}}_B \underbrace{\begin{pmatrix} p_h \\ u_h \\ v_h \end{pmatrix}}_{x(t)} + \underbrace{\begin{pmatrix} \vec{f} \\ \mathbb{O} \\ \mathbb{O} \end{pmatrix}}_{F(t)}$$

Επομένως έχουμε πλέον να λύσουμε το παρακάτω πρόβλημα αρχικών τιμών:

$$\begin{cases} Ax_t(t) = Bx(t) + F(t) \\ x(0) = x^0, \text{ δεδομένο.} \end{cases} \quad (3.21)$$

Για να λύσουμε το πρόβλημα αρχικών τιμών (3.21) θα χρησιμοποιήσουμε τη μέθοδο Shu-Osher, όπως την περιγράψαμε στην ενότητα 3.2.1.1.

#### 3.2.2.1 Πειράματα για την τάξη σύγκλισης

Για ακριβή λύση του προβλήματος αρχικών/συνοριακών τιμών (II) παίρνουμε:

Για την πίεση:

$$p(x, y, t) = \cos(\sqrt{2}\pi t) \cos(\pi x) \cos(\pi y)$$

και για τις δύο συνιστώσες της ταχύτητας:

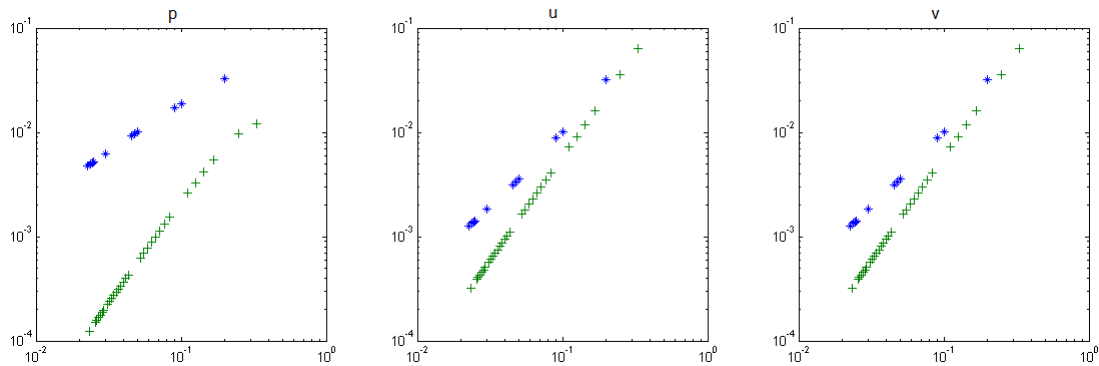
$$u(x, y, t) = -\frac{\sqrt{2}}{2} \sin(\sqrt{2}\pi t) \sin(\pi x) \cos(\pi y)$$

$$v(x, y, t) = -\frac{\sqrt{2}}{2} \sin(\sqrt{2}\pi t) \cos(\pi x) \sin(\pi y)$$

δηλαδή  $f(x, y, t) = 0$ . Τα πειράματα θα γίνουν με χρονικό βήμα που ικανοποιεί την συνθήκη  $\frac{\Delta t}{h} = 0.1$

**(A) Ομοιόμορφος διαμέρισμός με διγραμμικά πεπερασμένα στοιχεία** . Και σε αυτήν την περίπτωση παρατηρούμε το φαινόμενο με την διαφορετική τάξη σύγκλισης ως προς την  $L^2$  νόρμα την χρονική στιγμή  $T = 1$  για τα σύνολα διαμερισμών  $N_1$  και  $N_2$  που ορίσαμε στο πρόβλημα συνοριακών τιμών (I). Στο σχήμα 3.8 παραθέτουμε τα διαγράμματα για την τάξη σύγκλισης .

### 3. Η ΚΥΜΑΤΙΚΉ ΕΞΪΣΩΣΗ ΩΣ ΥΠΕΡΒΟΛΙΚΌ ΣΎΣΤΗΜΑ 1ΗΣ ΤΆΞΗΣ



**Σχήμα 3.8:** Διάγραμμα τάξης σύγκλισης σε λογαριθμική κλίμακα για το πρόβλημα με συνοριακές συνθήκες τύπου (II) και  $4 \leq N \leq 45$  για διγραμμικά πεπερασμένα στοιχεία. Με μπλέ τα σφάλματα απο το σύνολο  $N_1$  και με πράσινο τα σφάλματα απο το σύνολο  $N_2$

Ο παρακάτω πίνακας αφορά την τάξη σύγκλισης ως προς την  $L^2$  νόρμα την χρονική στιγμή  $T = 1$  και τα σφάλματα για το σύνολο  $N_1$  :

| $N$ | $h$             | $\ p - p_h\ _{L^2}$ | $r(p)$ | $\ u - u_h\ _{L^2}$ | $r(u)$ | $\ v - v_h\ _{L^2}$ | $r(v)$ |
|-----|-----------------|---------------------|--------|---------------------|--------|---------------------|--------|
| 6   | $2.0000e - 001$ | $3.2945e - 002$     | ---    | $3.2067e - 002$     | ---    | $3.2067e - 002$     | ---    |
| 11  | $1.0000e - 001$ | $1.8880e - 002$     | 0.8032 | $1.0189e - 002$     | 1.6541 | $1.0189e - 002$     | 1.6541 |
| 12  | $9.0909e - 002$ | $1.7379e - 002$     | 0.8690 | $8.7694e - 003$     | 1.5742 | $8.7694e - 003$     | 1.5742 |
| 21  | $5.0000e - 002$ | $1.0091e - 002$     | 0.9094 | $3.5942e - 003$     | 1.4919 | $3.5942e - 003$     | 1.4919 |
| 22  | $4.7619e - 002$ | $9.6394e - 003$     | 0.9381 | $3.3547e - 003$     | 1.4136 | $3.3547e - 003$     | 1.4136 |
| 23  | $4.5455e - 002$ | $9.2264e - 003$     | 0.9413 | $3.1429e - 003$     | 1.4021 | $3.1429e - 003$     | 1.4021 |
| 34  | $3.0303e - 002$ | $6.2669e - 003$     | 0.9539 | $1.8183e - 003$     | 1.3497 | $1.8183e - 003$     | 1.3497 |
| 41  | $2.5000e - 002$ | $5.2031e - 003$     | 0.9670 | $1.4202e - 003$     | 1.2846 | $1.4202e - 003$     | 1.2846 |
| 42  | $2.4390e - 002$ | $5.0799e - 003$     | 0.9707 | $1.3766e - 003$     | 1.2627 | $1.3766e - 003$     | 1.2627 |
| 43  | $2.3810e - 002$ | $4.9623e - 003$     | 0.9715 | $1.3355e - 003$     | 1.2580 | $1.3355e - 003$     | 1.2580 |
| 45  | $2.2727e - 002$ | $4.7428e - 003$     | 0.9725 | $1.2599e - 003$     | 1.2512 | $1.2599e - 003$     | 1.2512 |

Ο πίνακας που ακολουθεί αφορά τα σφάλματα και την τάξη σύγκλισης ως προς την  $L^2$



### 3.2 Μέθοδος Πεπερασμένων Στοιχείων και πειραματική τάξη σύγκλισης

νόρμα την χρονική στιγμή  $T = 1$  για την ακολουθία διαμερισμών  $N_2$ .

| $N$ | $h$             | $\ p - p_h\ _{L^2}$ | $r(p)$ | $\ u - u_h\ _{L^2}$ | $r(u)$ | $\ v - v_h\ _{L^2}$ | $r(v)$ |
|-----|-----------------|---------------------|--------|---------------------|--------|---------------------|--------|
| 4   | $3.3333e - 001$ | $1.2180e - 002$     | ---    | $6.3125e - 002$     | ---    | $6.3125e - 002$     | ---    |
| 5   | $2.5000e - 001$ | $9.7503e - 003$     | 0.7733 | $3.6039e - 002$     | 1.9484 | $3.6039e - 002$     | 1.9484 |
| 7   | $1.6667e - 001$ | $5.4362e - 003$     | 1.4409 | $1.6198e - 002$     | 1.9723 | $1.6198e - 002$     | 1.9723 |
| 8   | $1.4286e - 001$ | $4.1751e - 003$     | 1.7123 | $1.1929e - 002$     | 1.9847 | $1.1929e - 002$     | 1.9847 |
| 9   | $1.2500e - 001$ | $3.2876e - 003$     | 1.7896 | $9.1468e - 003$     | 1.9887 | $9.1468e - 003$     | 1.9887 |
| 10  | $1.1111e - 001$ | $2.6473e - 003$     | 1.8392 | $7.2345e - 003$     | 1.9913 | $7.2345e - 003$     | 1.9913 |
| 13  | $8.3333e - 002$ | $1.5354e - 003$     | 1.8935 | $4.0761e - 003$     | 1.9943 | $4.0761e - 003$     | 1.9943 |
| 14  | $7.6923e - 002$ | $1.3158e - 003$     | 1.9282 | $3.4742e - 003$     | 1.9962 | $3.4742e - 003$     | 1.9962 |
| 15  | $7.1429e - 002$ | $1.1397e - 003$     | 1.9388 | $2.9963e - 003$     | 1.9968 | $2.9963e - 003$     | 1.9968 |
| 16  | $6.6667e - 002$ | $9.9646e - 004$     | 1.9471 | $2.6106e - 003$     | 1.9973 | $2.6106e - 003$     | 1.9973 |
| 17  | $6.2500e - 002$ | $8.7841e - 004$     | 1.9539 | $2.2948e - 003$     | 1.9977 | $2.2948e - 003$     | 1.9977 |
| 18  | $5.8824e - 002$ | $7.8002e - 004$     | 1.9594 | $2.0330e - 003$     | 1.9980 | $2.0330e - 003$     | 1.9980 |
| 19  | $5.5556e - 002$ | $6.9719e - 004$     | 1.9640 | $1.8136e - 003$     | 1.9982 | $1.8136e - 003$     | 1.9982 |
| 20  | $5.2632e - 002$ | $6.2682e - 004$     | 1.9679 | $1.6278e - 003$     | 1.9984 | $1.6278e - 003$     | 1.9984 |
| 24  | $4.3478e - 002$ | $4.2982e - 004$     | 1.9748 | $1.1111e - 003$     | 1.9988 | $1.1111e - 003$     | 1.9988 |
| 25  | $4.1667e - 002$ | $3.9508e - 004$     | 1.9803 | $1.0205e - 003$     | 1.9991 | $1.0205e - 003$     | 1.9991 |
| 26  | $4.0000e - 002$ | $3.6437e - 004$     | 1.9819 | $9.4052e - 004$     | 1.9992 | $9.4052e - 004$     | 1.9992 |
| 27  | $3.8462e - 002$ | $3.3710e - 004$     | 1.9833 | $8.6959e - 004$     | 1.9993 | $8.6959e - 004$     | 1.9993 |
| 28  | $3.7037e - 002$ | $3.1278e - 004$     | 1.9845 | $8.0638e - 004$     | 1.9993 | $8.0638e - 004$     | 1.9993 |
| 29  | $3.5714e - 002$ | $2.9099e - 004$     | 1.9857 | $7.4983e - 004$     | 1.9994 | $7.4983e - 004$     | 1.9994 |
| 30  | $3.4483e - 002$ | $2.7139e - 004$     | 1.9867 | $6.9902e - 004$     | 1.9995 | $6.9902e - 004$     | 1.9995 |
| 31  | $3.3333e - 002$ | $2.5371e - 004$     | 1.9876 | $6.5321e - 004$     | 1.9995 | $6.5321e - 004$     | 1.9995 |
| 32  | $3.2258e - 002$ | $2.3769e - 004$     | 1.9884 | $6.1176e - 004$     | 1.9995 | $6.1176e - 004$     | 1.9995 |
| 33  | $3.1250e - 002$ | $2.2315e - 004$     | 1.9891 | $5.7413e - 004$     | 1.9996 | $5.7413e - 004$     | 1.9996 |
| 35  | $2.9412e - 002$ | $1.9779e - 004$     | 1.9901 | $5.0858e - 004$     | 1.9996 | $5.0858e - 004$     | 1.9996 |
| 36  | $2.8571e - 002$ | $1.8669e - 004$     | 1.9910 | $4.7994e - 004$     | 1.9997 | $4.7994e - 004$     | 1.9997 |
| 37  | $2.7778e - 002$ | $1.7651e - 004$     | 1.9915 | $4.5365e - 004$     | 1.9997 | $4.5365e - 004$     | 1.9997 |
| 38  | $2.7027e - 002$ | $1.6713e - 004$     | 1.9919 | $4.2946e - 004$     | 1.9997 | $4.2946e - 004$     | 1.9997 |
| 39  | $2.6316e - 002$ | $1.5849e - 004$     | 1.9924 | $4.0716e - 004$     | 1.9997 | $4.0716e - 004$     | 1.9997 |
| 40  | $2.5641e - 002$ | $1.5049e - 004$     | 1.9928 | $3.8655e - 004$     | 1.9998 | $3.8655e - 004$     | 1.9998 |
| 44  | $2.3256e - 002$ | $1.2387e - 004$     | 1.9936 | $3.1798e - 004$     | 1.9998 | $3.1798e - 004$     | 1.9998 |

### 3. Η ΚΥΜΑΤΙΚΉ ΕΞΊΣΩΣΗ ΩΣ ΥΠΕΡΒΟΛΙΚΌ ΣΎΣΤΗΜΑ 1ΗΣ ΤΆΞΗΣ

#### (B) Ομοιόμορφος διαμερισμός με τριγωνικά πεπερασμένα στοιχεία

Θα πραγματοποιήσουμε τώρα το ίδιο πείραμα με ομοιόμορφους διαμερισμούς χρησιμοποιώντας τριγωνικά πεπερασμένα στοιχεία για την ίδια ακριβής λύση που χρησιμοποιήσαμε στα διγραμμικά πεπερασμένα στοιχεία, δηλαδή για την πίεση. Για την πίεση:

$$p(x, y, t) = \cos(\sqrt{2}\pi t) \cos(\pi x) \cos(\pi y)$$

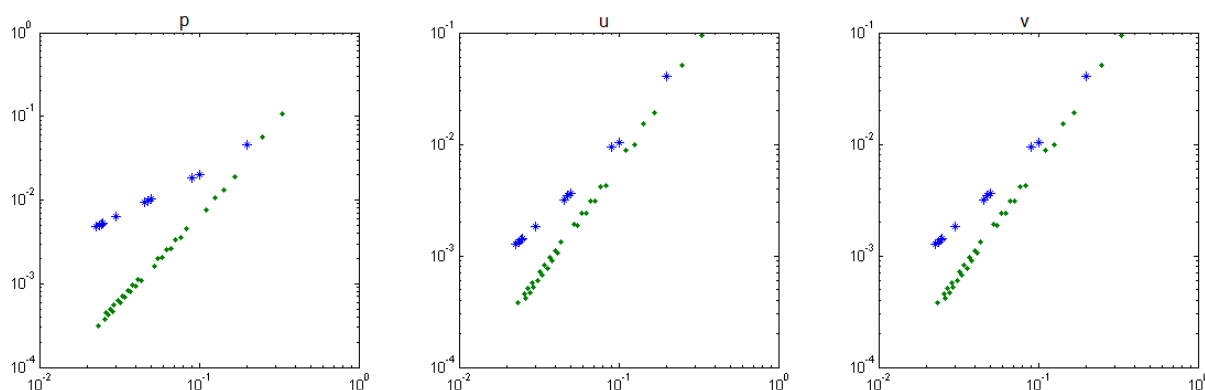
και για τις δύο συνιστώσες της ταχύτητας:

$$u(x, y, t) = -\frac{\sqrt{2}}{2} \sin(\sqrt{2}\pi t) \sin(\pi x) \cos(\pi y)$$

$$v(x, y, t) = -\frac{\sqrt{2}}{2} \sin(\sqrt{2}\pi t) \cos(\pi x) \sin(\pi y)$$

οπότε  $f(x, y, t) = 0$ .

Τα διαγράμματα για την τάξη σύγκλισης ως προς την  $L^2$  νόρμα την χρονική στιγμή  $T = 1$  βρίσκονται στο σχήμα 3.9 που ακολουθεί:



**Σχήμα 3.9:** Διάγραμμα τάξης σύγκλισης για τριγωνικά πεπερασμένα στοιχεία, σε λογαριθμική κλίμακα για το πρόβλημα με συνοριακές συνθήκες τύπου (II) και  $4 \leq N \leq 45$ . Με μπλέ τα σφάλματα από το σύνολο  $N_1$  και με πράσινο τα σφάλματα από το σύνολο  $N_2$

Στο σχήμα 3.9 λοιπόν, όπως και στο πρόβλημα με συνοριακές συνθήκες τύπου (I), παρατηρούμε ότι έχουμε την ίδια συμπεριφορά με τα διγραμμικά πεπερασμένα στοιχεία. Πιο αναλυτικά τα σφάλματα στους πίνακες που ακολουθούν.

### 3.2 Μέθοδος Πεπερασμένων Στοιχείων και πειραματική τάξη σύγκλισης

Ο πίνακας με τα σφάλματα και την τάξη σύγκλισης ως προς την  $L^2$  νόρμα την χρονική στιγμή  $T = 1$  για το σύνολο  $N_2$ :

| $N$ | $h$             | $\ p - p_h\ _{L^2}$ | $r(p)$  | $\ u - u_h\ _{L^2}$ | $r(u)$  | $\ v - v_h\ _{L^2}$ | $r(v)$  |
|-----|-----------------|---------------------|---------|---------------------|---------|---------------------|---------|
| 4   | $3.3333e - 001$ | $1.0572e - 001$     | ---     | $9.3413e - 002$     | ---     | $9.3413e - 002$     | ---     |
| 5   | $2.5000e - 001$ | $5.6305e - 002$     | 2.1900  | $5.1034e - 002$     | 2.1014  | $5.1034e - 002$     | 2.1014  |
| 7   | $1.6667e - 001$ | $1.8671e - 002$     | 2.7224  | $1.9262e - 002$     | 2.4030  | $1.9262e - 002$     | 2.4030  |
| 8   | $1.4286e - 001$ | $1.3319e - 002$     | 2.1912  | $1.5182e - 002$     | 1.5442  | $1.5182e - 002$     | 1.5442  |
| 9   | $1.2500e - 001$ | $1.0518e - 002$     | 1.7680  | $9.9904e - 003$     | 3.1340  | $9.9904e - 003$     | 3.1340  |
| 10  | $1.1111e - 001$ | $7.7042e - 003$     | 2.6431  | $8.8850e - 003$     | 0.9955  | $8.8850e - 003$     | 0.9955  |
| 13  | $8.3333e - 002$ | $4.5362e - 003$     | 1.8412  | $4.2656e - 003$     | 2.5507  | $4.2656e - 003$     | 2.5507  |
| 14  | $7.6923e - 002$ | $3.5442e - 003$     | 3.0832  | $4.1520e - 003$     | 0.3371  | $4.1520e - 003$     | 0.3371  |
| 15  | $7.1429e - 002$ | $3.3168e - 003$     | 0.8948  | $3.1133e - 003$     | 3.8849  | $3.1133e - 003$     | 3.8849  |
| 16  | $6.6667e - 002$ | $2.6345e - 003$     | 3.3379  | $3.1087e - 003$     | 0.0218  | $3.1087e - 003$     | 0.0218  |
| 17  | $6.2500e - 002$ | $2.5328e - 003$     | 0.6100  | $2.3815e - 003$     | 4.1289  | $2.3815e - 003$     | 4.1289  |
| 18  | $5.8824e - 002$ | $2.0367e - 003$     | 3.5957  | $2.4168e - 003$     | -0.2430 | $2.4168e - 003$     | -0.2430 |
| 19  | $5.5556e - 002$ | $1.9991e - 003$     | 0.3263  | $1.8770e - 003$     | 4.4221  | $1.8770e - 003$     | 4.4221  |
| 20  | $5.2632e - 002$ | $1.6219e - 003$     | 3.8675  | $1.9336e - 003$     | -0.5488 | $1.9336e - 003$     | -0.5488 |
| 24  | $4.3478e - 002$ | $1.0992e - 003$     | 2.0362  | $1.3182e - 003$     | 2.0050  | $1.3182e - 003$     | 2.0050  |
| 25  | $4.1667e - 002$ | $1.1227e - 003$     | -0.4967 | $1.0541e - 003$     | 5.2529  | $1.0541e - 003$     | 5.2529  |
| 26  | $4.0000e - 002$ | $9.2807e - 004$     | 4.6632  | $1.1150e - 003$     | -1.3752 | $1.1150e - 003$     | -1.3752 |
| 27  | $3.8462e - 002$ | $9.5644e - 004$     | -0.7677 | $8.9787e - 004$     | 5.5226  | $8.9787e - 004$     | 5.5226  |
| 28  | $3.7037e - 002$ | $7.9414e - 004$     | 4.9273  | $9.5591e - 004$     | -1.6596 | $9.5591e - 004$     | -1.6596 |
| 29  | $3.5714e - 002$ | $8.2452e - 004$     | -1.0322 | $7.7380e - 004$     | 5.8115  | $7.7380e - 004$     | 5.8115  |
| 30  | $3.4483e - 002$ | $6.8733e - 004$     | 5.1861  | $8.2821e - 004$     | -1.9365 | $8.2821e - 004$     | -1.9365 |
| 31  | $3.3333e - 002$ | $7.1820e - 004$     | -1.2959 | $6.7391e - 004$     | 6.0812  | $6.7391e - 004$     | 6.0812  |
| 32  | $3.2258e - 002$ | $6.0071e - 004$     | 5.4478  | $7.2469e - 004$     | -2.2154 | $7.2469e - 004$     | -2.2154 |
| 33  | $3.1250e - 002$ | $6.3116e - 004$     | -1.5573 | $5.9203e - 004$     | 6.3684  | $5.9203e - 004$     | 6.3684  |
| 35  | $2.9412e - 002$ | $5.5905e - 004$     | 2.0012  | $5.2437e - 004$     | 2.0017  | $5.2437e - 004$     | 2.0017  |
| 36  | $2.8571e - 002$ | $4.7033e - 004$     | 5.9614  | $5.6822e - 004$     | -2.7705 | $5.6822e - 004$     | -2.7705 |
| 37  | $2.7778e - 002$ | $4.9862e - 004$     | -2.0737 | $4.6756e - 004$     | 6.9218  | $4.6756e - 004$     | 6.9218  |
| 38  | $2.7027e - 002$ | $4.2054e - 004$     | 6.2159  | $5.0838e - 004$     | -3.0553 | $5.0838e - 004$     | -3.0553 |
| 39  | $2.6316e - 002$ | $4.4749e - 004$     | -2.3295 | $4.1961e - 004$     | 7.1960  | $4.1961e - 004$     | 7.1960  |
| 40  | $2.5641e - 002$ | $3.7826e - 004$     | 6.4702  | $4.5748e - 004$     | -3.3264 | $4.5748e - 004$     | -3.3264 |
| 44  | $2.3256e - 002$ | $3.1084e - 004$     | 2.0108  | $3.7625e - 004$     | 2.0022  | $3.7625e - 004$     | 2.0022  |

### 3. Η ΚΥΜΑΤΙΚΉ ΕΞΊΣΩΣΗ ΩΣ ΥΠΕΡΒΟΛΙΚΉ ΣΎΣΤΗΜΑ 1ΗΣ ΤΆΞΗΣ

Ο αντίστοιχος πίνακας για το σύνολο  $N_1$ :

| $N$ | $h$             | $\ p - p_h\ _{L^2}$ | $r(p)$ | $\ u - u_h\ _{L^2}$ | $r(u)$ | $\ v - v_h\ _{L^2}$ | $r(v)$ |
|-----|-----------------|---------------------|--------|---------------------|--------|---------------------|--------|
| 6   | $2.0000e - 001$ | $4.6354e - 002$     | ---    | $4.0482e - 002$     | ---    | $4.0482e - 002$     | ---    |
| 11  | $1.0000e - 001$ | $2.0163e - 002$     | 1.2009 | $1.0423e - 002$     | 1.9575 | $1.0423e - 002$     | 1.9575 |
| 12  | $9.0909e - 002$ | $1.8212e - 002$     | 1.0678 | $9.3780e - 003$     | 1.1088 | $9.3780e - 003$     | 1.1088 |
| 21  | $5.0000e - 002$ | $1.0222e - 002$     | 0.9661 | $3.6175e - 003$     | 1.5934 | $3.6175e - 003$     | 1.5934 |
| 22  | $4.7619e - 002$ | $9.7319e - 003$     | 1.0064 | $3.4630e - 003$     | 0.8949 | $3.4630e - 003$     | 0.8949 |
| 23  | $4.5455e - 002$ | $9.3229e - 003$     | 0.9229 | $3.1603e - 003$     | 1.9662 | $3.1603e - 003$     | 1.9662 |
| 34  | $3.0303e - 002$ | $6.2883e - 003$     | 0.9712 | $1.8506e - 003$     | 1.3199 | $1.8506e - 003$     | 1.3199 |
| 41  | $2.5000e - 002$ | $5.2179e - 003$     | 0.9700 | $1.4232e - 003$     | 1.3649 | $1.4232e - 003$     | 1.3649 |
| 42  | $2.4390e - 002$ | $5.0906e - 003$     | 0.9998 | $1.3944e - 003$     | 0.8289 | $1.3944e - 003$     | 0.8289 |
| 43  | $2.3810e - 002$ | $4.9750e - 003$     | 0.9532 | $1.3381e - 003$     | 1.7091 | $1.3381e - 003$     | 1.7091 |
| 45  | $2.2727e - 002$ | $4.7538e - 003$     | 0.9777 | $1.2623e - 003$     | 1.2544 | $1.2623e - 003$     | 1.2544 |

Αν χρησιμοποιήσουμε το υποσύνολο  $N_3 \subset N_2$ , ο πίνακας με τα σφάλματα και τη τάξη σύγκλισης ως προς την  $L^2$  νόρμα την χρονική στιγμή  $T = 1$  για το σύνολο  $N_3$  είναι:

| $N$ | $h$             | $\ p - p_h\ _{L^2}$ | $r(p)$ | $\ u - u_h\ _{L^2}$ | $r(u)$ | $\ v - v_h\ _{L^2}$ | $r(v)$ |
|-----|-----------------|---------------------|--------|---------------------|--------|---------------------|--------|
| 4   | $3.3333e - 001$ | $1.0572e - 001$     | ---    | $9.3413e - 002$     | ---    | $9.3413e - 002$     | ---    |
| 9   | $1.2500e - 001$ | $1.0518e - 002$     | 2.3528 | $9.9904e - 003$     | 2.2791 | $9.9904e - 003$     | 2.2791 |
| 15  | $7.1429e - 002$ | $3.3168e - 003$     | 2.0623 | $3.1133e - 003$     | 2.0834 | $3.1133e - 003$     | 2.0834 |
| 19  | $5.5556e - 002$ | $1.9991e - 003$     | 2.0146 | $1.8770e - 003$     | 2.0134 | $1.8770e - 003$     | 2.0134 |
| 15  | $4.1667e - 002$ | $1.1227e - 003$     | 2.0056 | $1.0541e - 003$     | 2.0056 | $1.0541e - 003$     | 2.0056 |
| 19  | $3.5714e - 002$ | $8.2452e - 004$     | 2.0024 | $7.7380e - 004$     | 2.0057 | $7.7380e - 004$     | 2.0057 |
| 33  | $3.1250e - 002$ | $6.3116e - 004$     | 2.0014 | $5.9203e - 004$     | 2.0052 | $5.9203e - 004$     | 2.0052 |
| 37  | $2.7778e - 002$ | $4.9862e - 004$     | 2.0012 | $4.6756e - 004$     | 2.0040 | $4.6756e - 004$     | 2.0040 |

#### (Γ) Μη-ομοιόμορφος διαμερισμός

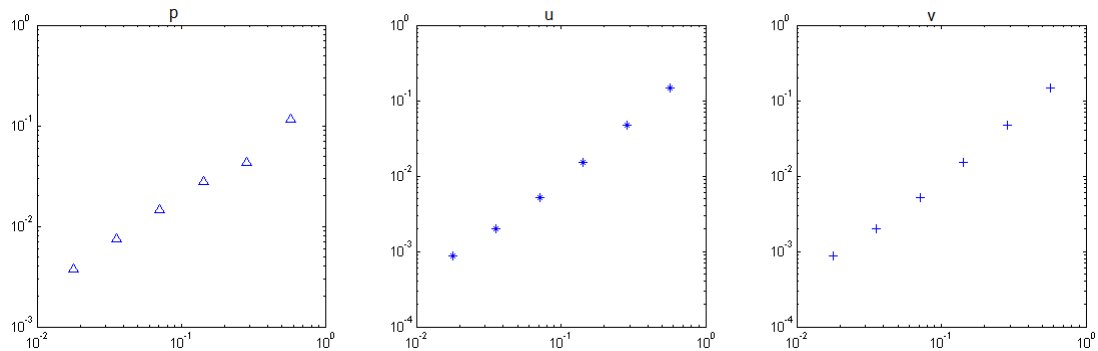
Για να εξάγουμε το τελικό συμπέρασμα για την τάξη σύγκλισης της μεθόδου κάνουμε ξανά το πείραμα με μη-ομοιόμορφους διαμερισμούς. Χρησιμοποιούμε τους ίδιους μη-ομοιόμορφους διαμερισμούς για το χωρίο  $\Omega$  που χρησιμοποιήσαμε στο πρόβλημα με συνοριακές συνθήκες τύπου (I). Ακολουθεί ο πίνακας με τα σφάλματα και την τάξη σύγκλισης

### 3.2 Μέθοδος Πεπερασμένων Στοιχείων και πειραματική τάξη σύγκλισης

ως προς την  $L^2$  νόρμα την χρονική στιγμή  $T = 1$  με μη-ομοιόμορφο διαμερισμό.

| $h$             | $\ p - p_h\ _{L^2}$ | $r(p)$ | $\ u - u_h\ _{L^2}$ | $r(u)$ | $\ v - v_h\ _{L^2}$ | $r(v)$ |
|-----------------|---------------------|--------|---------------------|--------|---------------------|--------|
| $5.7143e - 001$ | $1.1518e - 001$     | ---    | $1.4771e - 001$     | ---    | $1.4771e - 001$     | ---    |
| $2.8571e - 001$ | $4.3465e - 002$     | 1.4060 | $4.7275e - 002$     | 1.6436 | $4.7275e - 002$     | 1.6436 |
| $1.4286e - 001$ | $2.8099e - 002$     | 0.6293 | $1.4975e - 002$     | 1.6584 | $1.4975e - 002$     | 1.6584 |
| $7.1429e - 002$ | $1.4476e - 002$     | 0.9568 | $5.1913e - 003$     | 1.5283 | $5.1913e - 003$     | 1.5283 |
| $3.5714e - 002$ | $7.4476e - 003$     | 0.9588 | $2.0226e - 003$     | 1.3599 | $2.0226e - 003$     | 1.3599 |
| $1.7857e - 002$ | $3.7733e - 003$     | 0.9809 | $8.7646e - 004$     | 1.2064 | $8.7646e - 004$     | 1.2064 |

Ακολουθούν τα διαγράμματα της τάξης σύγκλισης για τις  $p, u$  και  $v$ .



**Σχήμα 3.10:** Διάγραμμα τάξης σύγκλισης για διγραμμικά πεπερασμένα στοιχεία σε λογαριθμική κλίμακα για το πρόβλημα με συνοριακές συνθήκες τύπου (II) με μη-ομοιόμορφο διαμερισμό.

#### (Δ) Συμπεράσματα ως προς τη τάξη σύγκλισης

Στο πρόβλημα με συνοριακές συνθήκες τύπου (II) δεν παρατηρήσαμε καμία ουσιαστική διαφορά ως προς την τάξη σύγκλισης σε σχέση με το πρόβλημα των συνοριακών συνθηκών τύπου (I). Το τελικό συμπέρασμα προήλθε για άλλη μία φορά χρησιμοποιώντας μη-ομοιόμορφους διαμερισμούς και είναι ότι και πάλι η τάξη σύγκλισης, τόσο για την πίεση  $p$  όσο και για τις συνιστώσες της ταχύτητας  $u$  και  $v$ , ως προς την  $L^2$  νόρμα την χρονική στιγμή  $T = 1$  φαίνεται να πλησιάζει το 1.

#### 3.2.3 Πρόβλημα αρχικών/συνοριακών τιμών με συνοριακές συνθήκες τύπου (III)

Έστω το πρόβλημα (3.2) εφοδιασμένο με αρχικές/συνθήκες τύπου (III) και έστω  $\psi \in H_p^1(\Omega)$ ,  $\varphi_1 \in H^1(\Omega)$  και  $\varphi_2 \in H_v^1(\Omega)$  όπου

$$H_p^1(\Omega) = \{p \in H^1(\Omega) : p = 0 \text{ στο } \Gamma_1 \cup \Gamma_3\}$$

### 3. Η ΚΥΜΑΤΙΚΉ ΕΞΪΣΩΣΗ ΩΣ ΥΠΕΡΒΟΛΙΚΌ ΣΎΣΤΗΜΑ 1ΗΣ ΤΆΞΗΣ

---

και

$$H_v^1(\Omega) = \{v \in H^1(\Omega) : v = 0 \text{ στο } \Gamma_2 \cup \Gamma_4\}.$$

Πολλαπλασιάζουμε την πρώτη εξίσωση της (3.2) με  $\psi$ , την δεύτερη με  $\varphi_1$  και την τρίτη με  $\varphi_2$ , οπότε θα έχουμε:

$$\begin{cases} p_t \psi + u_x \psi + v_y \psi = f \psi, & \forall \psi \in H_p^1(\Omega), \\ u_t \varphi_1 + p_x \varphi_1 = 0, & \forall \varphi_1 \in H^1(\Omega), \\ v_t \varphi_2 + p_y \varphi_2 = 0, & \forall \varphi_2 \in H_v^1(\Omega). \end{cases}$$

Ολοκληρώνουμε στο  $\Omega$  και έχουμε:

$$\begin{cases} (p_t, \psi) + (u_x, \psi) + (v_y, \psi) = (f, \psi), & \forall \psi \in H_p^1(\Omega), \\ (u_t, \varphi_1) + (p_x, \varphi_1) = 0, & \forall \varphi_1 \in H^1(\Omega), \\ (v_t, \varphi_2) + (p_y, \varphi_2) = 0, & \forall \varphi_2 \in H_v^1(\Omega). \end{cases} \quad (3.22)$$

Έστω τώρα  $S_h^p, S_h$  και  $S_h^v$  υπόχωροι πεπερασμένης διάστασης των  $H_p^1(\Omega), H^1(\Omega)$  και  $H_v^1(\Omega)$  αντίστοιχα. Εάν τώρα  $p_h \in S_h^p$ ,  $u_h \in S_h$ ,  $v_h \in S_h^v$  τότε το πρόβλημα (3.22) γράφεται:

$$\begin{cases} (p_{h,t}, \psi) + (u_{h,x}, \psi) + (v_{h,y}, \psi) = (f, \psi), & \forall \psi \in S_h^p, \\ (u_{h,t}, \varphi_1) + (p_{h,x}, \varphi_1) = 0, & \forall \varphi_1 \in S_h, \\ (v_{h,t}, \varphi_2) + (p_{h,y}, \varphi_2) = 0, & \forall \varphi_2 \in S_h^v. \end{cases} \quad (3.23)$$

Αφού όμως  $p_h \in S_h^p$ ,  $u_h \in S_h$ ,  $v_h \in S_h^v$  τότε

$$p_h(x, y, t) = \sum_{i=1}^{N_h} p_i(t) \psi_i(x, y),$$

όπου  $N_h = \dim(S_h^p)$  και  $\{\psi_i\}_{i=1}^{N_h}$  μία βάση του  $S_h^p$ ,

$$u_h(x, y, t) = \sum_{i=1}^{\hat{N}_h} u_i(t) \varphi_{i,1}(x, y),$$

όπου  $\hat{N}_h = \dim(S_h)$  και  $\{\varphi_{i,1}\}_{i=1}^{\hat{N}_h}$  μία βάση του  $S_h$ ,

$$v_h(x, y, t) = \sum_{i=1}^{\hat{\hat{N}}_h} v_i(t) \varphi_{i,2}(x, y),$$

### 3.2 Μέθοδος Πεπερασμένων Στοιχείων και πειραματική τάξη σύγκλισης

όπου  $\hat{N}_h = \dim(S_h^v)$  και  $\{\varphi_{i,2}\}_{i=1}^{\hat{N}_h}$  μία βάση του  $S_h^v$ . Αντικαθιστώντας στην (3.23) θα έχουμε:

$$\left\{ \begin{array}{l} \left( \sum_{i=1}^{N_h} \dot{p}_i(t) \psi_i, \psi_j \right) + \left( \sum_{i=1}^{\hat{N}_h} u_i(t) \varphi_{x,i,1}, \psi_j \right) + \left( \sum_{i=1}^{\hat{N}_h} v_i(t) \varphi_{y,i,2}, \psi_j \right) = (f, \psi_j), \quad 1 \leq j \leq N_h, \\ \left( \sum_{i=1}^{\hat{N}_h} \dot{u}_i(t) \varphi_{i,1}, \varphi_{j,1} \right) + \left( \sum_{i=1}^{N_h} p_i(t) \psi_{x,i}, \varphi_{j,1} \right) = 0, \quad 1 \leq j \leq \hat{N}_h, \\ \left( \sum_{i=1}^{\hat{N}_h} \dot{v}_i(t) \varphi_{i,2}, \varphi_{j,2} \right) + \left( \sum_{i=1}^{N_h} p_i(t) \psi_{y,i}, \varphi_{j,2} \right) = 0, \quad 1 \leq j \leq \hat{N}_h. \end{array} \right. \quad (3.24)$$

Ορίζουμε τους πίνακες μάζας:

- $M_1$  με στοιχεία  $(M_1)_{ij} = (\psi_j, \psi_i), \quad 1 \leq i, j \leq N_h$
- $M_2$  με στοιχεία  $(M_2)_{ij} = (\varphi_{j,1}, \varphi_{i,1}), \quad 1 \leq i, j \leq \hat{N}_h$
- $M_3$  με στοιχεία  $(M_3)_{ij} = (\varphi_{j,2}, \varphi_{i,2}), \quad 1 \leq i, j \leq \hat{N}_h$

τους πίνακες 'ακαμψίας':

- $A_{1,x}$  με στοιχεία  $(A_{1,x})_{i,j} = (\varphi_{x,j,1}, \psi_i), \quad 1 \leq i \leq N_h, \quad 1 \leq j \leq \hat{N}_h$
- $A_{2,y}$  με στοιχεία  $(A_{2,y})_{i,j} = (\varphi_{y,j,2}, \psi_i), \quad 1 \leq i \leq N_h, \quad 1 \leq j \leq \hat{N}_h$
- $A_{x,1}$  με στοιχεία  $(A_{x,1})_{i,j} = (\psi_{x,j}, \varphi_{i,1}), \quad 1 \leq j \leq N_h, \quad 1 \leq i \leq \hat{N}_h$
- $A_{y,2}$  με στοιχεία  $(A_{y,2})_{i,j} = (\psi_{y,j}, \varphi_{i,2}), \quad 1 \leq j \leq N_h, \quad 1 \leq i \leq \hat{N}_h$

και το διάνυσμα  $\vec{f}$  με στοιχεία  $f_i = (f, \psi_i) \quad 1 \leq i \leq N_h$ . Οπότε τελικά το σύστημα (3.24) γράφεται στην μορφή:

$$\underbrace{\begin{pmatrix} N_h & \hat{N}_h & \hat{N}_h \\ M_1 & \mathbb{O} & \mathbb{O} \\ \mathbb{O} & M_2 & \mathbb{O} \\ \mathbb{O} & \mathbb{O} & M_3 \end{pmatrix}}_A \underbrace{\begin{pmatrix} \dot{p}_h \\ \dot{u}_h \\ \dot{v}_h \end{pmatrix}}_{x_t(t)} = - \underbrace{\begin{pmatrix} N_h & \hat{N}_h & \hat{N}_h \\ \mathbb{O} & A_{x,1} & A_{y,2} \\ A_{1,x} & \mathbb{O} & \mathbb{O} \\ A_{2,y} & \mathbb{O} & \mathbb{O} \end{pmatrix}}_B \underbrace{\begin{pmatrix} p_h \\ u_h \\ v_h \end{pmatrix}}_{x(t)} + \underbrace{\begin{pmatrix} \vec{f} \\ \mathbb{O} \\ \mathbb{O} \end{pmatrix}}_{F(t)}$$

Επομένως έχουμε πλέον να λύσουμε το παρακάτω πρόβλημα αρχικών τιμών:

$$\begin{cases} Ax_t(t) = Bx(t) + F(t), \\ x(0) = x^0, \text{ δεδομένο.} \end{cases} \quad (3.25)$$

Και πάλι θα λύσουμε το πρόβλημα αρχικών τιμών (3.25) με τη μέθοδο Shu-Osher.

### 3. Η ΚΥΜΑΤΙΚΉ ΕΞΊΣΩΣΗ ΩΣ ΥΠΕΡΒΟΛΙΚΌ ΣΎΣΤΗΜΑ 1ΗΣ ΤΆΞΗΣ

#### 3.2.3.1 Πειράματα για την τάξη σύγκλισης

Για ακριβή λύση του προβλήματος αρχικών/συνοριακών τιμών (III) παίρνουμε τις συναρτήσεις:

Για την πίεση:

$$p(x, y, t) = \cos(\sqrt{2}\pi t)x^2 \sin(\pi x) \cos(\pi y)$$

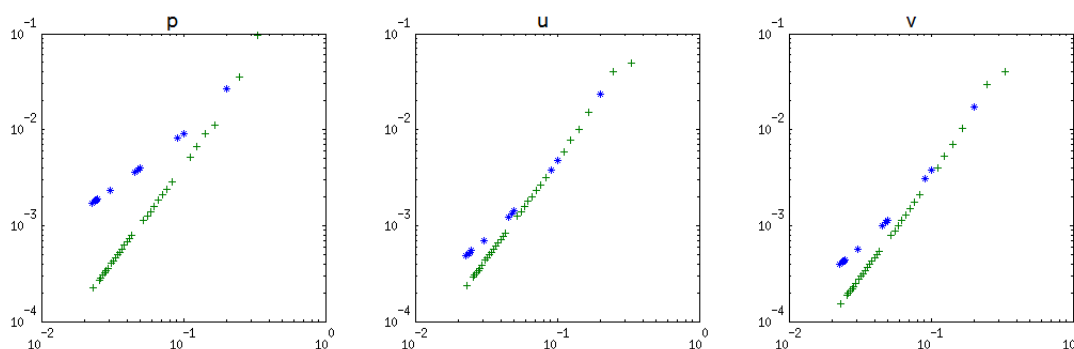
και για τις δύο συνιστώσες της ταχύτητας:

$$u(x, y, t) = \frac{\sqrt{2}}{\pi} \sin(\sqrt{2}\pi t)x \sin(\pi x) \cos(\pi y) + \frac{\sqrt{2}}{2} \sin(\sqrt{2}\pi t)x^2 \cos(\pi x) \cos(\pi y)$$

$$v(x, y, t) = -\frac{\sqrt{2}}{2} \sin(\sqrt{2}\pi t)x^2 \sin(\pi x) \sin(\pi y)$$

οπότε  $f(x, y, t) = -\frac{\sqrt{2}}{\pi} \sin(\sqrt{2}\pi t)(2\pi x \cos(\pi x) + \sin(\pi x)) \cos(\pi y)$  Τα πειράματα θα γίνουν με χρονικό βήμα που ικανοποιεί την συνθήκη  $\frac{\Delta t}{h} = 0.1$

(A) Ομοιόμορφος διαμέρισμός με διγραμμικά πεπερασμένα στοιχεία . Όπως και στα προηγούμενα δύο προβλήματα, έτσι και στο πρόβλημα με συνοριακές συνθήκες τύπου (III) θα παρατηρήσουμε το φαινόμενο της διαφορετικής τάξης σύγκλισης ως προς την  $L^2$  νόρμα την χρονική στιγμή  $T = 1$  για τα σύνολα  $N_1$  και  $N_2$ . Αυτό επιβεβαιώνει και το σχήμα 3.11.



**Σχήμα 3.11:** Διάγραμμα τάξης σύγκλισης σε λογαριθμική κλίμακα για το πρόβλημα με συνοριακές συνθήκες τύπου (III) και  $4 \leq N \leq 45$  για διγραμμικά πεπερασμένα στοιχεία. Με μπλέ τα σφάλματα απο το σύνολο  $N_1$  και με πράσινο τα σφάλματα απο το σύνολο  $N_2$

Ο παρακάτω πίνακας αφορά την τάξη σύγκλισης και τα σφάλματα ως προς την  $L^2$  νόρμα



### 3.2 Μέθοδος Πεπερασμένων Στοιχείων και πειραματική τάξη σύγκλισης

την χρονική στιγμή  $T = 1$  για το σύνολο  $N_2$  :

| $N$ | $h$             | $\ p - p_h\ _{L^2}$ | $r(p)$ | $\ u - u_h\ _{L^2}$ | $r(u)$ | $\ v - v_h\ _{L^2}$ | $r(v)$ |
|-----|-----------------|---------------------|--------|---------------------|--------|---------------------|--------|
| 4   | $3.3333e - 001$ | $9.6245e - 002$     | ---    | $4.9439e - 002$     | ---    | $4.0057e - 002$     | ---    |
| 5   | $2.5000e - 001$ | $3.5199e - 002$     | 3.4965 | $4.0511e - 002$     | 0.6923 | $2.9394e - 002$     | 1.0759 |
| 7   | $1.6667e - 001$ | $1.1182e - 002$     | 2.8281 | $1.5267e - 002$     | 2.4068 | $1.0320e - 002$     | 2.5816 |
| 8   | $1.4286e - 001$ | $9.1712e - 003$     | 1.2862 | $1.0050e - 002$     | 2.7120 | $7.0353e - 003$     | 2.4853 |
| 9   | $1.2500e - 001$ | $6.6634e - 003$     | 2.3922 | $7.7796e - 003$     | 1.9180 | $5.2969e - 003$     | 2.1255 |
| 10  | $1.1111e - 001$ | $5.1657e - 003$     | 2.1616 | $5.8993e - 003$     | 2.3490 | $4.0208e - 003$     | 2.3403 |
| 13  | $8.3333e - 002$ | $2.8682e - 003$     | 2.0452 | $3.1703e - 003$     | 2.1587 | $2.0977e - 003$     | 2.2617 |
| 14  | $7.6923e - 002$ | $2.4090e - 003$     | 2.1796 | $2.6734e - 003$     | 2.1299 | $1.7511e - 003$     | 2.2558 |
| 15  | $7.1429e - 002$ | $2.0730e - 003$     | 2.0269 | $2.2996e - 003$     | 2.0324 | $1.4848e - 003$     | 2.2259 |
| 16  | $6.6667e - 002$ | $1.8237e - 003$     | 1.8576 | $1.9957e - 003$     | 2.0541 | $1.2870e - 003$     | 2.0720 |
| 17  | $6.2500e - 002$ | $1.5638e - 003$     | 2.3821 | $1.7787e - 003$     | 1.7835 | $1.1262e - 003$     | 2.0684 |
| 18  | $5.8824e - 002$ | $1.3812e - 003$     | 2.0482 | $1.5728e - 003$     | 2.0299 | $9.8867e - 004$     | 2.1484 |
| 19  | $5.5556e - 002$ | $1.2688e - 003$     | 1.4854 | $1.3795e - 003$     | 2.2934 | $8.7800e - 004$     | 2.0769 |
| 20  | $5.2632e - 002$ | $1.1402e - 003$     | 1.9753 | $1.2425e - 003$     | 1.9358 | $7.8895e - 004$     | 1.9780 |
| 24  | $4.3478e - 002$ | $7.9431e - 004$     | 1.8923 | $8.3747e - 004$     | 2.0646 | $5.3832e - 004$     | 2.0007 |
| 25  | $4.1667e - 002$ | $7.2690e - 004$     | 2.0835 | $7.6921e - 004$     | 1.9978 | $4.9427e - 004$     | 2.0059 |
| 26  | $4.0000e - 002$ | $6.7031e - 004$     | 1.9855 | $7.0967e - 004$     | 1.9733 | $4.5550e - 004$     | 2.0010 |
| 27  | $3.8462e - 002$ | $6.1972e - 004$     | 2.0010 | $6.5702e - 004$     | 1.9655 | $4.2193e - 004$     | 1.9519 |
| 28  | $3.7037e - 002$ | $5.6770e - 004$     | 2.3231 | $6.1325e - 004$     | 1.8267 | $3.9160e - 004$     | 1.9767 |
| 29  | $3.5714e - 002$ | $5.2438e - 004$     | 2.1824 | $5.7156e - 004$     | 1.9357 | $3.6377e - 004$     | 2.0272 |
| 30  | $3.4483e - 002$ | $4.9360e - 004$     | 1.7237 | $5.2862e - 004$     | 2.2261 | $3.3901e - 004$     | 2.0090 |
| 31  | $3.3333e - 002$ | $4.5881e - 004$     | 2.1564 | $4.9523e - 004$     | 1.9245 | $3.1693e - 004$     | 1.9865 |
| 32  | $3.2258e - 002$ | $4.2934e - 004$     | 2.0243 | $4.6192e - 004$     | 2.1231 | $2.9651e - 004$     | 2.0310 |
| 33  | $3.1250e - 002$ | $4.0296e - 004$     | 1.9977 | $4.3277e - 004$     | 2.0531 | $2.7782e - 004$     | 2.0513 |
| 35  | $2.9412e - 002$ | $3.5776e - 004$     | 1.9624 | $3.8178e - 004$     | 2.0680 | $2.4581e - 004$     | 2.0189 |
| 36  | $2.8571e - 002$ | $3.3672e - 004$     | 2.0905 | $3.6021e - 004$     | 2.0066 | $2.3161e - 004$     | 2.0525 |
| 37  | $2.7778e - 002$ | $3.1909e - 004$     | 1.9090 | $3.4006e - 004$     | 2.0435 | $2.1866e - 004$     | 2.0432 |
| 38  | $2.7027e - 002$ | $3.0193e - 004$     | 2.0171 | $3.2236e - 004$     | 1.9507 | $2.0694e - 004$     | 2.0105 |
| 39  | $2.6316e - 002$ | $2.8502e - 004$     | 2.1620 | $3.0637e - 004$     | 1.9075 | $1.9607e - 004$     | 2.0221 |
| 40  | $2.5641e - 002$ | $2.7009e - 004$     | 2.0706 | $2.9141e - 004$     | 1.9274 | $1.8596e - 004$     | 2.0388 |
| 44  | $2.3256e - 002$ | $2.2509e - 004$     | 1.8669 | $2.3805e - 004$     | 2.0714 | $1.5287e - 004$     | 2.0069 |

Για το σύνολο  $N_1$  ο πίνακας για τα σφάλματα και την τάξη σύγκλισης ως προς την  $L^2$

### 3. Η ΚΥΜΑΤΙΚΉ ΕΞ΄ΙΣΩΣΗ ΩΣ ΥΠΕΡΒΟΛΙΚΉ Σ΄ΥΣΤΗΜΑ 1ΗΣ ΤΆΞΗΣ

---

νόρμα την χρονική στιγμή  $T = 1$  είναι:

| $N$ | $h$             | $\ p - p_h\ _{L^2}$ | $r(p)$ | $\ u - u_h\ _{L^2}$ | $r(u)$ | $\ v - v_h\ _{L^2}$ | $r(v)$ |
|-----|-----------------|---------------------|--------|---------------------|--------|---------------------|--------|
| 6   | $2.0000e - 001$ | $2.6343e - 002$     | ---    | $2.3268e - 002$     | ---    | $1.7256e - 002$     | ---    |
| 11  | $1.0000e - 001$ | $9.0788e - 003$     | 1.5369 | $4.7910e - 003$     | 2.2800 | $3.7419e - 003$     | 2.2053 |
| 12  | $9.0909e - 002$ | $8.1222e - 003$     | 1.1682 | $3.8295e - 003$     | 2.3503 | $3.1196e - 003$     | 1.9084 |
| 21  | $5.0000e - 002$ | $3.9505e - 003$     | 1.2056 | $1.4083e - 003$     | 1.6733 | $1.1450e - 003$     | 1.6766 |
| 22  | $4.7619e - 002$ | $3.7421e - 003$     | 1.1108 | $1.3080e - 003$     | 1.5152 | $1.0637e - 003$     | 1.5082 |
| 23  | $4.5455e - 002$ | $3.5597e - 003$     | 1.0743 | $1.2076e - 003$     | 1.7152 | $9.9366e - 004$     | 1.4650 |
| 34  | $3.0303e - 002$ | $2.2947e - 003$     | 1.0829 | $6.9106e - 004$     | 1.3767 | $5.6607e - 004$     | 1.3877 |
| 41  | $2.5000e - 002$ | $1.8742e - 003$     | 1.0524 | $5.4515e - 004$     | 1.2328 | $4.4128e - 004$     | 1.2946 |
| 42  | $2.4390e - 002$ | $1.8264e - 003$     | 1.0445 | $5.2930e - 004$     | 1.1949 | $4.2781e - 004$     | 1.2556 |
| 43  | $2.3810e - 002$ | $1.7812e - 003$     | 1.0415 | $5.1411e - 004$     | 1.2082 | $4.1510e - 004$     | 1.2514 |
| 45  | $2.2727e - 002$ | $1.6973e - 003$     | 1.0370 | $4.8609e - 004$     | 1.2046 | $3.9183e - 004$     | 1.2404 |

(B) Ομοιόμορφος διαμερισμός με τριγωνικά πεπερασμένα στοιχεία .

Στα τριγωνικά πεπερασμένα στοιχεία θα χρησιμοποιήσουμε την ακριβή λύση του ομογενούς προβλήματος (δηλ.  $f(x, y, t) = 0$ ), που είναι για την πίεση

$$p(x, y, t) = \cos(\sqrt{2}\pi t) \sin(\pi x) \cos(\pi y)$$

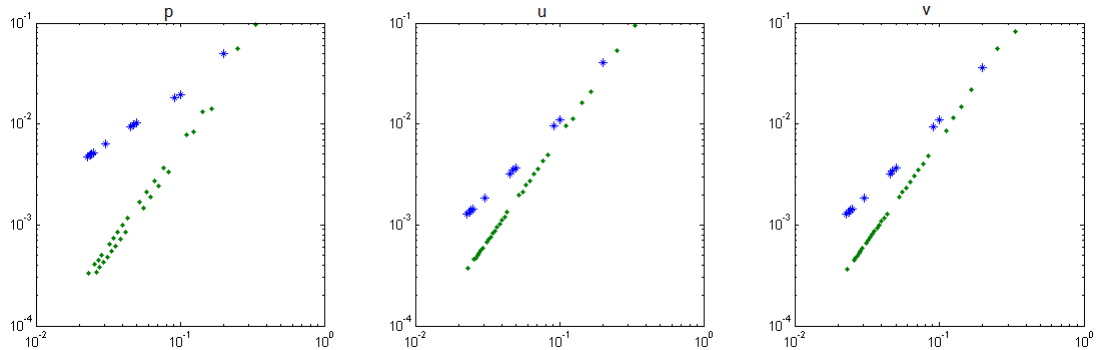
και για τις συνιστώσες της ταχύτητας

$$u(x, y, t) = \frac{\sqrt{2}}{2} \sin(\sqrt{2}\pi t) \cos(\pi x) \cos(\pi y)$$

$$v(x, y, t) = -\frac{\sqrt{2}}{2} \sin(\sqrt{2}\pi t) \sin(\pi x) \sin(\pi y).$$

Κάνουμε το πείραμα με τριγωνικά πεπερασμένα στοιχεία και πάλι η ίδια συμπεριφορά για τα σύνολα  $N_1$  και  $N_2$ , η οποία φαίνεται στο σχήμα 3.12.

### 3.2 Μέθοδος Πεπερασμένων Στοιχείων και πειραματική τάξη σύγκλισης



**Σχήμα 3.12:** Διάγραμμα τάξης σύγκλισης, σε λογαριθμική κλίμακα για το πρόβλημα με συνοριακές συνθήκες τύπου (III) και  $4 \leq N \leq 45$  τριγωνικά πεπερασμένα στοιχεία. Με μπλέ τα σφάλματα ως προς την  $L^2$  νόρμα την χρονική στιγμή  $T = 1$  απο το σύνολο  $N_1$  και με πράσινο τα αντίστοιχα σφάλματα απο το σύνολο  $N_2$

Αναλυτικά τα αποτελέσματα του πειράματος για το πρόβλημα με συνοριακές τιμές τύπου (III) χρησιμοποιώντας τριγωνικά πεπερασμένα στοιχεία βρίσκονται στους παρακάτω πίνακες.

Ο πίνακας με τα σφάλματα και την τάξη σύγκλισης ως προς την  $L^2$  νόρμα την χρονική στιγμή  $T = 1$  για το σύνολο  $N_1$ :

| $N$ | $h$             | $\ p - p_h\ _{L^2}$ | $r(p)$ | $\ u - u_h\ _{L^2}$ | $r(u)$ | $\ v - v_h\ _{L^2}$ | $r(v)$ |
|-----|-----------------|---------------------|--------|---------------------|--------|---------------------|--------|
| 6   | $2.0000e - 001$ | $4.9307e - 002$     | ---    | $4.0157e - 002$     | ---    | $3.6472e - 002$     | ---    |
| 11  | $1.0000e - 001$ | $1.9636e - 002$     | 1.3283 | $1.1090e - 002$     | 1.8564 | $1.0978e - 002$     | 1.7322 |
| 12  | $9.0909e - 002$ | $1.8217e - 002$     | 0.7869 | $9.6526e - 003$     | 1.4566 | $9.3018e - 003$     | 1.7383 |
| 21  | $5.0000e - 002$ | $1.0164e - 002$     | 0.9760 | $3.7096e - 003$     | 1.5996 | $3.6972e - 003$     | 1.5433 |
| 22  | $4.7619e - 002$ | $9.7413e - 003$     | 0.8716 | $3.4744e - 003$     | 1.3426 | $3.4422e - 003$     | 1.4646 |
| 23  | $4.5455e - 002$ | $9.2806e - 003$     | 1.0414 | $3.2300e - 003$     | 1.5678 | $3.2243e - 003$     | 1.4059 |
| 34  | $3.0303e - 002$ | $6.2914e - 003$     | 0.9588 | $1.8510e - 003$     | 1.3732 | $1.8446e - 003$     | 1.3773 |
| 41  | $2.5000e - 002$ | $5.2113e - 003$     | 0.9791 | $1.4368e - 003$     | 1.3169 | $1.4357e - 003$     | 1.3028 |
| 42  | $2.4390e - 002$ | $5.0923e - 003$     | 0.9359 | $1.3941e - 003$     | 1.2192 | $1.3913e - 003$     | 1.2732 |
| 43  | $2.3810e - 002$ | $4.9694e - 003$     | 1.0134 | $1.3498e - 003$     | 1.3413 | $1.3490e - 003$     | 1.2801 |
| 45  | $2.2727e - 002$ | $4.7489e - 003$     | 0.9755 | $1.2726e - 003$     | 1.2667 | $1.2719e - 003$     | 1.2650 |

### 3. Η ΚΥΜΑΤΙΚΉ ΕΞΪΣΩΣΗ ΩΣ ΥΠΕΡΒΟΛΙΚΉ ΣΥΣΤΗΜΑ 1ΗΣ ΤΑΞΗΣ

Ο αντίστοιχος πίνακας για το σύνολο  $N_2$ :

| $N$ | $h$             | $\ p - p_h\ _{L^2}$ | $r(p)$  | $\ u - u_h\ _{L^2}$ | $r(u)$ | $\ v - v_h\ _{L^2}$ | $r(v)$ |
|-----|-----------------|---------------------|---------|---------------------|--------|---------------------|--------|
| 4   | $3.3333e - 001$ | $9.6195e - 002$     | ---     | $9.4573e - 002$     | ---    | $8.1442e - 002$     | ---    |
| 5   | $2.5000e - 001$ | $5.5885e - 002$     | 1.8878  | $5.2949e - 002$     | 2.0163 | $5.5949e - 002$     | 1.3051 |
| 7   | $1.6667e - 001$ | $1.4106e - 002$     | 3.3954  | $2.0782e - 002$     | 2.3066 | $2.2060e - 002$     | 2.2954 |
| 8   | $1.4286e - 001$ | $1.3251e - 002$     | 0.4054  | $1.6216e - 002$     | 1.6093 | $1.4978e - 002$     | 2.5116 |
| 9   | $1.2500e - 001$ | $8.3226e - 003$     | 3.4832  | $1.1187e - 002$     | 2.7807 | $1.1396e - 002$     | 2.0465 |
| 10  | $1.1111e - 001$ | $7.7805e - 003$     | 0.5719  | $9.6746e - 003$     | 1.2328 | $8.6436e - 003$     | 2.3473 |
| 13  | $8.3333e - 002$ | $3.3556e - 003$     | 2.9233  | $4.9061e - 003$     | 2.3603 | $4.8644e - 003$     | 1.9983 |
| 14  | $7.6923e - 002$ | $3.6782e - 003$     | -1.1466 | $4.3226e - 003$     | 1.5818 | $4.0381e - 003$     | 2.3257 |
| 15  | $7.1429e - 002$ | $2.4281e - 003$     | 5.6043  | $3.5747e - 003$     | 2.5635 | $3.5203e - 003$     | 1.8518 |
| 16  | $6.6667e - 002$ | $2.7386e - 003$     | -1.7446 | $3.2188e - 003$     | 1.5204 | $3.0209e - 003$     | 2.2174 |
| 17  | $6.2500e - 002$ | $1.8830e - 003$     | 5.8038  | $2.7227e - 003$     | 2.5935 | $2.6666e - 003$     | 1.9330 |
| 18  | $5.8824e - 002$ | $2.1314e - 003$     | -2.0432 | $2.4799e - 003$     | 1.5403 | $2.3448e - 003$     | 2.1214 |
| 19  | $5.5556e - 002$ | $1.4778e - 003$     | 6.4063  | $2.1376e - 003$     | 2.5986 | $2.1108e - 003$     | 1.8391 |
| 20  | $5.2632e - 002$ | $1.7046e - 003$     | -2.6397 | $1.9705e - 003$     | 1.5056 | $1.8761e - 003$     | 2.1803 |
| 24  | $4.3478e - 002$ | $1.1664e - 003$     | 1.9858  | $1.3296e - 003$     | 2.0592 | $1.2765e - 003$     | 2.0156 |
| 25  | $4.1667e - 002$ | $8.4557e - 004$     | 7.5577  | $1.1931e - 003$     | 2.5455 | $1.1748e - 003$     | 1.9504 |
| 26  | $4.0000e - 002$ | $9.8684e - 004$     | -3.7846 | $1.1217e - 003$     | 1.5126 | $1.0804e - 003$     | 2.0527 |
| 27  | $3.8462e - 002$ | $7.2297e - 004$     | 7.9330  | $1.0136e - 003$     | 2.5826 | $1.0040e - 003$     | 1.8690 |
| 28  | $3.7037e - 002$ | $8.4684e - 004$     | -4.1903 | $9.6015e - 004$     | 1.4354 | $9.2622e - 004$     | 2.1369 |
| 29  | $3.5714e - 002$ | $6.2291e - 004$     | 8.4447  | $8.7496e - 004$     | 2.5548 | $8.6336e - 004$     | 1.9325 |
| 30  | $3.4483e - 002$ | $7.3327e - 004$     | -4.6484 | $8.3015e - 004$     | 1.4984 | $8.0426e - 004$     | 2.0206 |
| 31  | $3.3333e - 002$ | $5.4516e - 004$     | 8.7440  | $7.6056e - 004$     | 2.5824 | $7.5232e - 004$     | 1.9694 |
| 32  | $3.2258e - 002$ | $6.4219e - 004$     | -4.9956 | $7.2568e - 004$     | 1.4317 | $7.0277e - 004$     | 2.0778 |
| 33  | $3.1250e - 002$ | $4.7887e - 004$     | 9.2431  | $6.6897e - 004$     | 2.5629 | $6.6039e - 004$     | 1.9588 |
| 35  | $2.9412e - 002$ | $4.2615e - 004$     | 1.9239  | $5.9088e - 004$     | 2.0475 | $5.8500e - 004$     | 1.9996 |
| 36  | $2.8571e - 002$ | $5.0372e - 004$     | -5.7689 | $5.6746e - 004$     | 1.3954 | $5.5126e - 004$     | 2.0490 |
| 37  | $2.7778e - 002$ | $3.7959e - 004$     | 10.0434 | $5.2707e - 004$     | 2.6212 | $5.2189e - 004$     | 1.9434 |
| 38  | $2.7027e - 002$ | $4.5020e - 004$     | -6.2266 | $5.0709e - 004$     | 1.4101 | $4.9444e - 004$     | 1.9725 |
| 39  | $2.6316e - 002$ | $3.4180e - 004$     | 10.3293 | $4.7209e - 004$     | 2.6820 | $4.6812e - 004$     | 2.0511 |
| 40  | $2.5641e - 002$ | $4.0522e - 004$     | -6.5523 | $4.5617e - 004$     | 1.3209 | $4.4425e - 004$     | 2.0149 |
| 44  | $2.3256e - 002$ | $3.3346e - 004$     | 1.9961  | $3.7432e - 004$     | 2.0253 | $3.6579e - 004$     | 1.9903 |

Για να δείξουμε ότι η τάξη σύγκλισης στο σύνολο  $N_2$  είναι δύο θα χρησιμοποιήσουμε το υποσύνολο  $N_3 \subset N_2$ . Ο πίνακας με τα σφάλματα και τη τάξη σύγκλισης ως προς την  $L^2$

### 3.2 Μέθοδος Πεπερασμένων Στοιχείων και πειραματική τάξη σύγκλισης

νόρμα την χρονική στιγμή  $T = 1$  για το σύνολο  $N_3$  είναι:

| $N$ | $h$             | $\ p - p_h\ _{L^2}$ | $r(p)$ | $\ u - u_h\ _{L^2}$ | $r(u)$ | $\ v - v_h\ _{L^2}$ | $r(v)$ |
|-----|-----------------|---------------------|--------|---------------------|--------|---------------------|--------|
| 4   | $3.3333e - 001$ | $9.6195e - 002$     | ---    | $9.4573e - 002$     | ---    | $8.1442e - 002$     | ---    |
| 9   | $1.2500e - 001$ | $8.3226e - 003$     | 1.7728 | $1.1187e - 002$     | 1.0033 | $1.1396e - 002$     | 1.0033 |
| 15  | $7.1429e - 002$ | $2.4281e - 003$     | 1.5844 | $3.5747e - 003$     | 0.5336 | $3.5203e - 003$     | 0.5336 |
| 19  | $5.5556e - 002$ | $1.4778e - 003$     | 1.4798 | $2.1376e - 003$     | 0.6112 | $2.1108e - 003$     | 0.6112 |
| 25  | $4.1667e - 002$ | $8.4557e - 004$     | 1.3930 | $1.1931e - 003$     | 0.7149 | $1.1748e - 003$     | 0.7149 |
| 29  | $3.5714e - 002$ | $6.2291e - 004$     | 1.3813 | $8.7496e - 004$     | 0.7292 | $8.6336e - 004$     | 0.7292 |
| 33  | $3.1250e - 002$ | $4.7887e - 004$     | 1.3291 | $6.6897e - 004$     | 0.7871 | $6.6039e - 004$     | 0.7871 |
| 37  | $2.7778e - 002$ | $3.7959e - 004$     | 1.2659 | $5.2707e - 004$     | 0.8485 | $5.2189e - 004$     | 0.8485 |

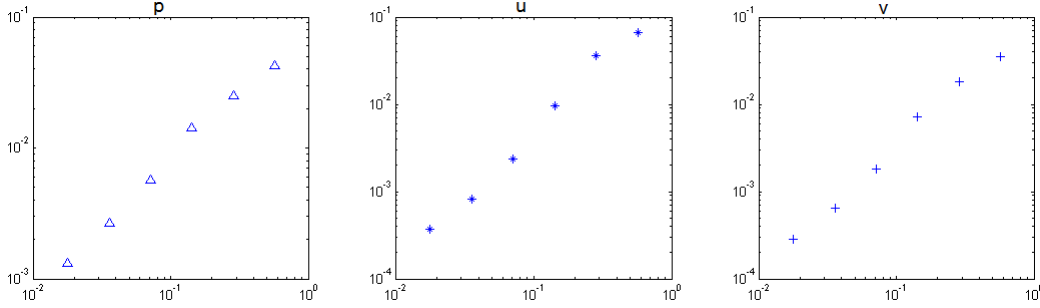
#### (Γ) Μη-ομοιόμορφος διαμερισμός

Το πείραμα του μη-ομοιόμορφου διαμερισμού θα μας δώσει και πάλι τάξη σύγκλισης δύο και για τις τρεις συναρτήσεις  $p$ ,  $u$  και  $v$ . Εδώ χρησιμοποιήσαμε την ακριβή λύση του μη-ομογενούς προβλήματος που ορίσαμε στο (Α).

Ακολουθεί ο πίνακας με τα σφάλματα και την τάξη σύγκλισης ως προς την  $L^2$  νόρμα την χρονική στιγμή  $T = 1$  του μη-ομοιόμορφου διαμερισμού για το πρόβλημα με συνοριακές συνθήκες τύπου (III).

| $h$             | $\ p - p_h\ _{L^2}$ | $r(p)$ | $\ u - u_h\ _{L^2}$ | $r(u)$ | $\ v - v_h\ _{L^2}$ | $r(v)$ |
|-----------------|---------------------|--------|---------------------|--------|---------------------|--------|
| $5.7143e - 001$ | $4.2629e - 002$     | ---    | $6.7183e - 002$     | ---    | $3.5170e - 002$     | ---    |
| $2.8571e - 001$ | $2.4943e - 002$     | 0.7732 | $3.6172e - 002$     | 0.8932 | $1.8021e - 002$     | 0.9647 |
| $1.4286e - 001$ | $1.4345e - 002$     | 0.7981 | $9.6826e - 003$     | 1.9014 | $7.1078e - 003$     | 1.3422 |
| $7.1429e - 002$ | $5.6536e - 003$     | 1.3433 | $2.3612e - 003$     | 2.0359 | $1.7940e - 003$     | 1.9862 |
| $3.5714e - 002$ | $2.6818e - 003$     | 1.0760 | $8.1839e - 004$     | 1.5287 | $6.4988e - 004$     | 1.4650 |
| $1.7857e - 002$ | $1.3110e - 003$     | 1.0325 | $3.6692e - 004$     | 1.1573 | $2.8081e - 004$     | 1.2106 |

### 3. Η ΚΥΜΑΤΙΚΉ ΕΞΪΣΩΣΗ ΩΣ ΥΠΕΡΒΟΛΙΚΌ ΣΎΣΤΗΜΑ 1ΗΣ ΤΆΞΗΣ



**Σχήμα 3.13:** Διάγραμμα τάξης σύγκλισης για διγραμμικά πεπερασμένα στοιχεία σε λογαριθμική κλίμακα για το πρόβλημα με συνοριακές συνθήκες τύπου (III) με μή-ομοιόμορφο διαμερισμό.

#### (Δ) Συμπεράσματα ως προς τη τάξη σύγκλισης .

Στην περίπτωση του προβλήματος με συνοριακές τιμές τύπου (III), όπως άλλωστε και στα προηγούμενα προβλήματα, η τάξη σύγκλισης για τις συναρτήσεις  $p$ ,  $u$  και  $v$  ως προς την  $L^2$  νόρμα την χρονική στιγμή  $T = 1$  πλησιάζει το 1.

#### 3.2.4 Πρόβλημα αρχικών/συνοριακών τιμών με συνοριακές συνθήκες τύπου (IV)

Το τελευταίο πρόβλημα που θα εξετάσουμε είναι το πρόβλημα με συνοριακές συνθήκες τύπου (IV).

Έστω λοιπόν το πρόβλημα (3.2) εφοδιασμένο με αρχικές/συνθήκες τύπου (IV) και έστω  $\psi \in H_p^1(\Omega)$ ,  $\varphi_1 \in H_u^1(\Omega)$  και  $\varphi_2 \in H_v^1(\Omega)$  όπου

$$H_p^1(\Omega) = \{p \in H^1(\Omega) : p|_{\Gamma_1} = p|_{\Gamma_3} \text{ και } p|_{\Gamma_2} = p|_{\Gamma_4}\},$$

$$H_v^1(\Omega) = \{v \in H^1(\Omega) : v|_{\Gamma_1} = v|_{\Gamma_3}\}$$

και

$$H_u^1(\Omega) = \{u \in H^1(\Omega) : u|_{\Gamma_2} = u|_{\Gamma_4}\}.$$

Πολλαπλασιάζουμε την πρώτη εξίσωση της (3.2) με  $\psi$ , την δεύτερη με  $\varphi_1$  και την τρίτη με  $\varphi_2$ , οπότε θα έχουμε:

$$\begin{cases} p_t \psi + u_x \psi + v_y \psi = f \psi, & \forall \psi \in H_p^1(\Omega), \\ u_t \varphi_1 + p_x \varphi_1 = 0, & \forall \varphi_1 \in H_u^1(\Omega), \\ v_t \varphi_2 + p_y \varphi_2 = 0, & \forall \varphi_2 \in H_v^1(\Omega). \end{cases}$$

### 3.2 Μέθοδος Πεπερασμένων Στοιχείων και πειραματική τάξη σύγκλισης

Ολοκληρώνουμε στο  $\Omega$  και έχουμε:

$$\begin{cases} (p_t, \psi) + (u_x, \psi) + (v_y, \psi) = (f, \psi), \quad \forall \psi \in H_p^1(\Omega), \\ (u_t, \varphi_1) + (p_x, \varphi_1) = 0, \quad \forall \varphi_1 \in H_u^1(\Omega), \\ (v_t, \varphi_2) + (p_y, \varphi_2) = 0, \quad \forall \varphi_2 \in H_v^1(\Omega). \end{cases} \quad (3.26)$$

Έστω τώρα  $S_h^p, S_h^u$  και  $S_h^v$  υπόχωροι πεπερασμένης διάστασης των  $H_p^1(\Omega), H_u^1(\Omega)$  και  $H_v^1(\Omega)$  αντίστοιχα. Εάν τώρα  $p_h \in S_h^p$ ,  $u_h \in S_h^u$ ,  $v_h \in S_h^v$  τότε το πρόβλημα (3.26) γράφεται:

$$\begin{cases} (p_{h,t}, \psi) + (u_{h,x}, \psi) + (v_{h,y}, \psi) = (f, \psi), \quad \forall \psi \in S_h^p, \\ (u_{h,t}, \varphi_1) + (p_{h,x}, \varphi_1) = 0, \quad \forall \varphi_1 \in S_h^u, \\ (v_{h,t}, \varphi_2) + (p_{h,y}, \varphi_2) = 0, \quad \forall \varphi_2 \in S_h^v. \end{cases} \quad (3.27)$$

Αφού όμως  $p_h \in S_h^p$ ,  $u \in S_h^u$ ,  $v \in S_h^v$  τότε

$$p_h(x, y, t) = \sum_{i=1}^{N_h} p_i(t) \psi_i(x, y),$$

όπου  $N_h = \dim(S_h^p)$  και  $\{\psi_i\}_{i=1}^{N_h}$  μία βάση του  $S_h^p$ ,

$$u_h(x, y, t) = \sum_{i=1}^{\hat{N}_h} u_i(t) \varphi_{i,1}(x, y),$$

όπου  $\hat{N}_h = \dim(S_h^u)$  και  $\{\varphi_{i,1}\}_{i=1}^{\hat{N}_h}$  μία βάση του  $S_h^u$ ,

$$v_h(x, y, t) = \sum_{i=1}^{\hat{N}_h} v_i(t) \varphi_{i,2}(x, y),$$

όπου  $\hat{N}_h = \dim(S_h^v)$  και  $\{\varphi_{i,2}\}_{i=1}^{\hat{N}_h}$  μία βάση του  $S_h^v$ . Αντικαθιστώντας στην (3.27) θα έχουμε:

$$\begin{cases} \left( \sum_{i=1}^{N_h} \dot{p}_i(t) \psi_i, \psi_j \right) + \left( \sum_{i=1}^{\hat{N}_h} u_i(t) \varphi_{x,i,1}, \psi_j \right) + \left( \sum_{i=1}^{\hat{N}_h} v_i(t) \varphi_{y,i,2}, \psi_j \right) = (f, \psi_j), \quad 1 \leq j \leq N_h, \\ \left( \sum_{i=1}^{\hat{N}_h} \dot{u}_i(t) \varphi_{i,1}, \varphi_{j,1} \right) + \left( \sum_{i=1}^{N_h} p_i(t) \psi_{x,i}, \varphi_{j,1} \right) = 0, \quad 1 \leq j \leq \hat{N}_h, \\ \left( \sum_{i=1}^{\hat{N}_h} \dot{v}_i(t) \varphi_{i,2}, \varphi_{j,2} \right) + \left( \sum_{i=1}^{N_h} p_i(t) \psi_{y,i}, \varphi_{j,2} \right) = 0, \quad 1 \leq j \leq \hat{N}_h. \end{cases} \quad (3.28)$$

Ορίζουμε τους πίνακες μάζας:

### 3. Η ΚΥΜΑΤΙΚΉ ΕΞΊΣΩΣΗ ΩΣ ΥΠΕΡΒΟΛΙΚΌ ΣΎΣΤΗΜΑ 1ΗΣ ΤΆΞΗΣ

- $M_1$  με στοιχεία  $(M_1)_{ij} = (\psi_j, \psi_i)$ ,  $1 \leq i, j \leq N_h$
- $M_2$  με στοιχεία  $(M_2)_{ij} = (\varphi_{j,1}, \varphi_{i,1})$ ,  $1 \leq i, j \leq \hat{N}_h$
- $M_3$  με στοιχεία  $(M_3)_{ij} = (\varphi_{j,2}, \varphi_{i,2})$ ,  $1 \leq i, j \leq \hat{N}_h$

τους πίνακες 'ακαμψίας':

- $A_{1,x}$  με στοιχεία  $(A_{1,x})_{i,j} = (\varphi_{x,j,1}, \psi_i)$ ,  $1 \leq i \leq N_h$ ,  $1 \leq j \leq \hat{N}_h$
- $A_{2,y}$  με στοιχεία  $(A_{2,y})_{i,j} = (\varphi_{y,j,2}, \psi_i)$ ,  $1 \leq i \leq N_h$ ,  $1 \leq j \leq \hat{N}_h$
- $A_{x,1}$  με στοιχεία  $(A_{x,1})_{i,j} = (\psi_{x,j}, \varphi_{i,1})$ ,  $1 \leq j \leq N_h$ ,  $1 \leq i \leq \hat{N}_h$
- $A_{y,2}$  με στοιχεία  $(A_{y,2})_{i,j} = (\psi_{y,j}, \varphi_{i,2})$ ,  $1 \leq j \leq N_h$ ,  $1 \leq i \leq \hat{N}_h$

και το διάνυσμα  $\vec{f}$  με στοιχεία  $f_i = (f, \psi_i)$   $1 \leq i \leq N_h$ , οπότε τελικά το σύστημα (3.28) γράφεται στην μορφή:

$$\underbrace{\begin{matrix} N_h & \hat{N}_h & \hat{N}_h \\ \begin{pmatrix} M_1 & \mathbb{O} & \mathbb{O} \\ \mathbb{O} & M_2 & \mathbb{O} \\ \mathbb{O} & \mathbb{O} & M_3 \end{pmatrix} \end{matrix}}_A \underbrace{\begin{pmatrix} \dot{p}_h \\ \dot{u}_h \\ \dot{v}_h \end{pmatrix}}_{x_t(t)} = - \underbrace{\begin{matrix} N_h & \hat{N}_h & \hat{N}_h \\ \begin{pmatrix} \mathbb{O} & A_{x,1} & A_{y,2} \\ A_{1,x} & \mathbb{O} & \mathbb{O} \\ A_{2,y} & \mathbb{O} & \mathbb{O} \end{pmatrix} \end{matrix}}_B \underbrace{\begin{pmatrix} p_h \\ u_h \\ v_h \end{pmatrix}}_{x(t)} + \underbrace{\begin{pmatrix} \vec{f} \\ \mathbb{O} \\ \mathbb{O} \end{pmatrix}}_{F(t)}$$

Επομένως έχουμε πλέον να λύσουμε το παρακάτω πρόβλημα αρχικών τιμών:

$$\begin{cases} Ax_t(t) = Bx(t) + F(t), \\ x(0) = x^0, \text{ δεδομένο.} \end{cases} \quad (3.29)$$

Και αυτό το πρόβλημα (3.29), θα το λύσουμε με τη μέθοδο Shu-Osher.

#### 3.2.4.1 Πειράματα για την τάξη σύγκλισης

Για ακριβή λύση του προβλήματος με συνοριακές τιμές τύπου (IV) παίρνουμε:

Για την πίεση:

$$p(x, y, t) = \cos(\sqrt{8}\pi t) \sin(2\pi x) \cos(2\pi y)$$

και για τις δύο συνιστώσες της ταχύτητας:

$$u(x, y, t) = \frac{\sqrt{8}}{4} \sin(\sqrt{8}\pi t) \cos(2\pi x) \cos(2\pi y)$$

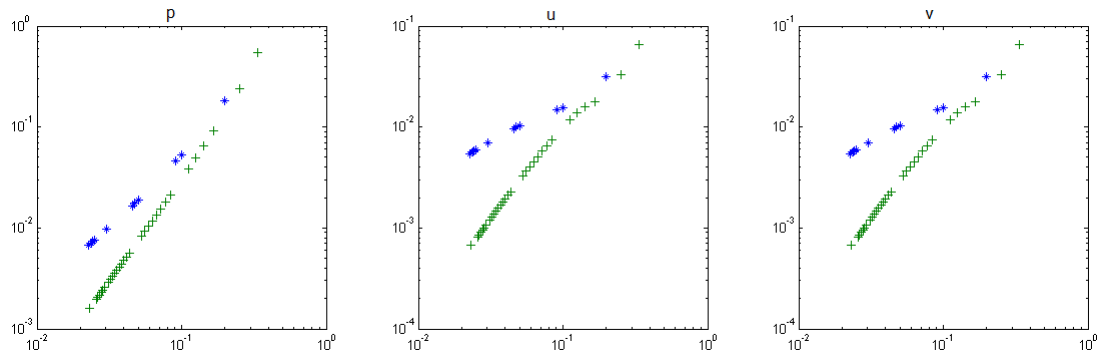
$$v(x, y, t) = -\frac{\sqrt{8}}{4} \sin(\sqrt{8}\pi t) \sin(2\pi x) \sin(2\pi y)$$

δηλαδή με  $f(x, y, t) = 0$ . Τα πειράματα θα γίνουν με χρονικό βήμα που ικανοποιεί την συνθήκη  $\frac{\Delta t}{h} = 0.1$



### 3.2 Μέθοδος Πεπερασμένων Στοιχείων και πειραματική τάξη σύγκλισης

(A) Ομοιόμορφος διαμέρισμός με διγραμμικά πεπερασμένα στοιχεία . Στο πρόβλημα με συνοριακές συνθήκες τύπου (IV) θα παρατηρήσουμε το φαινόμενο της διαφορετικής τάξης σύγκλισης για τα σύνολα  $N_1$  και  $N_2$  αν και η συμπεριφορά ως προς τα σφάλματα αλλάζει ελάχιστα σε σχέση με τα προηγούμενα προβλήματα.



**Σχήμα 3.14:** Διάγραμμα τάξης σύγκλισης ως προς την  $L^2$  νόρμα την χρονική στιγμή  $T = 1$  σε λογαριθμική κλίμακα για το πρόβλημα με συνοριακές συνθήκες τύπου (IV) και  $4 \leq N \leq 45$  για διγραμμικά πεπερασμένα στοιχεία. Με μπλέ τα σφάλματα απο το σύνολο  $N_1$  και με πράσινο τα σφάλματα απο το σύνολο  $N_2$

Ο παρακάτω πίνακας αφορά την τάξη σύγκλισης και τα σφάλματα ως προς την  $L^2$  νόρμα την χρονική στιγμή  $T = 1$  για το σύνολο  $N_1$  :

| $N$ | $h$             | $\ p - p_h\ _{L^2}$ | $r(p)$ | $\ u - u_h\ _{L^2}$ | $r(u)$ | $\ v - v_h\ _{L^2}$ | $r(v)$ |
|-----|-----------------|---------------------|--------|---------------------|--------|---------------------|--------|
| 6   | $2.0000e - 001$ | $1.8197e - 001$     | ---    | $3.1309e - 002$     | ---    | $3.1309e - 002$     | ---    |
| 11  | $1.0000e - 001$ | $5.3253e - 002$     | 1.7728 | $1.5619e - 002$     | 1.0033 | $1.5619e - 002$     | 1.0033 |
| 12  | $9.0909e - 002$ | $4.5789e - 002$     | 1.5844 | $1.4844e - 002$     | 0.5336 | $1.4844e - 002$     | 0.5336 |
| 21  | $5.0000e - 002$ | $1.8904e - 002$     | 1.4798 | $1.0301e - 002$     | 0.6112 | $1.0301e - 002$     | 0.6112 |
| 22  | $4.7619e - 002$ | $1.7661e - 002$     | 1.3930 | $9.9475e - 003$     | 0.7149 | $9.9475e - 003$     | 0.7149 |
| 23  | $4.5455e - 002$ | $1.6562e - 002$     | 1.3813 | $9.6157e - 003$     | 0.7292 | $9.6157e - 003$     | 0.7292 |
| 34  | $3.0303e - 002$ | $9.6622e - 003$     | 1.3291 | $6.9883e - 003$     | 0.7871 | $6.9883e - 003$     | 0.7871 |
| 41  | $2.5000e - 002$ | $7.5738e - 003$     | 1.2659 | $5.9359e - 003$     | 0.8485 | $5.9359e - 003$     | 0.8485 |
| 42  | $2.4390e - 002$ | $7.3445e - 003$     | 1.2451 | $5.8103e - 003$     | 0.8660 | $5.8103e - 003$     | 0.8660 |
| 43  | $2.3810e - 002$ | $7.1282e - 003$     | 1.2406 | $5.6898e - 003$     | 0.8696 | $5.6898e - 003$     | 0.8696 |
| 45  | $2.2727e - 002$ | $6.7304e - 003$     | 1.2342 | $5.4630e - 003$     | 0.8746 | $5.4630e - 003$     | 0.8746 |

Για το σύνολο  $N_2$  ο πίνακας για τα σφάλματα και την τάξη σύγκλισης ως προς την  $L^2$

### 3. Η ΚΥΜΑΤΙΚΉ ΕΞΪΣΩΣΗ ΩΣ ΥΠΕΡΒΟΛΙΚΌ ΣΎΣΤΗΜΑ 1ΗΣ ΤΆΞΗΣ

νόρμα την χρονική στιγμή  $T = 1$  είναι:

| $N$ | $h$             | $\ p - p_h\ _{L^2}$ | $r(p)$ | $\ u - u_h\ _{L^2}$ | $r(u)$ | $\ v - v_h\ _{L^2}$ | $r(v)$ |
|-----|-----------------|---------------------|--------|---------------------|--------|---------------------|--------|
| 4   | $3.3333e - 001$ | $5.4331e - 001$     | ---    | $6.6228e - 002$     | ---    | $6.6228e - 002$     | ---    |
| 5   | $2.5000e - 001$ | $2.3808e - 001$     | 2.8680 | $3.2655e - 002$     | 2.4579 | $3.2655e - 002$     | 2.4579 |
| 7   | $1.6667e - 001$ | $9.0699e - 002$     | 2.3801 | $1.7884e - 002$     | 1.4850 | $1.7884e - 002$     | 1.4850 |
| 8   | $1.4286e - 001$ | $6.4949e - 002$     | 2.1664 | $1.5907e - 002$     | 0.7600 | $1.5907e - 002$     | 0.7600 |
| 9   | $1.2500e - 001$ | $4.8929e - 002$     | 2.1211 | $1.3754e - 002$     | 1.0891 | $1.3754e - 002$     | 1.0891 |
| 10  | $1.1111e - 001$ | $3.8235e - 002$     | 2.0939 | $1.1775e - 002$     | 1.3185 | $1.1775e - 002$     | 1.3185 |
| 13  | $8.3333e - 002$ | $2.1113e - 002$     | 2.0643 | $7.5088e - 003$     | 1.5640 | $7.5088e - 003$     | 1.5640 |
| 14  | $7.6923e - 002$ | $1.7925e - 002$     | 2.0450 | $6.5458e - 003$     | 1.7147 | $6.5458e - 003$     | 1.7147 |
| 15  | $7.1429e - 002$ | $1.5411e - 002$     | 2.0390 | $5.7459e - 003$     | 1.7587 | $5.7459e - 003$     | 1.7587 |
| 16  | $6.6667e - 002$ | $1.3393e - 002$     | 2.0341 | $5.0773e - 003$     | 1.7932 | $5.0773e - 003$     | 1.7932 |
| 17  | $6.2500e - 002$ | $1.1748e - 002$     | 2.0301 | $4.5144e - 003$     | 1.8207 | $4.5144e - 003$     | 1.8207 |
| 18  | $5.8824e - 002$ | $1.0390e - 002$     | 2.0268 | $4.0372e - 003$     | 1.8430 | $4.0372e - 003$     | 1.8430 |
| 19  | $5.5556e - 002$ | $9.2550e - 003$     | 2.0240 | $3.6297e - 003$     | 1.8613 | $3.6297e - 003$     | 1.8613 |
| 20  | $5.2632e - 002$ | $8.2967e - 003$     | 2.0217 | $3.2795e - 003$     | 1.8766 | $3.2795e - 003$     | 1.8766 |
| 24  | $4.3478e - 002$ | $5.6431e - 003$     | 2.0173 | $2.2794e - 003$     | 1.9039 | $2.2794e - 003$     | 1.9039 |
| 25  | $4.1667e - 002$ | $5.1796e - 003$     | 2.0139 | $2.1001e - 003$     | 1.9251 | $2.1001e - 003$     | 1.9251 |
| 26  | $4.0000e - 002$ | $4.7710e - 003$     | 2.0128 | $1.9409e - 003$     | 1.9313 | $1.9409e - 003$     | 1.9313 |
| 27  | $3.8462e - 002$ | $4.4090e - 003$     | 2.0119 | $1.7989e - 003$     | 1.9367 | $1.7989e - 003$     | 1.9367 |
| 28  | $3.7037e - 002$ | $4.0867e - 003$     | 2.0111 | $1.6718e - 003$     | 1.9416 | $1.6718e - 003$     | 1.9416 |
| 29  | $3.5714e - 002$ | $3.7986e - 003$     | 2.0104 | $1.5576e - 003$     | 1.9459 | $1.5576e - 003$     | 1.9459 |
| 30  | $3.4483e - 002$ | $3.5399e - 003$     | 2.0097 | $1.4546e - 003$     | 1.9497 | $1.4546e - 003$     | 1.9497 |
| 31  | $3.3333e - 002$ | $3.3069e - 003$     | 2.0091 | $1.3614e - 003$     | 1.9532 | $1.3614e - 003$     | 1.9532 |
| 32  | $3.2258e - 002$ | $3.0961e - 003$     | 2.0086 | $1.2768e - 003$     | 1.9563 | $1.2768e - 003$     | 1.9563 |
| 33  | $3.1250e - 002$ | $2.9049e - 003$     | 2.0081 | $1.1998e - 003$     | 1.9591 | $1.1998e - 003$     | 1.9591 |
| 35  | $2.9412e - 002$ | $2.5720e - 003$     | 2.0074 | $1.0652e - 003$     | 1.9628 | $1.0652e - 003$     | 1.9628 |
| 36  | $2.8571e - 002$ | $2.4267e - 003$     | 2.0068 | $1.0062e - 003$     | 1.9661 | $1.0062e - 003$     | 1.9661 |
| 37  | $2.7778e - 002$ | $2.2933e - 003$     | 2.0065 | $9.5195e - 004$     | 1.9680 | $9.5195e - 004$     | 1.9680 |
| 38  | $2.7027e - 002$ | $2.1706e - 003$     | 2.0062 | $9.0194e - 004$     | 1.9698 | $9.0194e - 004$     | 1.9698 |
| 39  | $2.6316e - 002$ | $2.0576e - 003$     | 2.0059 | $8.5575e - 004$     | 1.9714 | $8.5575e - 004$     | 1.9714 |
| 40  | $2.5641e - 002$ | $1.9531e - 003$     | 2.0056 | $8.1300e - 004$     | 1.9729 | $8.1300e - 004$     | 1.9729 |
| 44  | $2.3256e - 002$ | $1.6059e - 003$     | 2.0050 | $6.7034e - 004$     | 1.9761 | $6.7034e - 004$     | 1.9761 |

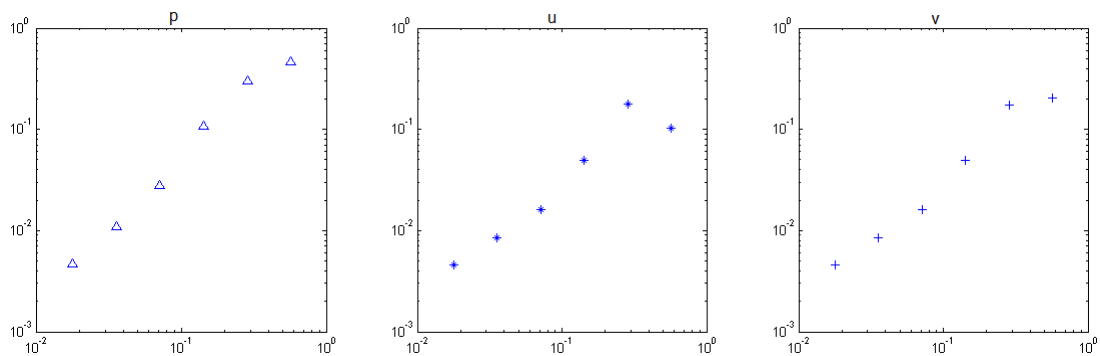
### 3.2 Μέθοδος Πεπερασμένων Στοιχείων και πειραματική τάξη σύγκλισης

#### (B) Μη-ομοιόμορφος διαμερισμός

Και στο πρόβλημα με συνοριακές τιμές τύπου (IV) παρατηρούμε το φαινόμενο της υπερσύγκλισης στο σύνολο  $N_2$ . Και πάλι η τάξη σύγκλισης για την συναρτήσεις  $p$ ,  $u$  και  $v$  θα προκύψει χρησιμοποιώντας μη-ομοιόμορφους διαμερισμούς.

Ακολουθεί ο πίνακας με τα σφάλματα και την τάξη σύγκλισης ως προς την  $L^2$  νόρμα την χρονική στιγμή  $T = 1$  του μη-ομοιόμορφου διαμερισμού για το πρόβλημα με συνοριακές συνθήκες τύπου (IV).

| $h$             | $\ p - p_h\ _{L^2}$ | $r(p)$ | $\ u - u_h\ _{L^2}$ | $r(u)$  | $\ v - v_h\ _{L^2}$ | $r(v)$ |
|-----------------|---------------------|--------|---------------------|---------|---------------------|--------|
| $5.7143e - 001$ | $4.6339e - 001$     | ---    | $1.0322e - 001$     | ---     | $2.0530e - 001$     | ---    |
| $2.8571e - 001$ | $3.0430e - 001$     | 0.6067 | $1.7772e - 001$     | -0.7838 | $1.7554e - 001$     | 0.2259 |
| $1.4286e - 001$ | $1.0688e - 001$     | 1.5095 | $4.9107e - 002$     | 1.8556  | $4.9107e - 002$     | 1.8378 |
| $7.1429e - 002$ | $2.7755e - 002$     | 1.9452 | $1.6268e - 002$     | 1.5939  | $1.6268e - 002$     | 1.5939 |
| $3.5714e - 002$ | $1.0893e - 002$     | 1.3493 | $8.5726e - 003$     | 0.9242  | $8.5726e - 003$     | 0.9242 |
| $1.7857e - 002$ | $4.7208e - 003$     | 1.2063 | $4.5414e - 003$     | 0.9166  | $4.5414e - 003$     | 0.9166 |



**Σχήμα 3.15:** Διάγραμμα τάξης σύγκλισης για διγραμμικά πεπερασμένα στοιχεία σε λογαριθμική κλίμακα για το πρόβλημα με συνοριακές συνθήκες τύπου (IV) με μη-ομοιόμορφο διαμερισμό.

#### (Γ) Συμπεράσματα ως προς τη τάξη σύγκλισης

Στο πρόβλημα με συνοριακές συνθήκες τύπου (IV), αν και παρατηρήσαμε διαφορά στην συμπεριφορά της τάξης σύγκλισης για τις συναρτήσεις  $p$ ,  $u$  και  $v$ , εμφανίζεται και πάλι το φαινόμενο της διαφορετικής τάξης σύγκλισης στα σύνολα  $N_1$  και  $N_2$ . Η τάξη σύγκλισης ως προς την  $L^2$  νόρμα την χρονική στιγμή  $T = 1$  με την χρήση μη-ομοιόμορφων διαμερισμών προκύπτει και σε αυτό το πρόβλημα φαίνεται να πλησιάζει το ένα και για τις τρεις συναρτήσεις που μελετήσαμε.

### 3. Η ΚΥΜΑΤΙΚΉ ΕΞΪΣΩΣΗ ΩΣ ΥΠΕΡΒΟΛΙΚΌ ΣΎΣΤΗΜΑ 1ΗΣ ΤΆΞΗΣ

---

# Βιβλιογραφία

- [Δ] Βασίλειος Α. Δουγαλής, *Σημειώσεις σεμιναρίου 'Αριθμητικές Μέθοδοι για Μερικές Διαφορικές Εξισώσεις'*, Αθήνα, Ακ. Έτος 2011-2012
- [B] H. Brezis, *Functional Analysis, Sobolev Spaces and Partial Differential Equations*, Springer 2010.
- [C] P.G. Ciarlet, *The Finite Element Method for Elliptic Problems*, North-Holland, Amsterdam, 1978.
- [D] T. Dupont, *SIAM Journal on Numerical Analysis*, Volume 10, Issue 5, pp. 890-899, 1973.
- [D1] V.A. Dougalis and S.M. Serbin, *Comp. and Maths. with Appls.*, Volume 7, pp. 261-279, 1981.
- [G] M.S. Gockenbach *Understanding and Implementing the Finite Element Method*, SIAM 2006.
- [SO] C.W. Shu and S.Osher, *Efficient implementation of essentially non-oscillatory shock-capturing schemes*, *J. Comp. Phys.*, 77(1988), pp. 4339-471.
- [Th] S. Larsson and V. Thomee, *Partial Differential Equations with Numerical Methods*, Göteborg, Springer 2009